# UNIVERSIDADE FEDERAL DE GOIÁS PROGRAMA DE PÓS-GRADUAÇÃO EM ENGENHARIA ELÉTRICA E DE COMPUTAÇÃO

#### DESENVOLVIMENTO DE TECNOLOGIA BASEADA EM REDES NEURAIS ARTIFICIAIS PARA RECONHECIMENTO DE GESTOS DA LÍNGUA DE SINAIS

Brunna Carolinne Rocha Silva

[UFG] & [EMC] [Goiânia - Goiás - Brasil] 12 de junho de 2018







## TERMO DE CIÊNCIA E DE AUTORIZAÇÃO PARA DISPONIBILIZAR VERSÕES ELETRÔNICAS DE TESES E DISSERTAÇÕES NA BIBLIOTECA DIGITAL DA UFG

Na qualidade de titular dos direitos de autor, autorizo a Universidade Federal de Goiás (UFG) a disponibilizar, gratuitamente, por meio da Biblioteca Digital de Teses e Dissertações (BDTD/UFG), regulamentada pela Resolução CEPEC nº 832/2007, sem ressarcimento dos direitos autorais, de acordo com a Lei nº 9610/98, o documento conforme permissões assinaladas abaixo, para fins de leitura, impressão e/ou download, a título de divulgação da produção científica brasileira, a partir desta data.

1. Identificação do material bibliográfico: [x] Dissertação [ ] Tese
2. Identificação da Tese ou Dissertação:
Nome completo do autor: Brunna Carolinne Rocha Silva
Título do trabalho: Desenvolvimento de Tecnologia Baseada em Redes Neurais Artificiais Para Reconhecimento de Gestos da Língua de Sinais
3. Informações de acesso ao documento:
Concorda com a liberação total do documento [x] SIM [ ] NÃO¹
Havendo concordância com a disponibilização eletrônica, torna-se imprescindível o envio do(s) arquivo(s) em formato digital PDF da tese ou dissertação.
Bodel:
Assinatura do(a) autor(a) <sup>2</sup>
Ciente e de acordo:
Assinatura do(a) orientador(a) <sup>2</sup> Data: 04 / 06 / 2018
1,, , , , , , , , , , , , , , , , , , ,

Casos de embargo:

<sup>&</sup>lt;sup>1</sup> Neste caso o documento será embargado por até um ano a partir da data de defesa. A extensão deste prazo suscita justificativa junto à coordenação do curso. Os dados do documento não serão disponibilizados durante o período de embargo.

<sup>-</sup> Solicitação de registro de patente;

<sup>-</sup> Submissão de artigo em revista científica;

<sup>-</sup> Publicação como capítulo de livro;

<sup>-</sup> Publicação da dissertação/tese em livro.

<sup>&</sup>lt;sup>2</sup> A assinatura deve ser escaneada.

## UNIVERSIDADE FEDERAL DE GOIÁS PROGRAMA DE PÓS-GRADUAÇÃO EM ENGENHARIA ELÉTRICA E DE COMPUTAÇÃO

#### DESENVOLVIMENTO DE TECNOLOGIA BASEADA EM REDES NEURAIS ARTIFICIAIS PARA RECONHECIMENTO DE GESTOS DA LÍNGUA DE SINAIS

Brunna Carolinne Rocha Silva

Dissertação apresentada à Banca Examinadora como exigência parcial para a obtenção do título de Mestre em Engenharia Elétrica e de Computação pela Universidade Federal de Goiás (UFG), Escola de Engenharia Elétrica, Mecânica e de Computação (EMC), sob a orientação do Prof. Dr. Wesley Pacheco Calixto

[UFG] & [EMC] [Goiânia - Goiás - Brasil] 12 de junho de 2018

Ficha de identificação da obra elaborada pelo autor, através do Programa de Geração Automática do Sistema de Bibliotecas da UFG.

Silva, Brunna Carolinne Rocha

Desenvolvimento de Tecnologia Baseada em Redes Neurais Artificiais Para Reconhecimento de Gestos da Língua de Sinais [manuscrito] / Brunna Carolinne Rocha Silva. - 2018. 103 f.

Orientador: Prof. Wesley Pacheco Calixto.

Dissertação (Mestrado) - Universidade Federal de Goiás, Escola de Engenharia Elétrica, Mecânica e de Computação (EMC), Programa de Pós-Graduação em Engenharia Elétrica e de Computação, Goiânia, 2018.

Inclui siglas, lista de figuras, lista de tabelas.

1. Língua de Sinais. 2. Tecnologia para reconhecimento. 3. Reconhecimento de padrões. 4. Redes neurais artificiais. I. Calixto, Wesley Pacheco, orient. II. Título.

CDU 621.3



### MINISTÉRIO DA EDUCAÇÃO UNIVERSIDADE FEDERAL DE GOIÁS ESCOLA DE ENGENHARIA ELÉTRICA, MECÂNICA E DE COMPUTAÇÃO COORDENAÇÃO DE PÓS-GRADUAÇÃO EM ENGENHARIA ELÉTRICA E DE COMPUTAÇÃO



#### Ata de Defesa de Dissertação de Mestrado

Ata da sessão de julgamento da Dissertação de Mestrado em Engenharia Elétrica e de Computação, área de concentração Engenharia de Computação, da candidata **Brunna Carolinne Rocha Silva** realizada em 06 de abril de 2018.

Aos seis dias do mês de abril de dois mil e dezoito, às 14:00 horas, na sala Caryocar Brasiliensis nas dependências da Escola de Engenharia Elétrica, Mecânica e de Computação (EMC), Universidade Federal de Goiás (UFG), reuniram-se os seguintes membros da Comissão Examinadora designada pela Coordenadoria do Programa de Pós-graduação em Engenharia Elétrica e de Computação: os Doutores Wesley Pacheco Calixto - (EMC/UFG), Marco Hiroshi Naka - (ENG/IFMS), Prof<sup>a</sup>. Juliana Guimarães Faria - (LIBRAS/UFG), Ruberley Rodrigues de Souza - (FIS-IFG), Carlos Fernando da Silva Ramos - (IPPorto/Portugal) e Gelson da Cruz Júnior - (EMC/UFG), para julgar a Dissertação de Mestrado de Brunna Carolinne Rocha Silva, intitulada "Desenvolvimento de tecnologia baseada em redes neurais artificiais para reconhecimento de gestos da língua de sinais", apresentada pela candidata como parte dos requisitos necessários à obtenção do grau de Mestre, em conformidade com a regulamentação em vigor. O Professor Doutor Wesley Pacheco Calixto, Presidente da Comissão, abriu a sessão e apresentou a candidata que discorreu sobre seu trabalho, após o que, foi arguida pelos membros da Comissão na seguinte ordem: Marco Hiroshi Naka, Carlos Fernando da Silva Ramos, Juliana Guimarães Faria, Ruberley Rodrigues de Souza e Gelson da Cruz Júnior. A parte pública da sessão foi então encerrada e a Comissão Examinadora reuniu-se em sessão reservada para deliberar. A Comissão julgou então que a candidata, tendo demonstrado conhecimento suficiente, capacidade de sistematização e argumentação sobre o tema de sua Dissertação, foi considerada aprovada e deve satisfazer as exigências listadas na Folha de Modificação, em anexo a esta Ata, no prazo máximo de 60 dias, ficando o professor orientador responsável por atestar o cumprimento destas exigências. Os membros da Comissão Examinadora descreveram as justificativas para tal avaliação em suas respectivas Folhas de Avaliação, anexas a esta Ata. Nada mais havendo a tratar, o presidente da Comissão declarou encerrada a sessão. Nos termos do Regulamento Geral dos Cursos de Pós-graduação desta Universidade, a presente Ata foi lavrada, lida e, julgada conforme, segue assinada pelos membros da Comissão supracitados e pela candidata. Goiânia, 06 de abril de 2018.

Comissão Examinadora designada:

Prof. Dr.	Wesley	Pacheco	Calixto -	Orientador	(EMC/UFG)
	-TAC				

Prof. Dr. Marce Hiroshi Naka - Membro Externo (ENG/IFMS)

Profa. Dra. Juliana Guimarães Faria - Membro Externo (LIBRAS/UFG)

Prof. Dr. Ruberley Rodrigues de Souza Membro Externo (FIS/IFG)

Prof. Dr. Carlos Fernando da Silva Ramos - Membro Externo (IPPorto/Portugal)

Prof. Dr. Prof. Gelson da Cruz Júnior - Membro Interno (EMC/UFG)

(Avaliação:

(Avaliação: Amso

(Avaliação: Amorada)

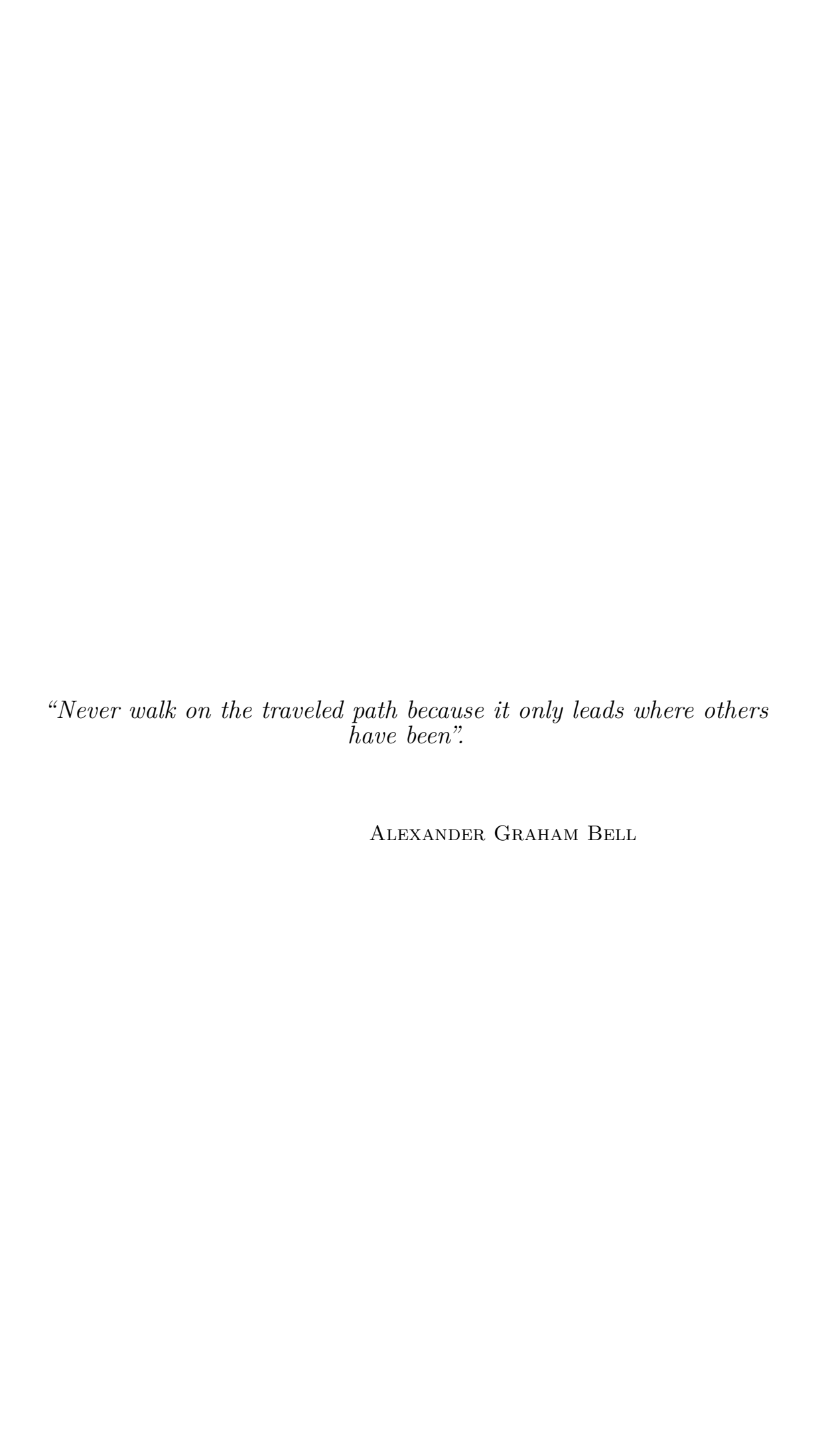
(Avaliação: NOW).

(Avaliação:

(Avaliação: PPWV)

Candidata:

Brunna Carolinne Rocha Silva



A todos aqueles que deixam suas marcas no mundo. A eles dedico este trabalho.

#### AGRADECIMENTOS

Agradeço primeiramente a Deus, por me dar paz e serenidade quando mais precisei.

Agradeço ao Prof. Wesley Pacheco Calixto que, com o seu grande apoio, dedicação, orientação e confiança, me ajudou a construir o caminho que percorri desde a idealização deste trabalho.

Agradeço, em especial, a minha querida mãe Roseli Gonçalves da Rocha e a minha querida avó Maria Gonçalves Rosa (in memoriam), que me apoiam desde os pequenos passos até aqueles que nem eu mesma acreditei. Também agradeço ao meu amigo e namorado Geovanne Pereira Furriel por todo o incentivo, carinho e por todas as noites de discussão e partilha de saberes e experiências.

Agradeço a empresa NC Neoprene por confiar no trabalho e confeccionar luva utilizada para construção do Protótipo  $P_4$ .

Agradeço a todos os familiares, amigos e colegas que contribuíram para o término desta jornada.

#### **RESUMO**

O intuito deste trabalho é projetar, desenvolver e avaliar quatro dispositivos capazes de identificar configuração, orientação e movimento das mãos, verificando qual possui melhor desempenho para reconhecimento de gestos da língua de sinais. A metodologia parte da definição do leiaute e dos componentes de aquisição e processamento de dados, da construção da base de dados tratados para cada gesto a ser reconhecido e da validação dos dispositivos propostos. São coletados sinais de sensores de flexão, acelerômetros e giroscópios, posicionados diferentemente em cada dispositivo. O reconhecimento dos padrões de cada gesto é realizado utilizando redes neurais artificiais. Após treinada, validada e testada, a rede neural interligada aos dispositivos obtêm média de acerto de até 96,8%. O dispositivo validado oferece eficácia e eficiência para identificar gestos da língua de sinais e demonstra que o uso da abordagem sensorial é promissora.

### DEVELOPMENT OF TECNOLOGY BASED ON ARTIFICIAL NEURAL NETWORK FOR SIGN LANGUAGE GESTURE RECOGNITION

#### ABSTRACT

The purpose of this paper is to design, develop and evaluate four devices capable of identifying configuration, orientation and movement of the hands, verifying which one has better performance recognition of sign language gestures. The methodology starts from the definition of the layout and the components of data acquisition and processing, the construction of the database treated for each gesture to be recognized and validation of the proposed devices. Signs of flex sensors, accelerometers and gyroscopes are collected, positioned differently on each device. The recognition of the patterns of each gesture is performed using artificial neural networks. After being trained, validated and tested, the neural network interconnected to the devices obtain a hit rate of up to 96.8%. The validated device offers efficacy and efficiency to identify sign language gestures and demonstrates that the use of the sensory approach is promising.

#### SUMÁRIO

	Pág.
LISTA DE FIGURAS	
LISTA DE TABELAS	
LISTA DE SÍMBOLOS	
CAPÍTULO 1 INTRODUÇÃO	21
CAPÍTULO 2 LÍNGUA DE SINAIS	25
2.1 Comunicação dos surdos	25
2.1.1 Conceituação e legislação sobre a Língua Brasileira de Sinais	25
2.1.2 Comunicação na comunidade surda	26
2.2 Mitos da língua de sinais	27
2.2.1 Primeiro mito	28
2.2.2 Segundo mito	28
2.2.3 Terceiro mito	28
2.2.4 Quarto mito	28
2.2.5 Quinto mito	29
2.2.6 Sexto mito	29
2.3 Construção linguística da língua de sinais	
2.4 Datilologia	31
2.5 A língua de sinais e datilologia pelo mundo	32
2.6 Considerações	33
CAPÍTULO 3 SISTEMA DE MANIPULAÇÃO DE DADOS E R	
CONHECIMENTO DE PADRÃO	
3.1 Processamento de dados	
3.2 Aquisição de dados, instrumentação e medidas	
3.2.1 Sensores de flexão	
3.2.2 Acelerômetro e giroscópio	
3.2.3 Comunicação entre os dispositivos	
3.3 Perceptron Múltiplas Camadas	
3.3.1 Neurônio Artificial	
3.3.2 Função de ativação	45

3.3.3	Modelo do Perceptron múltiplas camadas	47
3.3.4	Termo Momentum	51
3.4	Codificação de classes	53
3.5	Considerações	56
CAF	PÍTULO 4 METODOLOGIA	57
4.1	Leiaute do dispositivo	57
4.2	Construção dos dispositivos	58
4.3	Aquisição dos dados	62
4.4	Processamento dos dados	67
4.5	Validação	68
4.6	Considerações	69
CAF	PÍTULO 5 RESULTADOS	71
5.1	Leiaute, construção dos dispositivos e componentes	71
5.2	Construção da base de dados	74
5.3	Tratamento dos dados para a rede Perceptron múltiplas camadas	77
5.3.1	Parâmetros iniciais da rede Perceptron múltiplas camadas	80
5.3.2	Taxas de aprendizagem	80
5.3.3	Topologia da rede Perceptron múltiplas camadas	81
5.4	Validação dos resultados	83
5.5	Gestos dinâmico com mais de uma coleta no tempo $\ \ldots \ \ldots \ \ldots \ \ldots$	85
5.6	Comentários	87
CAF	PÍTULO 6 CONCLUSÃO	91
6.1	Contribuições do Trabalho	92
6.2	Sugestões para Trabalhos Futuros	93
REF	FERÊNCIAS BIBLIOGRÁFICAS	95

#### LISTA DE FIGURAS

	<u>På</u>	$\mathbf{g}$ .
2.1	Alfabeto manual	31
3.1	Diagrama simplificado do processo de reconhecimento de padrão	35
3.2	Sensor de flexão	38
3.3	Estrutura interna do acelerômetro.	39
3.4	Estrutura interna do giroscópio	40
3.5	Unidades inerciais	40
3.6	Ilustração do microcontrolador	41
3.7	Esquema elétrico para conexão e utilização do protocolo I2C	43
3.8	Sistema demultiplexador	43
3.9	Neurônio artificial	44
3.10	Funções de ativação: (a) degrau (3.1), (b) degrau bipolar (3.2), (c) linear	
	(3.3), $(d)$ logística $(3.4)$ e $(e)$ tangente hiperbólica $(3.5)$	45
3.11	Perceptron múltiplas camadas	47
3.12	Algoritmo $backpropagation$ : (a) etapa $forward$ e (b) etapa $backward$	49
3.13	Topologia do Perceptron múltiplas camadas	49
3.14	Fluxograma de funcionamento da rede Perceptron múltiplas camadas	54
4.1	Fluxograma para desenvolvimento de tecnologia para reconhecimento de	
	gestos das língua de sinais	58
4.2	Parâmetro fonológico da língua de sinais: ponto de articulação	59
4.3	Parâmetros fonológicos da língua de sinais: (a) configuração de mão, (b)	
	orientação e (c) movimento	59
4.4	Protótipo $P_1$ : (a) leiaute e (b) diagrama de conexão	60
4.5	Protótipo $P_2$ : (a) leiaute e (b) diagrama de conexão	61
4.6	Protótipo $P_3$ : (a) leiaute e (b) diagrama de conexão	61
4.7	Protótipo $P_4$ : (a) leiaute e (b) diagrama de conexão	62
4.8	Esquema elétrico para coleta de dados nos sensores de flexão	63
4.9	Esquema elétrico para coleta de dados dos MEMS	
4.10	Matriz tridimensional para coleta da dinâmica dos gestos	67
5.1	Dispositivos construídos: (a) Protótipo $P_1$ e (b) Protótipo $P_2$	72
5.2	Dispositivos construídos: (a) Protótipo $P_3$ e (b) Protótipo $P_4$	72
5.3	Bolsos de alocação dos MEMS e fios	73
5.4	Diagrama esquemático das conexões dos componentes na construção do	
	Protótipo $P_3$	74

5.5	Protótipo $P_4$ conectado ao computador	75
5.6	Gestos: (a) número <b>zero</b> , (b) número <b>1</b> , (c) número <b>2</b> , (d) número <b>3</b> e	
	(e) número 4	75
5.7	Gestos: (a) letra $\mathbf{i}$ e (b) letra $\mathbf{j}$	77
5.8	Gestos: (a) letra $\mathbf{a}$ , (b) letra $\mathbf{e}$ , (c) letra $\mathbf{i}$ , (d) letra $\mathbf{j}$ , (e) letra $\mathbf{x}$ e (f)	
	número 5	83
5.9	Relação dos valores obtidos nos sensores para gestos semelhantes: (a)	
	gestos $\mathbf{a}$ e $\mathbf{e}$ , (b) gestos $\mathbf{i}$ e $\mathbf{j}$ e (c) gestos $5$ e $\mathbf{x}$	85
5.10	Sinais obtidos pela repetição do gesto ${\bf a}$ por 30 vezes	86
5.11	Gestos: (a) ${\bf telefone}$ , (b) ${\bf gato}$ , (c) ${\bf le\tilde{ao}}$ , (d) ${\bf pipa}$ e (e) ${\bf amarelo}$	86
5.12	Fluxograma para coleta de gestos dinâmicos	89

#### LISTA DE TABELAS

	$\underline{\underline{Pa}}$	$\mathbf{g}.$
3.1	Codificação sequencial	55
3.2	Codificação $c$ -classes	55
5.1	Sinais de saída do Protótipo $P_1$ para os gestos estáticos <b>zero</b> , 1, 2, 3 e 4.	75
5.2	Sinais de saída do Protótipo $P_3$ para os gestos <b>zero</b> , <b>1</b> , <b>2</b> , <b>3</b> e <b>4</b>	76
5.3	Média e desvio padrão dos sinais de saída do Protótipo $P_3$ para os gestos	
	zero, 3 e 4	78
5.4	Sinais de saída do Protótipo $P_3$ para os gestos $\mathbf{i}$ e $\mathbf{j}$	79
5.5	Matriz de configuração $Q(\mathbf{zero})$ adquirida pelo Protótipo $P_1$	80
5.6	Média de acertos da taxa de aprendizagem para 100 ensaios	81
5.7	Média de acertos para variações do número de neurônios nas camadas	
	intermediárias com 100 repetições	82
5.8	Média de acertos para variações do número de neurônios nas camadas	
	intermediárias com 500 repetições	82
5.9	Média de acertos do Protótipo $P_4$ para os gestos $\mathbf{a}, \mathbf{e}, \mathbf{i}, \mathbf{j}, \mathbf{x} \in 5. \ldots$	83
5.10	Média de acertos do Protótipo $P_4$ para as palavras	84
5.11	Sinais coletados no tempo com o Protótipo $P_4$	87
5.12	Média e desvio padrão dos sinais obtidos no Protótipo $P_4$ para o gesto	
	leão	88

#### LISTA DE SÍMBOLOS

 $\alpha_m$  – Termo de momentum

 $\beta$  — Constante real relacionada a inclinação da função logística

ou da função tangente hiberbólica

 $\eta$  — Taxa de aprendizagem entre as camadas da MLP  $\tau$  — Quantidade de amostras na camada de entrada  $AD_0$  — Porta que define o endereçamento I2C dos MEMS

 $A_s$  — Vetor com os valores obtidos dos MEMS  $A_q$ 

b – Limiar de ativação do neurônio

 $C_1, C_2$  – Capacitâncias entre a massa e os eletrodos fixos.

 $C_I$  — Camadas intermediárias da MLP e nas camadas de saída

 $C_S$  – Camadas de saída da MLP

 $D_{E_d}$  — Entrada de dados do demultiplexador  $D_{S_1}$  a  $D_{S_4}$  — Sinais de saída do demultiplexador  $E_1$  a  $E_m$  — Entradas de sinais no neurônio

 $E_c$  — Entrada do clock para protocolo I2C — Entrada de dados para protocolo I2C

 $E_{da_1}$  a  $E_{da_K}$  — Entradas de dados analógicos do microcontrolador  $E_{dd_1}$  a  $E_{dd_K}$  — Entradas de dados digitais do microcontrolador

 $e_{i,n}^{(p)}$  — Erro obtido entre as iterações da MLP

 $E_{i,j}$  — Matriz de valores de entrada das camadas referente as conexões do

i-ésimo neurônio da j-ésima camada

 $g(\cdot)$  — Função de ativação do neurônio

I – Sinal a ser normalizado

 $I_{max}$  — Valor máximo de entrada para normalização de dados  $I_{min}$  — Valor mínimo de entrada para normalização de dados

k – Número total de padrões a serem reconhecidos no conjunto de treinamento

da MLP

K – Número de sensores

 $K_x, K_y$  – Molas de silício do giroscópio

lim<sup>sup</sup> – Limite superior que a função de ativação pode assumir

m<sub>i</sub> – Número de neurônios na camada intermediária

 $M_c$  — Microcontrolador  $M_e$  — Matriz de entrada

 $M_{S_{i,j}}$  — Matriz de valor desejado para saída

n – Número de camadas

 $n_b$  — Quantidade de bits do conversor analógico-digital  $N_1$  a  $N_4$  — Neurônios da camada de saída da codificação de classes  $O_{min},\,O_{max}$  — Limites mínimo e máximo para normalização de dados

 $O_n$  – Sinal normalizado

p – Contador de iterações da MLP

 $P_1$  a  $P_4$  — Protótipos desenvolvidos

 $Q_{c_s}$  — Quantidade de classes proveniente método codificação sequencial

 $Q_{i,j}$  — Matriz de configurações

 $Q_{n_s}$  — Quantidade de neurônios da camada de saída

R — Resistor responsável por gerar a tensão de saída  $V_{out}$  proporcional a tensão

 $V_{in}$ .

 $R_c$  — Resistência de *pull up* para protocolo I2C  $R_p$  — Resolução do conversor analógico-digital

 $R_{S_f}$  – Resistência do sensor de flexão

S – Saída do neurônio

SDA – Porta de transmissão de dados da comunicação I2C

SCL — Porta de clock da comunicação I2C  $S_c$  — Saída do clock para protocolo I2C  $S_{C_1}, S_{C_2}$  — Sinais de controle do demultiplexador  $S_d$  — Saída de dados para protocolo I2C

 $S_{d_{i,n}}$  — Vetor de valor desejado para saída referente ao *i*-ésimo neurônio da

camada de saída  $C_S$ , com j=n na rede MLP

 $S_{f_1}$  a  $S_{f_5}$  – Sensores de flexão

 $S_{i,n}$  — Vetor de valor obtido pela saída atual referente ao  $i\text{-}\acute{\text{e}}\text{simo}$  neurônio da

camada de saída  $C_S$ , com j = n na rede MLP

 $S_{i,j}$  — Matriz de valores de saídas das camadas referente as conexões do

i-ésimo neurônio da j-ésima camada

 $S_{pp}$  – Saída pós-processada pela MLP

 $S_s$  — Vetor com os valores obtidos dos sensores de flexão  $S_f$ 

 $egin{array}{lll} t & & - & ext{Intervalo de tempo} \\ T & & - & ext{Posição/número do gesto} \end{array}$ 

u – Potencial de ativação do neurônio

 $V_{CC}$  – Tensão de alimentação do microcontrolador

 $V_a$  – Vetor de cada gesto

 $V_{in}$  — Tensão de alimentação da coleta do sinal de saída dos sensores de flexão

 $V_{out}$  — Tensão de saída da coleta do sinal de saída dos sensores de flexão

 $V_{ref}$  — Tensão de referência do microcontrolador  $V_{S_1}$  a  $V_{S_4}$  — Valores de saídas da codificação de classes

w — Matriz de pesos da rede neural  $w_1$  a  $w_m$  — Pesos sinápticos do neurônio

 $w_{i,j}$  — Matriz de pesos referente as conexões do

i-ésimo neurônio da j-ésima camada

#### CAPÍTULO 1

#### INTRODUÇÃO

As línguas de sinais são sistemas linguísticos específicos da comunicação utilizada pela comunidade surda. São constituídas por expressões visuo-espaciais com a finalidade de transmitir mensagens. A detecção automática e interpretação destes gestos é cada vez mais estudada e aplicada, cujo fato é justificado em função da inclusão social e comunicação assertiva entre surdos e ouvintes. O resultado da detecção depende das tecnologias utilizadas e o valor financeiro agregado a elas.

Pensava-se que a comunidade surda não poderia ser educada, devido a população acreditar que os surdos fossem incapazes (STOKOE, 1980; LACERDA, 1998; QUADROS; CRUZ, 2009). A partir do século XVI, consideravam o aprendizado através de procedimentos pedagógicos específicos, porém os trabalhos realizados pelos pedagogos eram tidos como secretos. No século XVIII, a proposta de educação defendia que os educadores deveriam aprender tais gestos para se comunicar com os surdos. Desta forma, eles aprendiam com os surdos e, através desta comunicação, ensinavam a língua falada e escrita (LACERDA, 1998).

Quadros e Cruz (2009) expõem que as consolidadas pesquisas linguísticas se iniciam em 1960, com Willian Stokoe, revelando que as línguas de sinais são línguas naturais que permitem exprimir qualquer ideia e se organizam como as línguas orais. Stokoe (1980) argumenta que o gesto pode ser composto por três elementros básicos: i) lugar no espaço; ii) configuração da mão e iii) movimento das mãos.

Após as afirmações de Stokoe, várias práticas de ensino para surdos foram criados. No Brasil, a técnica começou a ser investigada nas décadas de 1980 e foram realizadas traduções para o português de várias outras línguas de sinais (QUADROS; CRUZ, 2009; LACERDA, 1998). Semelhante as línguas orais, pode acontecer de cada país utilizar a mesma ou criar sua própria língua de sinais.

No século XXI, como continuação do trabalho de Stokoe, inicia-se o estudo linguístico considerando e identificando cinco parâmetros: i) localização, ii) formato da mão, iii) orientação, iv) movimentos e v) expressão facial (QUADROS; CRUZ, 2009; TAVARES et al., 2009). Apesar da divisão em cinco parâmetros ser amplamente adotada pelos estudiosos da área, não existe consenso sobre a quantidade de parâmetros utilizados (FERREIRA et al., 2011).

Para reconhecimento automático da língua de sinais existem duas abordagens clás-

sicas: a) abordagem visual e b) abordagem sensorial. Segundo Kuroda et al. (2004) e Yang (2010), as abordagens possuem vantagens e desvantagens quando comparadas entre si. Na abordagem sensorial, tem-se a necessidade do usuário acoplar dispositivos ao corpo para interagir com o sistema tradutor, promovendo elevada precisão na captação de movimentos. Em sua maioria, sistemas com abordagem sensorial utilizam luvas para acoplamento. Já na abordagem visual, a interação com a máquina é intuitiva, sem necessidade de vestir o equipamento, trazendo comodidade ao usuário.

Focados na abordagem sensorial, Fang et al. (2003) e Zhang et al. (2005) utilizam cybergloves e rastreadores de movimento como dispositivos para coleta de dados. Cybergloves são dispositivos sensoriais acoplados a mão, em formato de luva, com rastreadores acoplados ao pulso, em formato de pulseira. Zhang et al. (2005) apresentam algoritmo capaz de reconhecer situações nas quais a fonte geradora dos gestos está oculta ao observador. Os autores utilizam modelos Markovianos e adicionalmente trabalham com o algoritmo Boosting Hidden Markov Mode (HMM), que é capaz de aumentar a precisão do processo a partir de regra de decisão. Neste trabalho, Zhang et al. (2005) obtêm melhorias de até 3% no reconhecimento da língua chinesa de sinais, quando comparados com trabalhos que utilizam o HMM tradicional.

Outra proposta para a língua chinesa de sinais foi abordada por Fang et al. (2003), que demostra a combinação de Mapas Auto-Organizáveis (Self-Organizing Feature Maps - SOFM) com HMM e apresenta aumento de precisão em 5%. Mapas Auto-Organizáveis são redes neurais capazes de mapear os dados de tal forma que mantenha relações de vizinhança, ou seja, dados com características parecidas ficam próximos no mapeamento.

Bui e Nguyen (2007) e Li et al. (2010) utilizam sensores de eletromiografia e acelerômetros para reconhecer gestos manuais, apresentando acertos acima de 93%. Os gestos segmentados podem ser detectados automaticamente de acordo com a amplitude de 4 canais. Com abordagem diferente, Praveen et al. (2014) utilizam pares de diodo emissor de luz com resistor dependente de luz (LED-LDR) para aquisição de dados do posicionamento dos dedos e reconhecimento de letras da língua de sinais, porém não apresenta resultados conclusivos. Tubaiz et al. (2015) utilizam sensores de flexão e acelerômetro para reconhecimento da língua de sinais vietnamita. O trabalho é dividido em três categorias, dependendo da posição e orientação das mãos. Apresenta resultados precisos para gestos que não rotacionam em relação ao eixo z.

Nos trabalhos de Borghetti et al. (2013), Lei e Dashun (2015), Pathak et al. (2015), Das et al. (2015) e Tori et al. (2006) destacam os sensores de flexão e fibra ótica acoplados em luvas para aquisição de dados referentes a flexão dos dedos. Tais luvas são desenvolvidas com rastreamento preciso e funcionam reduzindo a passagem de luz ou aumentando a resistência à passagem de corrente no circuito. Entretanto, desgastes na fiação e utilização contínua podem apresentar rupturas nos sensores, produzindo respostas indesejáveis.

Em geral, os dispositivos de reconhecimento da língua de sinais utilizam sensores de flexão, acelerômetros e sensores de eletromiografia (EMG). Dada as configurações dos dispositivos projetados e comerciais, as limitações em suas medições estão nos sensores e nas técnicas utilizadas para reconhecimento dos gestos. Outra limitação é a necessidade da substituição destes sensores, caso algum sensor se desgaste ou tenha quebras. Desta forma, o custo geral de produção é alto e tem-se a necessidade do desenvolvimento de dispositivo com menores restrições e custos. A literatura indica que diversos aspectos estão sendo tratados, tanto com a integração da abordagem sensorial e/ou baseada na visão, como com disponibilização de novos recursos tecnológicos (KURODA et al., 2004; YANG, 2010).

Com o avanço da tecnologia, reduz-se os custos e as respostas de operação dos sensores são aperfeiçoados, em certos casos, acoplando-os no mesmo dispositivo. Vários trabalhos são desenvolvidos com o intuito de tratar os dados coletados de dispositivos comerciais para tradução da língua de sinais, através de tradução de padrões utilizando diversas técnicas. No entanto, a proposta deste estudo tem como foco a construção do dispositivo de tradução da língua de sinais, cujo um dos pares linguísticos é a Língua Brasileira de Sinais, português, justificando este trabalho. Logo, pode-se a partir do exposto, formular a hipótese básica: se os acelerômetros e giroscópios podem verificar localização, parte do formato da mão, orientação e movimento, e se esta combinação é capaz de capturar o padrão de cada movimento, pode-se então utilizá-los para tradução para a língua de sinais em substituição e/ou integração aos sensores comumente utilizados.

O objetivo principal deste trabalho é projetar, desenvolver e avaliar dispositivos para identificar configuração, orientação e movimento das mãos, traduzindo gestos da língua de sinais para a linguagem escrita. Ainda como objetivos têm-se: i) definir leiaute e componentes de aquisição, processamento e controle, ii) realizar a coleta e armazenamento das amostras de configuração, orientação e movimento das mãos, iii) definir parâmetros da rede neural, iv) treinar a rede neural artificial e v) reconhecer

gestos estáticos e dinâmicos da língua de sinais e converter em forma de texto.

A motivação para o trabalho surge da problemática encontrada pelo grupo de pesquisa do Instituto Politécnico do Porto (IPPorto/Portugal). O grupo ao desenvolver sistema Bidirecional de reconhecimento da língua de sinais, utiliza luvas comerciais de elevado custo, aproximadamente US\$5.000,00. A luva utilizada somente reconhece gestos estáticos e os sensores sofrem rupturas com a utilização contínua. Com esta problemática, o grupo do IPPorto realiza encontro com gestores e pesquisadores do Instituto Federal de Goiás, propondo-lhes o desafio de construção do hardware.

Por consequência, este trabalho é parte do Projeto Tradutor Bidirecional do MEC-SETEC que tem o objetivo de traduzir e interpretar a língua de sinais através de aparato que identifique os movimentos gestuais e comunique estes movimentos na forma da língua escrita para o computador. Os objetivos específicos do projeto destinam-se à: i) inclusão social, ii) integração da comunidade surda na Educação Profissional e Tecnológica, iii) aprimoramento do ensino da língua de sinais, iv) formação e capacitação de profissionais para a Educação Inclusiva da comunidade surda no Brasil e v) formação de turma do programa Professores para o Futuro, parceria entre Brasil e Portugal com certificação em Tecnologia Assistiva.

O trabalho foi dividido da seguinte forma: o Capítulo 2 descreve sobre a língua de sinais, o Capítulo 3 apresenta dispositivos de aquisição, processamento e comunicação, além de descrever sobre a rede neural artificial. O Capítulo 4 especifica a metodologia desenvolvida para a realização do trabalho, o Capítulo 5 detalha os resultados e discussões referentes ao desenvolvimento dos dispositivos e, por fim, o Capítulo 6 apresenta a a conclusão. Neste trabalho entende-se como **gestos** os sinais realizados na construção da língua de sinais, como **sinais** os valores coletados/obtidos dos sensores e como **dados**, os valores dos sinais tratados e armazenados.

#### CAPÍTULO 2

#### LÍNGUA DE SINAIS

Este capítulo apresenta breve histórico da língua de sinais e a forma de comunicação dos surdos. Descreve sobre a datilologia e a construção linguística da língua de sinais, pontuando os aspectos fundamentais para seu entendimento, bem como suas contribuições para sociedade.

#### 2.1 Comunicação dos surdos

A comunicação é fundamental para a sociedade, seja para interpessoalidade, troca de produtos, transmissão de valores e herança cultural (JAKOBSON, 2008). Na comunicação é utilizado mecanismos específicos de linguagem oral-auditiva e visuo-espaciais, para ouvintes e para surdos, respectivamente. Na comunicação, existem a necessidade de regras para que haja entendimento da mensagem a ser transmitida (SILVA, 2010). Estas regras podem ser expressas por acordos, normas, leis e outros.

#### 2.1.1 Conceituação e legislação sobre a Língua Brasileira de Sinais

Comunicação é o campo do conhecimento que estuda os processos de troca de mensagens. É o intercâmbio da informação entre sujeitos ou objetos, podendo inclui temas técnicos, biológicos e sociais (MORAES; ARAUJO, 2010). Para que exista comunicação entre os indivíduos é necessária a transmissão da mensagem, que pode ser codificada em sons, indícios, gestos ou língua natural (MATTELART; MATTELART, 2011).

Os surdos são utilizadores da comunicação visuo-espacial como principal meio de conhecer o mundo em substituição à audição e à fala. A comunidade surda é constituída por indivíduos que utilizam da língua de sinais para se comunicarem. Pode ser ouvintes ou surdos, como especifica o Decreto nº 5.626 de 2005, que regulamenta a Lei nº 10.436 de 2002 e o art. 18 da Lei nº 10.098 de 2000. Este decreto dispõe sobre a Língua Brasileira de Sinais (Libras), que tem em seu teor (BRASIL, 2005):

(...) Art. 2º Para os fins deste Decreto, considera-se pessoa surda aquela que, por ter perda auditiva, compreende e interage com o mundo por meio de experiências visuais, manifestando sua cultura principalmente pelo uso da Língua Brasileira de Sinais - Libras.

Parágrafo único. Considera-se deficiência auditiva a perda bilateral, parcial ou total, de quarenta e um decibéis (dB) ou mais, aferida por audiograma nas frequências de 500Hz, 1kHz, 2kHz e 3kHz. (...)

O reconhecimento da Libras como língua oficial do Brasil ocorre no ano de 2002, por meio da Lei nº 10.436, que reconhece que a Libras é meio de comunicação e expressão e é constituída por natureza visual-motora e estrutura gramatical. A Lei nº 10.436 esclarece que devem ser instituídas formas para apoiar e propagar a Libras como meio de comunicação das comunidades surdas brasileiras e que as instituições de ensino devem garantir inclusão nos cursos de formação de educação especial (LODI, 2013).

#### 2.1.2 Comunicação na comunidade surda

Segundo Costa (2014), Quadros (2009), Coelho et al. (2004), o deficiente auditivo era considerado nível sub-humano, incapazes de se comunicarem. No século XVI, com o trabalho realizado pelas famílias dos deficientes auditivos para que eles tivessem vida normal, provaram que estavam errados. A partir daí, a concepção sobre surdez tem sofrido transformações na medicina e na educação, influenciada pelos debates sobre inclusão social.

Anteriormente, o movimento de educação e inserção dos indivíduos surdos os denominavam de surdo-mudo. No século XVIII, com o avanço dos estudos, percebeu-se que os surdos eram capazes de falar, porém como não tinham referência de expressão da fala, não conseguiam emitir ruídos sonoros compatíveis aos ouvintes (NOVAES, 2010). Anterior a estes estudos, tem-se como mito que todos os surdos são capazes de realizar leitura labial e compreender o que está sendo dito. No entanto, para se fazer tal leitura, o indivíduo necessariamente deve ter domínio da língua oral, o que não é realidade para a maioria dos surdos (QUADROS; PERLIN, 2007; LACERDA, 1998). Tais fatos descrevem possíveis responsáveis por fazer a população acreditar que os surdos estão inseridos no mundo dos ouvintes, o que não é verdade para a maioria.

Durante o decorrer dos séculos, propôs-se abordagens de ensino distintas para educação das pessoa com surdez. Dentre elas, tem-se: i) oralismo, ii) comunicação total e iii) bilinguismo (LACERDA, 1998). Segundo Poker (2011), o oralismo visa a integração do surdo na comunidade dos ouvintes, para que desenvolva e aprenda a língua oral. Acredita-se que a surdez pode ser minimizada por meio da estimulação auditiva e, desta forma, integrar o surdo na comunidade dos ouvintes. Para Lacerda (1998), o oralismo determina que o indivíduo receba a linguagem oral através da leitura orofacial e amplificação sonora, enquanto se expressa através da fala. Nesta

concepção de aprendizagem, gestos, língua de sinais e alfabeto são expressamente proibidos.

A comunicação total é definida por integrar a aprendizagem da língua oral com recursos visuo-espaciais. Desta forma, utiliza aspectos cognitivos, emocionais e sociais para facilitar a comunicação. Nesta abordagem, os educadores começam a se preocupar com nova forma de linguagem (POKER, 2011). Por fim, o bilinguismo admite que o surdo possua língua própria, agregando no desenvolvimento e relação entre o surdo e o mundo. Para Ferreira-Brito (2010), o aprendizado da língua de sinais deve ser oferecido o mais precocemente possível a criança, para que o mesmo possa fortalecer o pensamento e estimular o desenvolvimento cognitivo e social.

Para Quadros e Karnopp (2009), a língua de sinais é dada pela percepção dos indivíduos, de se comunicarem de forma natural, construindo formas comunicativas e estruturadas não apenas no uso de gesticulação através das mãos, mas também utilizando as expressões faciais. Os autores especificam que tais línguas naturais refletem na capacidade psicobiológica humana e que passam de geração em geração. Segala et al. (2010) descrevem que mesmo sabendo que a comunicação dos surdos surge de forma natural, deve-se respeitar a construção linguística da língua de sinais para criação de novos gestos e novas alterações. Formalizando a construção e a sistematização da língua de sinais, toda a comunidade pode se comunicar de maneira assertiva (MASUTTI; SANTOS, 2008).

No século XVI, o monge espanhol Pedro Ponce de Léon registra o primeiro alfabeto manual, mas somente a partir de 1880 começam a aparecer pequenos folhetos com ilustrações de gestos (RAMOS, 2005). No Brasil, a Língua Brasileira de Sinais, conhecida por Libras, sofreu influência da França, por iniciativa do fundador do Instituto Nacional de Educação de Surdos (INES), Ernest Huet, que além de fundador e professor, foi diretor do Instituto de Surdos francês (SOUSA, 2012).

#### 2.2 Mitos da língua de sinais

A língua de sinais é normalmente descrita e analisada de forma equivocada, necessitando desmistificar certas ideias ou mitos. Quadros e Cruz (2009) e Forster (2013) descrevem seis mitos referentes a língua de sinais e demonstram a necessidade do entendimento desta cultura.

#### 2.2.1 Primeiro mito

A língua de sinais seria a mistura de pantomima e gesticulação concreta, incapaz de expressar conceitos abstratos. Ao contrário do que vários julgam, a língua de sinais não pode ser considerada como mímica. Mesmo que vários gestos possam ser realizados de forma a imitar o objeto a ser representado, isto não é regra. Os sinais são constituídos de propriedades específicas e podem expressar pensamentos abstratos e é possível discutir economia, política, matemática ou mesmo desempenho.

#### 2.2.2 Segundo mito

Há única e universal língua de sinais usada por todas as pessoas surdas no mundo. E isto é comum de imaginar, porém, na verdade, existem variações para cada país e inclusive, dentro da mesma língua de sinais. Da mesma forma que na língua oral, existem sotaques e variações linguísticas.

#### 2.2.3 Terceiro mito

Há falha na organização gramatical da língua de sinais, sendo pidginização (língua resultante do contato entre outras línguas) sem estrutura própria, subordinado e inferior às línguas orais. Outro aspecto que causa equívoco é admitir que as línguas de sinais são subordinadas as línguas orais. Da mesma forma em que a língua portuguesa oral de Portugal e do Brasil são diferentes, as línguas de sinais também podem diferir. Outro ponto relevante é que as línguas de sinais não são línguas orais soletradas com as mãos, o alfabeto manual serve para auxiliar ouvintes e surdos quando não se sabe determinado gesto. Seria desgastante escrever sentenças com a soletração.

#### 2.2.4 Quarto mito

A língua de sinais seria sistema de comunicação superficial, com conteúdo restrito, sendo estética, expressiva e linguisticamente inferior ao sistema de comunicação oral. A língua de sinais é autônoma e reconhecida por sua construção linguística, que é completa e possui gramática, semântica, pragmática dentre outros aspectos relevantes para comunicação. Erroneamente, julgam que a língua de sinais não tem elementos de ligação, porém, é modalidade visuo-espacial e agrega todos os gestos por meio de expressões faciais e corporais.

#### 2.2.5 Quinto mito

As línguas de sinais derivam da comunicação gestual espontânea dos ouvintes. A língua de sinais possui todos os elementos que a tornam língua. Da mesma forma em que é necessário dedicar tempo para aprender outra língua oral, deve-se empenhar no aprendizado da língua de sinais. É discutido se o aprendizado da língua de sinais poderia afetar os estudos referentes ao desenvolvimento linguístico da língua oral. Porém, deve-se questionar o puro aprendizado do surdo da oralização, pois o surdo pode ter maior dificuldade para conseguir falar e compreender línguas orais. Além disto, nem sempre o surdo poderá aprender e entender a leitura labial. Ele até pode ler nos lábios as palavras, porém o significado destas palavras nunca foi lhe explicado, então ele não entenderá a mensagem.

#### 2.2.6 Sexto mito

As línguas de sinais, por serem organizadas espacialmente, estariam representadas no hemisfério direito do cérebro, uma vez que este hemisfério é responsável pelo processamento de informação espacial, enquanto que o esquerdo, pela linguagem. MENEZES et al. (2009) explica que independente da modalidade das línguas, a língua de sinais é processada no hemisfério esquerdo, assim como qualquer outra língua. Como exemplificado por HICKOK et al. (2004), se por ventura a pessoa que se comunica por gestos possuir lesão no hemisfério direito, não teria capacidade para criar ou copiar desenhos reconhecíveis ou perceber objetos na parte esquerda do seu campo visual, pois isto, é negligência hemiespacial. Porém, pode-se comunicar de modo eficiente na língua de sinais. Como qualquer língua oral, a língua de sinais é constituída por componentes linguísticos fundamentais para comunicação coesa e organizada.

#### 2.3 Construção linguística da língua de sinais

Como toda língua, a Língua Brasileira de Sinais é composta por componentes de construção linguística, tais como: i) fonética, ii) morfologia, iii) sintaxe, iv) semântica, v) pragmática e iv) fonologia (QUADROS; CRUZ, 2009).

STROBEL e FERNANDES (1998) descrevem a fonética como a área que estuda o som e como ele é produzido. Para a língua de sinais, a preocupação da fonética é retratada pelas características físicas e de articulação da fonação. Almeida (2014) e Sousa (2012) descrevem como a morfologia combina elementos para a formação das palavras, compondo número, gênero e pessoa. A sintaxe trata da estrutura das frases,

suas funções e todas as partes do discurso falado. A semântica estuda o significado geral da palavra e relaciona-se a natureza, função e usos dos específicos significados das palavras. A pragmática estuda o contexto pelo qual está tratado a sentença e os princípios de comunicação.

Segundo Sousa (2012), a fonologia na língua de sinais estuda os diferentes tipos de fônicas intencionais, que se combinam para formar palavras e frases. Já para Quadros e Cruz (2009), a fonologia é o ramo que identifica a estrutura e organização das expressões, determinando padrões de combinação entre elas. De forma geral, é a fonologia que reconhece os parâmetros que compõem a estrutura da Libras.

Stokoe (1980) descreve que os principais parâmetros fonológicos são ponto de articulação, movimento e configuração das mãos. Porém, após estudos, adicionou-se a orientação da mão e expressões faciais (QUADROS; CRUZ, 2009; TAVARES et al., 2009). Assim, tem-se que os parâmetros fonológicos da língua de sinais são: i) ponto de articulação, ii) configuração da mão, iii) movimento, iv) orientação e v) expressões.

O ponto de articulação é a área ou espaço onde incide a mão, em que os gestos são articulados. Destaca-se quatro áreas: cabeça, mão, tronco e espaço neutro. Espaço neutro é quando o gesto pode ser realizado em qualquer espaço em frente ao corpo (RODRIGUES; VALENTE, 2010). A configuração da mão trata-se do formato em que as mãos estão no gesto. No decorrer da execução do gesto, poderá haver variação do o alinhamento do punho e da configuração de mão. O movimento é outro parâmetro e se refere ao trajeto das mãos durante o gesto. A Figura 2.1, criada a partir da fonte para uso em editores de texto para Libras, ilustra 36 de várias configurações de mãos existentes (datilologia ou alfabeto manual). Para Quadros e Cruz (2009) e Tavares et al. (2009), os movimentos podem ser retilíneos, helicoidais, circulares, semicirculares, sinuosos e angulares. Além disto, a mesma configuração de mãos com movimentos distintos expressam assuntos distintos.

O parâmetro de orientação designa a direção em que a mão produz o movimento do gesto. Entre eles, tem-se cima, baixo, direita e esquerda (QUADROS; KARNOPP, 2009). A expressão é fundamental para a utilização da língua de sinais, pode ser facial ou corporal. Elas diferenciam o teor da mensagem que está sendo transmitida (QUADROS; CRUZ, 2009; TAVARES et al., 2009).

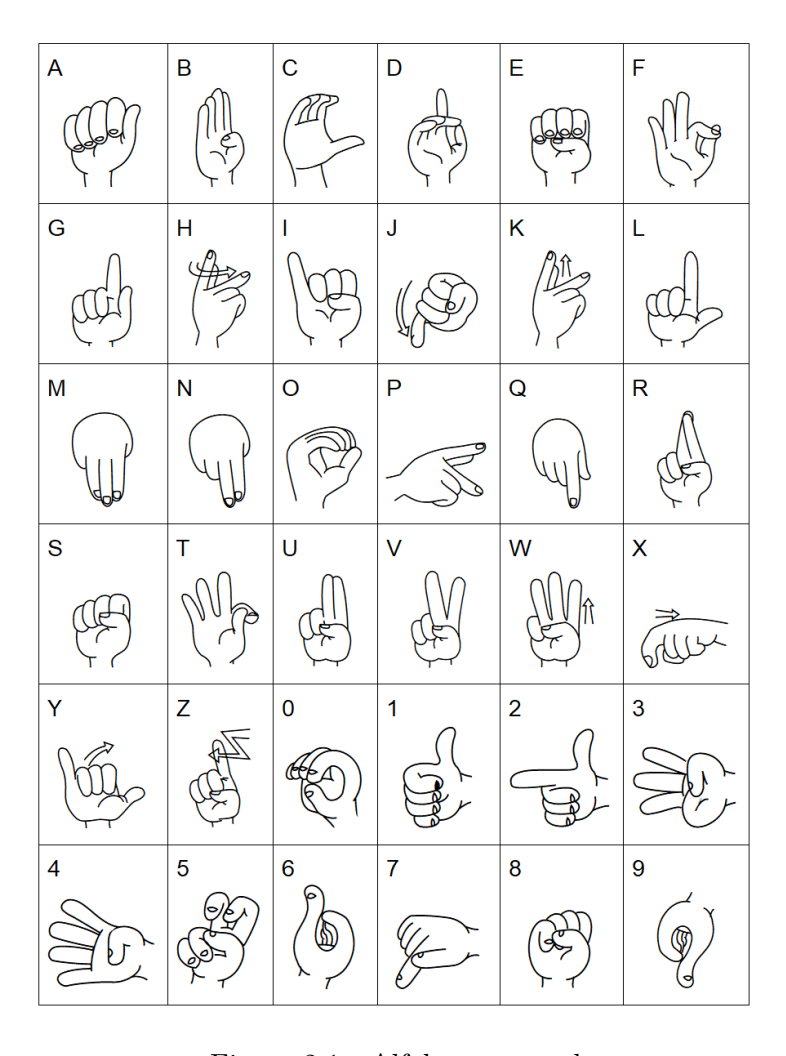


Figura 2.1 - Alfabeto manual

#### 2.4 Datilologia

A datilologia é empréstimo linguístico para a língua de sinais, capaz de soletrar palavras da língua oral para o alfabeto manual. A datilologia também é capaz de ilustrar palavras sem gestos específicos, nomes próprios que ainda não tenham gestos, nomes de lugares, gestos novos, entre outros. De forma geral, a datilologia expressa letras e números do alfabeto utilizada pela língua oral (RAMOS, 2005).

A datilologia apresenta três parâmetros fundamentais: i) movimento, ii) configuração e iii) orientação da mão. A palavra descrita por meio da datilologia é expressa de forma linear e cada letra é representada individualmente. É composta por 26 letras e 10 números do alfabeto latino (FERNANDES; ROMEIRO, 2017).

#### 2.5 A língua de sinais e datilologia pelo mundo

A língua de sinais é necessária em todo o mundo, porém como na língua oral, vários países têm sua própria língua de sinais, dificultando a interatividade. A forma em que as línguas de sinais são criadas refere-se ao contexto histórico em que foram consolidadas e a forma em que a comunidade surda assimilava objetos e, assim, gestos. Com os anos, passam a ter linguagem bem definida (QUADROS; CRUZ, 2009; TAVARES et al., 2009).

Phi et al. (2015) apresentam o alfabeto vietnamita como sistema moderno para a língua vietnamita. O alfabeto manual vietnamita inclui 29 letras e usa como referência o alfabeto latino, com base nos alfabetos de línguas românicas. Línguas românicas ou neolatinas são as línguas modernas que evoluíram do latim vulgar (latim falado). O trabalho de Das et al. (2015) especifica que o alfabeto indiano da língua de sinais (*Indian Sign Language* - ISL) também têm 29 letras.

A língua de sinais árabe (Arabic Sign Language - ArSL), descrita em Ahmed et al. (2016), foi reconhecida e documentada para ser padronizada e usada em todos os países árabes. Sarawate et al. (2015) descrevem que no Reino Unido e nos Estados Unidos da América utilizam o inglês como língua falada e em ambos países a diferença na língua está somente no sotaque. Porém, a língua de sinais americana (American Sign Language - ASL) foi criada por professores franceses, desta forma é similar a língua de sinais francesa (French Sign Language - FSL). No entanto, a língua de sinais britânica (British Sign Language - BSL) é similar a língua de sinais turca (Turkish Sign Language - TSL). Ambas com 26 letras e algumas letras bastante semelhantes.

As letras, quando iguais ou semelhantes, produzem problemas de reconhecimento. Nas línguas de sinais vietnamita e inglesa são admitidos gestos semelhantes, por exemplo, no alfabeto ASL, as letras A, M, N, S e T são gesticuladas com o punho fechado. O formato da mão para estas cinco letras parecem ser as mesmas (BUI; NGUYEN, 2007). Na Libras, as letras A, E, S e o número 8 têm formatos semelhantes. Esta problemática dificulta o acesso aos surdos se comunicarem com pessoas fora da sua comunidade, produzindo a necessidade de intérprete para estabelecer a comunicação entre as pessoas da comunidade surda, assim como na língua falada (QUADROS; CRUZ, 2009).

## 2.6 Considerações

Seja no âmbito educacional ou social, o uso da língua de sinais se torna primordial para a inserção dos surdos na sociedade. Deste modo, este capítulo descreve sobre a língua de sinais, a construção e suas particularidades. Além disto, este capítulo exemplifica de forma abrangente o alfabeto manual de alguns países, interligando sua construção linguística as línguas de sinais. No próximo capítulo serão apresentados os dispositivos de aquisição e processamento de dados relevantes para a construção da base de dados.

# CAPÍTULO 3

# SISTEMA DE MANIPULAÇÃO DE DADOS E RECONHECIMENTO DE PADRÃO

Neste capítulo são apresentados conceitos referentes à aquisição e processamento de dados, dispositivos transdutores de sinais e as formas de comunicação e programas necessários para realização da comunicação entre os transdutores. Ainda são apresentados conceitos referentes a rede neural artificial, com foco no Perceptron múltiplas camadas.

#### 3.1 Processamento de dados

Para implementar qualquer método de reconhecimento de padrão são necessários: i) os sensores para obtenção dos dados do sistema a ser reconhecido, fazendo com que sejam apresentados apenas dados relevantes para o reconhecimento, ii) o mecanismo de extração de características, efetuando a análise dos dados de saída do sistema e entrada na rotina computacional, de forma a extrair e derivar informações úteis para o processo de reconhecimento e iii) a identificação ou classificação destes dados, cujos resultados serão categorizados conforme seus padrões (CUNHA et al., 2007). A Figura 3.1 ilustra o diagrama simplificado do processo de reconhecimento de padrão.

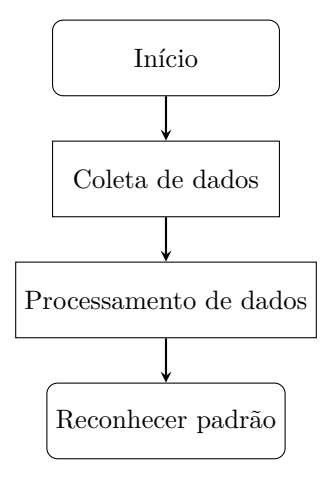


Figura 3.1 - Diagrama simplificado do processo de reconhecimento de padrão.

A aquisição dos dados (amostras) de saída do sistema ocorre a partir dos valores coletados dos sensores. Esta amostra ou base de dados é chamada de *template*. A

amostra coletada é analisada com o objetivo de averiguar sua qualidade e após a análise a amostra é armazenada. Após a aquisição dos dados de saída do sistema, parte-se para o processamento dos dados. Os dados de saída do sistema agora serão os dados de entrada da rotina computacional (LIBONATI; OLIVEIRA, 2002). A transformação dos dados de entrada da rotina computacional em determinado conjunto de características, é chamado de extração de características. Após as escolhas das características extraídas, espera-se que o conjunto de características final represente parte relevante da informação. Desta forma, utiliza-se o conjunto de características, ao invés de usar os dados de saída do sistema, reduzindo o esforço computacional (CHEVALLIER, 2001).

A extração de característica envolve a simplificação do conjunto de dados de entrada da rotina computacional, requeridos para descrever elevado conjunto de dados com precisão. Analisar elevado conjunto de dados com variações numéricas requer quantidade de memória e esforço de processamento elevado (CHEVALLIER, 2001). O conjunto de semelhanças do conjunto de características é denominado padrão. A união dos conceitos característica e padrão tem a finalidade de analisar conjuntos de dados e organizá-los de acordo com padrões/características, do qual a descrição de determinada situação recorrente e sua solução podem ser reutilizadas diversas vezes em diversas situações (CHEVALLIER, 2001).

Por fim, tem-se a identificação ou classificação de objetos de estudo dentro de número de categorias ou classes. Estes objetos de estudo variam de acordo com cada aplicação, podendo ser imagens, sinais em forma de ondas ou qualquer tipo de medida que necessite ser classificada (CUNHA et al., 2007). A identificação ou classificação é geralmente baseada na disponibilidade do conjunto de padrões classificados, chamado de conjunto de treinamento. Para funcionar corretamente, estes classificadores não podem ser generalizados, pois sua classificação será vaga, mas não podem ser específicos, pois deixarão de reconhecer elementos relevantes. Nesta etapa, novos dados são coletados utilizando o dispositivo/sensor, as características são extraídas a partir destes novos dados e comparadas com o template, reconhecendo ou não o padrão (LIBONATI; OLIVEIRA, 2002).

Para Cunha et al. (2007), a aquisição de dados é o processo pelo qual fenômenos físicos são transformados em sinais proporcionais e convertidos em formatos digitais compatíveis para posterior visualização, armazenamento, processamento e análise. O sistema de aquisição e processamento de dados é composto por fenômeno físico, captado por sensores e transdutores, cabos de ligação, equipamento de aquisição e

software de aquisição e processamento (CHEVALLIER, 2001).

## 3.2 Aquisição de dados, instrumentação e medidas

Instrumentação é a ciência que aplica técnicas para adequação de dispositivos de medição, transmissão, indicação, registro e controle de variáveis físicas em equipamentos nos processos industriais (BALBINOT; BRUSAMARELLO, 2000). A instrumentação é responsável por fazer medições e verificar características de cada tipo de medição e grandeza física (BALBINOT; BRUSAMARELLO, 2000). Estes sistemas de medição são chamados sensores ou transdutores. Eles são capazes de medir grandezas físicas, ou seja, obter a grandeza do ambiente e transformá-las em energia compatível aos sistemas microprocessados.

Webster e Eren (2014) e Balbinot e Brusamarello (2000) informam que após as medições, faz-se necessário recolher informação sobre os sistemas para o processo de tomada de decisões e para isto, utilizam-se condicionadores de sinais e processadores. Os condicionadores de sinais são responsáveis por converter a saída dos sensores ou transdutores em sinais elétricos compatíveis ao dispositivo de controle e o processador é o responsável por manipular as informações coletadas.

Existem vários tipos de sensores, cada um com sua especificidade. Os sensores têm suas características modificadas por fenômenos ocorridos em seus corpos, de forma a gerar variações nos agentes físicos tais como platina, resistência elétrica, força eletromotriz, dilatação térmica entre outros (BALBINOT; BRUSAMARELLO, 2000). A partir destas variações, é possível medir variáveis como pressão, vazão, nível, movimento, velocidade, temperatura entre outras.

#### 3.2.1 Sensores de flexão

Os sensores de flexão são construídos com materiais plásticos flexíveis produzidos com filme resistivo de carbono que são partículas condutoras, ao se deformar proporcionam resistência a passagem de corrente elétrica (NASCIMENTO et al., 2017). Convertem a alteração da flexão (ou curvatura) em resistência característica equivalente de forma linear. Assim, quanto maior a flexão, maior a resistência. A Figura 3.2, adaptada de Barclay et al. (2011), ilustra o sensor de flexão. A maleabilidade, compactação, robustez, eficácia de medição e baixo consumo de energia tornam os sensores de flexão úteis para múltiplas aplicações em diversos campos (SAGGIO et al., 2015).



Figura 3.2 - Sensor de flexão.

## 3.2.2 Acelerômetro e giroscópio

Os acelerômetros são sensores/trandutores que medem as acelerações aplicadas nos eixos x, y e z do dispositivo. Com o acelerômetro é possível obter informações sobre grandezas físicas da cinemática e da dinâmica, como velocidade, aceleração, força ou mesmo o tempo de resposta durante dado evento (KNIGHT et al., 2007).

O acelerômetro tem sua ideia baseada no mecanismo mais utilizado para medição da aceleração, o sistema massa-mola, a combinação da lei de Newton de aceleração de massa e a lei de Hooke de ação de mola. De modo que quando o dispositivo acelera, a inércia faz com que a massa resista (BEEBY, 2004). A frequência natural, vibração e amortecimento também são avaliados, sendo assim, o sensor verifica as oscilações e o tempo de resposta do sistema massa-mola em alguma frequência natural característica (OKADA, 2012).

Mayagoitia et al. (2002) relatam que a sensibilidade é um dos parâmetros mais importantes para os acelerômetros, pois descreve a conversão entre vibração e tensão em frequência de referência, como 160Hz. A sensibilidade é determinada pelo fabricante. Além disto, antes de cada aquisição de aceleração é necessária a calibração inicial, para obter parâmetros iniciais do dispositivo.

Existem tipos diferentes de acelerômetro, com um eixo ou mais de um eixo. Com um eixo, é utilizado para verificar vibração mecânica, enquanto que com mais eixos são capazes de realizar a medição da translação e da rotação dos corpos rígidos (SILVA, 2013).

A Figura 3.3, adaptada de Maenaka (2008), ilustra o acelerômetro de dois eixos, onde internamente, a massa é sustentada por molas de silício e o deslocamento delas

é motivado pela aceleração do corpo, justificado pelo princípio da inércia e medido pela mudança das capacitâncias  $C_1$  e  $C_2$  entre a massa e os eletrodos fixos.

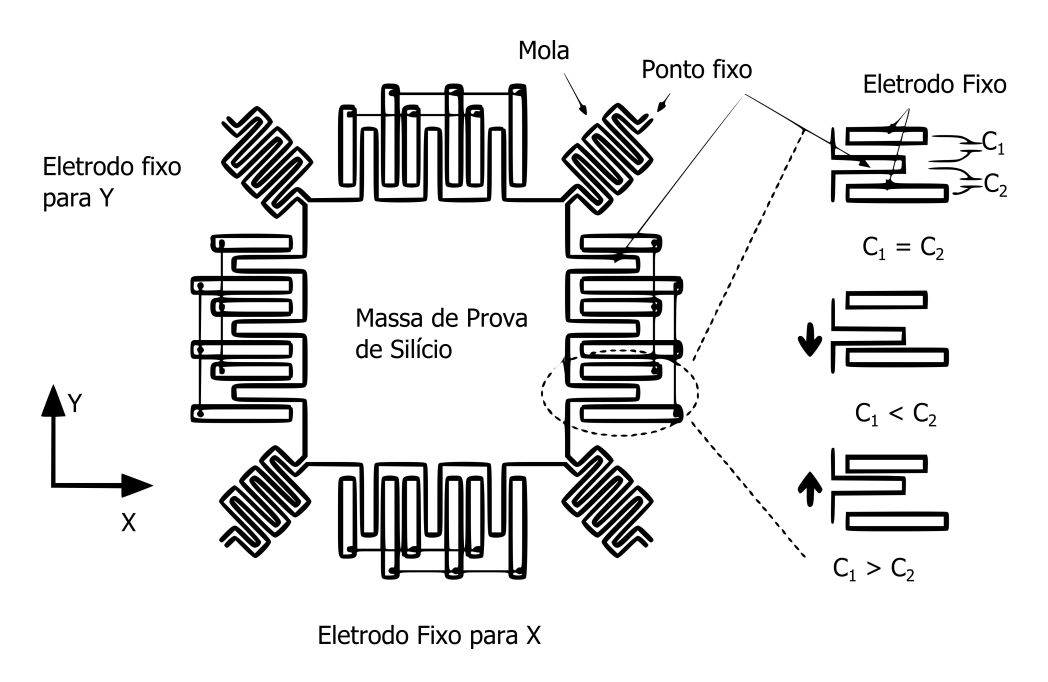


Figura 3.3 - Estrutura interna do acelerômetro.

Para adquirir informações completas de deslocamento do corpo no espaço, faz-se necessária a informação produzida por outro sensor, o giroscópio. Os giroscópios medem a velocidade de rotação em torno do seu centro de rotação, assim o deslocamento angular pode ser medido pela integração deste sinal (FORHAN; SENNA, 2010; LIMA et al., 2013). A velocidade angular é obtida medindo a força de inércia de Coriolis sobre a massa vibrante. Em medições com giroscópios, existem erros do tipo sistemático, que ocorrem normalmente devido aos defeitos de fabricação e interferências externas. Outro erro é do tipo aleatório, que incluem os ruídos, sinais normalmente aditivos e de alta frequência. Para solucionar tais erros é recomendável adicionar filtros digitais (SOUZA, 2015). Assim como no acelerômetro, é necessária a calibração inicial.

A Figura 3.4, adaptada de Maenaka (2008), ilustra o giroscópio de um eixo com dois módulos de molas de silício,  $K_x$  e  $K_y$ . O  $K_x$  suporta a estrutura externa, enquanto  $K_y$  permite a vibração na direção do eixo y. Segundo Maenaka (2008), a força inercial Coriolis, referente ao eixo z, resulta do movimento na direção do eixo x. Este movimento da parte externa causa variação da capacitância entre eletrodos fixos e móveis conectados na estrutura.

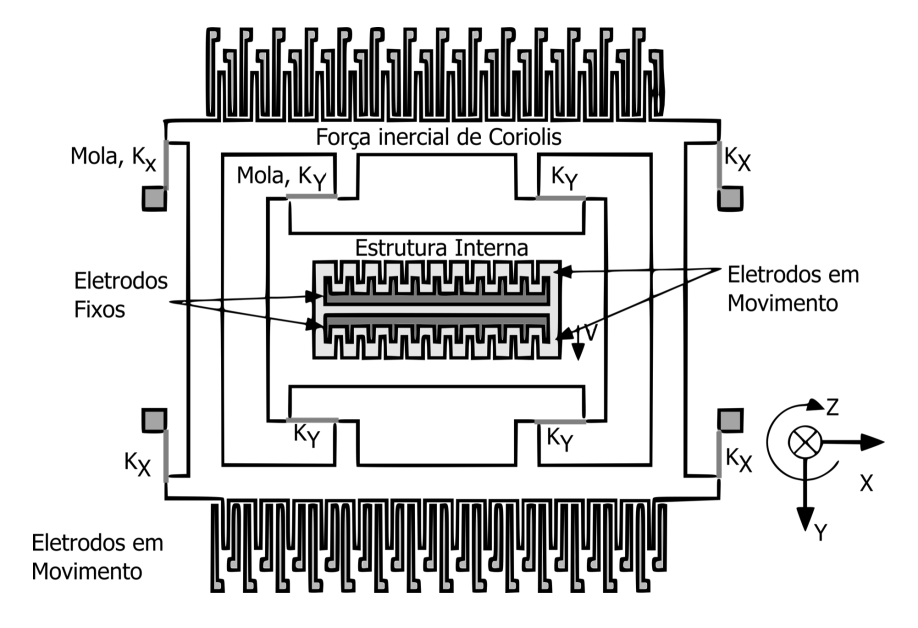


Figura 3.4 - Estrutura interna do giroscópio.

Existem dispositivos que agrupam os dois ou mais sensores em um só, os quais podem ser classificados como Sistemas Micro-eletromecânico (*Microelectromechanical systems* - MEMS), que são mais compactos e menos onerosos em comparação aos sensores utilizados separadamente. Um exemplo é o MEMS que acompla acelerômetro e giroscópio em mesmo invólucro (*chip*). A Figura 3.5, adaptada de Invensense (2016), ilustra os três tipos de unidades inerciais responsáveis por acoplar os dois dispositivos, acelerômetro e giroscópio.

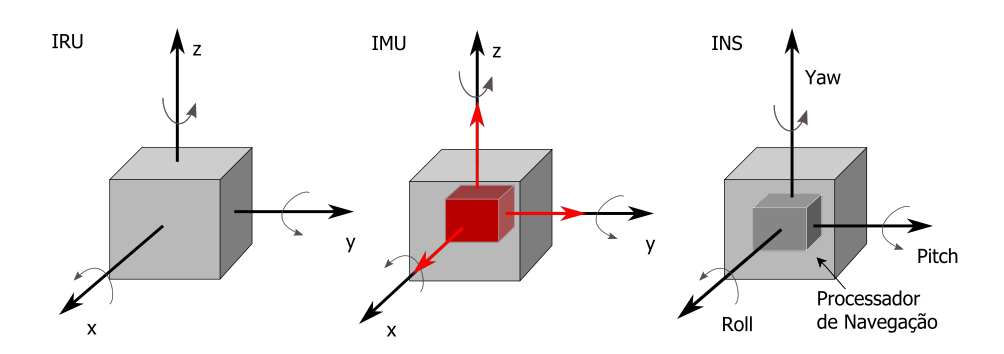


Figura 3.5 - Unidades inerciais.

Farrell (2008), Barshan e Durrant-Whyte (1995), Woodman (2007) descrevem que a unidade de referência inercial (*Inertial Reference Unit* - IRU) é capaz de verificar a velocidade angular nos três eixos ortogonais, a unidade de medida inercial (*Inertial Measurement Unit* - IMU) refere-se a habilidade de obter respostas de aceleração

através do uso de acelerômetros e, por fim, o sistema de navegação inercial (*Inertial Navigation System* - INS) é o sistema embarcado capaz de realizar a leitura dos sensores inerciais através de algoritmos que verificam dados de cada um dos sensores e identificam padrão de movimento. Desta forma, é possível fazer a aquisição de dados de velocidade e posicionamento. Alguns exemplos de aplicação dos acelerômetros e giroscópios são orientação de tela, *air bag*, realidade virtual e jogos, robótica, posicionamento de dispositivos, compensação de inclinação entre outros.

Os MEMS possuem o recurso processamento digital de movimento ( $Digital\ Motion\ Processor$  - DMP), que é responsável por realizar o processamento dos algoritmos de detecção dos movimentos nos seis eixos dos sensores ( $x, y \in z$  dos acelerômetro e giroscópio). Este recurso auxilia e agiliza nos cálculos necessários para verificar posicionamento, rotação, aceleração, tempo de giros e outros (FARRELL, 2008).

# 3.2.3 Comunicação entre os dispositivos

Uma das formas de realizar a comunicação entre os dispositivos e o computador é utilizando os microcontroladores, que são dispositivos de circuitos integrados compostos por unidade lógica e aritmética, unidade de controle, memórias, periféricos de entrada e de saída, temporizadores, porta de comunicação serial entre outros. São componentes programáveis que permite aplicação no controle de diversos processos (DESHMUKH, 2005). A Figura 3.6 ilustra o microcontrolador, onde  $V_{CC}$  é a tensão de alimentação, SDA é a porta de transmissão de dados, SCL é a porta de clock,  $E_{da_1}$  a  $E_{da_K}$  são as entradas de dados analógicos e  $E_{dd_1}$  a  $E_{dd_K}$  são as entradas de dados digitais.

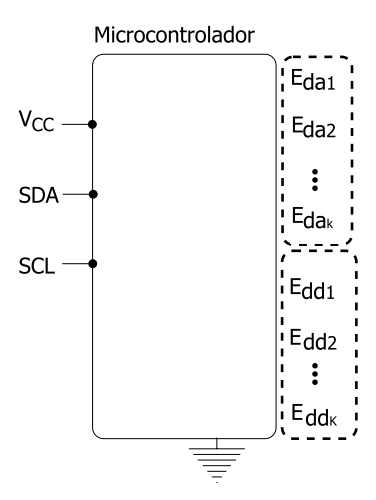


Figura 3.6 - Ilustração do microcontrolador.

Quando os microcontroladores são conectados aos hardwares, podem gerenciar e otimizar funções específicas relacionadas a estes periféricos. Para que todos os componentes conectados ao microcontrolador se comuniquem, realizando a aquisição, processamento e trabalhando em conjunto, deve existir comunicação entre os mesmos. Existem vários protocolos capazes de realizar a comunicação entre sensores e microcontrolador (GALLO et al., 2003), porém, na maioria dos MEMS utilizam-se o protocolo circuito inter-integrado (*Inter-Integrated Circuit* - I2C), que oferece comunicação, baixo custo computacional e rápida configuração de escravos na rede de comunicação.

A interface I2C é composta por dois fios bidirecionais, o serial data line (SDA) e o serial clock line (SCL). Cada dispositivo conectado ao barramento tem endereço único e pode agir como mestre ou escravo. O mestre é aquele dispositivo que coordena as operações do sistema, inicia a comunicação e solicita dados dos escravos. Os escravos recebem a requisição do mestre e retornam os dados solicitados, ficando limitado a comunicar-se apenas com o mestre.

Para transferir os dados, todos os outros dispositivos ligados ao barramento são considerados escravos e o dispositivo mestre é aquele que inicia a transmissão de dados no barramento e gera os sinais SCL para a sincronia da transmissão (ARCE et al., 2007; VERONESI, 2006; MONTEIRO et al., 2014). A Figura 3.7 ilustra o esquemático padrão de ligação do protocolo I2C, com entrada de dados  $E_d$ , entrada do  $clock\ E_c$ , saída de dados  $S_d$ , saída do  $clock\ S_c$  e as duas resistências  $R_c$  que ajustam alimentação no barramento com a tensão  $V_{CC}$  fornecida.

Para auxiliar no tempo de aquisição e processamento de dados, pode-se utilizar demultiplexadores adicionalmente ao protocolo I2C. O demultiplexador funciona como selecionador, onde os bits de controle selecionam cada porta/sensor e controla continuamente o fluxo para saídas de dados (ORDONEZ, 2003).

A Figura 3.8 ilustra o demultiplexador com dois sinais de controle  $S_{C_1}$  e  $S_{C_2}$  mais quatro sinais de saída  $D_{S_1}$  a  $D_{S_4}$  e a entrada  $D_{E_d}$ , que recebe as informações que serão transmitidas pelas portas selecionadas. Quando os bits de controle são modificados via microcontrolador, uma das saídas fica em estado baixo e todas as outras em estado alto (WIRTH, 2012). Desta forma, quando o multiplexador for ativado fará com que cada sensor seja ativado individualmente, após tempo determinado por programação. O demultiplexador é sistema de transmissão de dados síncrona, onde emissor e receptor são sincronizados pelo mesmo clock.

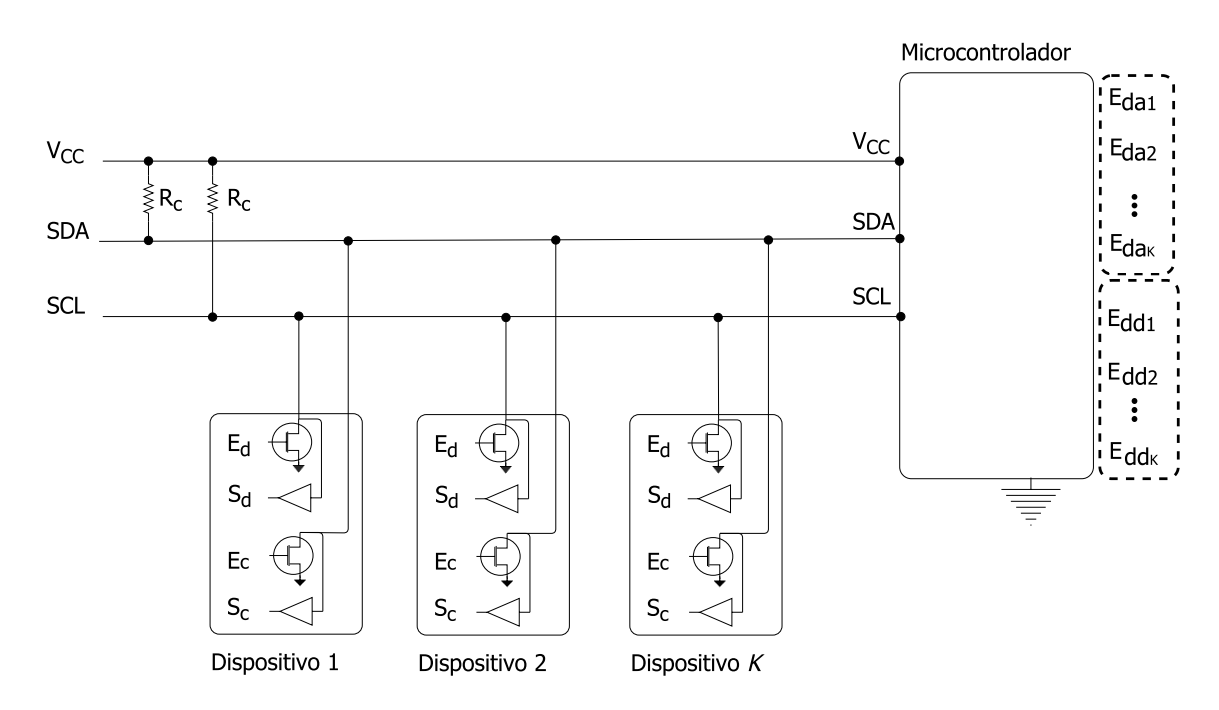


Figura 3.7 - Esquema elétrico para conexão e utilização do protocolo I2C.

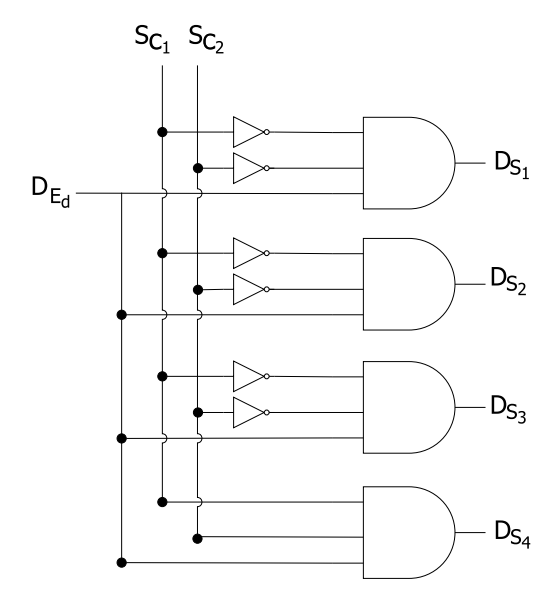


Figura 3.8 - Sistema demultiplexador.

## 3.3 Perceptron Múltiplas Camadas

As redes neurais artificiais (RNA) são baseadas no modelo conexionista dos sistemas nervosos biológicos, os quais, por meio da interconexão massiva de neurônios, permitem o desenvolvimento de atividades aos seres com sistema nervoso (HAYKIN et al., 2009; SCHALKOFF, 1997). Pode-se caracterizar RNA como modelos computacionais

baseados em processamento distribuído paralelo com propriedades particulares como habilidade para aprender, generalizar, classificar e organizar dados. Tem seu modelo desenvolvido, genericamente, por algumas características principais: i) estado de ativação e função de saída para cada unidade da rede; ii) padrão de conectividade, o qual é definido por matriz de pesos w; iii) regra para propagação dos estados de ativação (função de ativação) e iv) regra de aprendizado, para modificação do padrão de conectividade da rede usando a informação fornecida pelo ambiente externo, ou seja, para modificar a matriz de pesos (SILVA et al., 2010).

#### 3.3.1 Neurônio Artificial

O sistema nervoso central humano é formado por conjunto de neurônios biológicos, cada conjunto responsável por determinada função. Da mesma forma, a rede neural artificial é formada por módulos que simulam o funcionamento dos neurônios, que recebem e transmitem informações referentes aos padrões em estudo (KHASHEI; BIJARI, 2010; ANDRADE, 2011).

A Figura 3.9 ilustra a configuração de único neurônio artificial, onde m é o número de neurônios/sinais de entrada, representados por  $E_1$  a  $E_m$ , com pesos sinápticos  $w_1$  a  $w_m$  e saída S. Para processamento da informação dos neurônios, é fundamental a relação entre três componentes: i) peso sináptico, ii) somador ou combinador linear e iii) função de ativação.

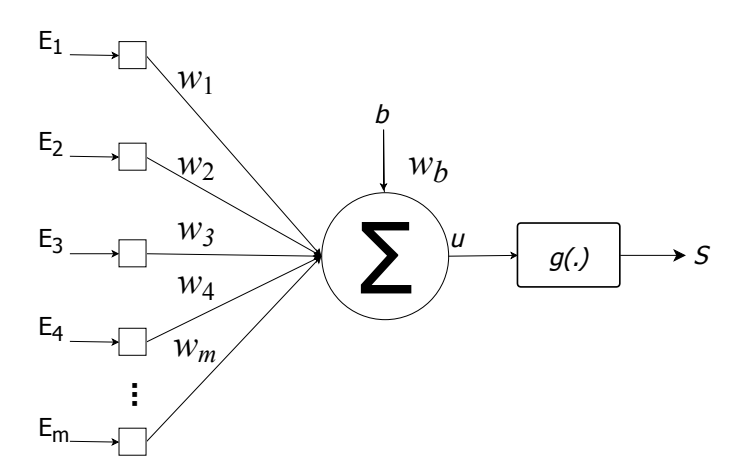


Figura 3.9 - Neurônio artificial.

Os sinais de entrada E são advindos do meio externo, representando as variáveis específicas da aplicação. Os pesos sinápticos w são caracterizados pela força da co-

nexão entre os neurônios da rede. O somador ou combinador linear, é a função que reúne todos os sinais de entrada com seus respectivos pesos sinápticos, produzindo o potencial de ativação u, que realiza a soma das entradas do neurônio multiplicadas pelos pesos sinápticos correspondentes. Complementarmente, tem-se o limiar de ativação ou bias, dado por b, que tem aplicação externa com capacidade de aumentar ou diminuir a entrada da função de ativação, a fim de otimizar o resultado da RNA. A saída S é o valor final obtido pelo neurônio, a partir de determinado grupo de sinais de entrada (NORGAARD et al., 2000).

#### 3.3.2 Função de ativação

Na Figura 3.9,  $g(\cdot)$  é a função de ativação, que tem como objetivo limitar a saída do neurônio. Nas Figura 3.10(a) a Figura 3.10(e) são ilustradas algumas funções de ativação usuais, que podem ser: i) função degrau, Figura 3.10(a); ii) função degrau bipolar, Figura 3.10(b); iii) função linear, Figura 3.10(c); iv) função logística ou sigmoidal, Figura 3.10(d) e v) função tangente hiperbólica, Figura 3.10(e) (ANDRADE, 2011; SILVA et al., 2010). A função de ativação degrau dada por (3.1) assume valor unitário positivo quando o potencial de ativação for maior ou igual a zero.

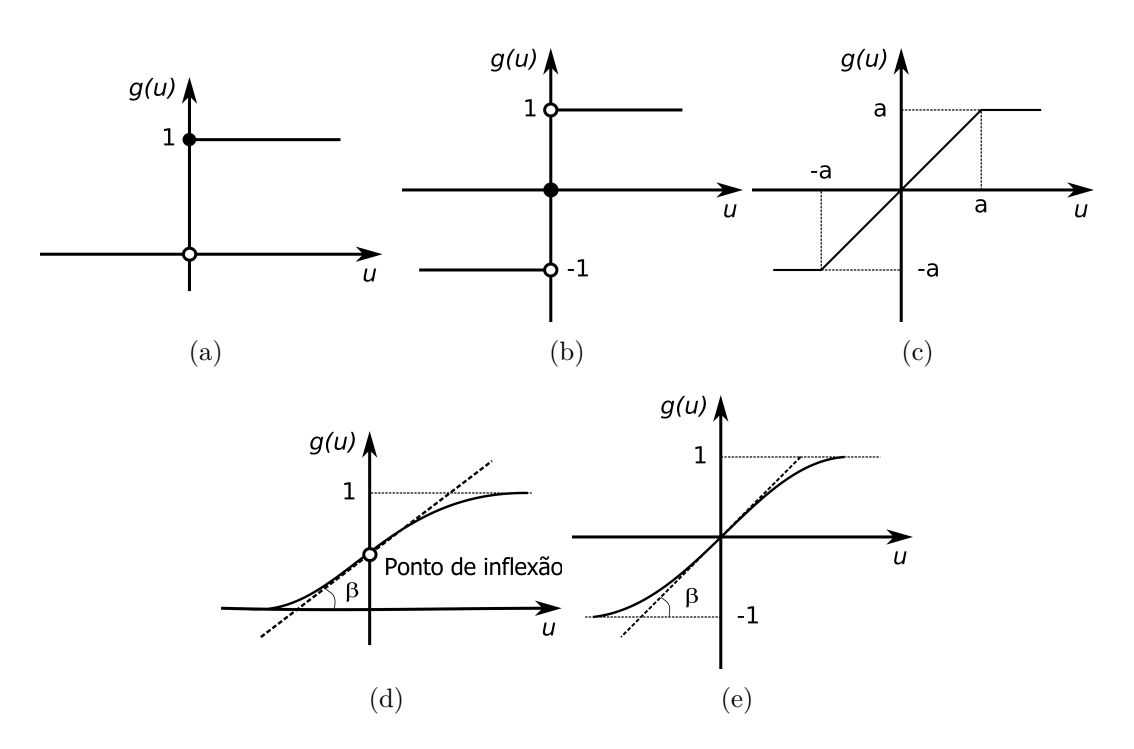


Figura 3.10 - Funções de ativação: (a) degrau (3.1), (b) degrau bipolar (3.2), (c) linear (3.3), (d) logística (3.4) e (e) tangente hiperbólica (3.5).

$$g(u) = \begin{cases} 1, se \ u \ge 0 \\ 0, se \ u < 0 \end{cases}$$
 (3.1)

A função de ativação degrau bipolar dada por (3.2) atribui valor unitário positivo quando o potencial de ativação for maior que zero, valor zero quando o potencial de ativação for zero e valores unitários negativos quando o potencial de ativação for menor que zero.

$$g(u) = \begin{cases} 1, se \ u \ge 0 \\ 0, se \ u = 0 \\ -1, se \ u < 0 \end{cases}$$
 (3.2)

A função de ativação linear ou rampa simétrica, dada por (3.3), assume valores iguais aos do potencial de ativação, definidos no intervalo intervalo (-a, a) e restringe aos valores (-a, a) quando maior ou menor que os limites.

$$g(u) = \begin{cases} a, se \ u > a \\ u, se \ -a \le u \le a \\ -a, se \ u < a \end{cases}$$
 (3.3)

A função de ativação sigmoidal ou logística, dado por (3.4), assume valores no intervalo (0, 1).

$$g(u) = \frac{1}{1 + e^{-\beta u}} \tag{3.4}$$

onde  $\beta$  é a constante real relacionada a inclinação da função logística.

A função de ativação tangente hiperbólica resulta em valores no intervalo (-1,1) e é dada por:

$$g(u) = \frac{1 - e^{-\beta \cdot u}}{1 + e^{-\beta \cdot u}} \tag{3.5}$$

onde  $\beta$  é a constante real relacionada a inclinação da função tangente hiberbólica.

### 3.3.3 Modelo do Perceptron múltiplas camadas

O modelo mais simples de RNA é o Perceptron, que é construído a partir do modelo do neurônio artificial e possui apenas uma camada. Este modelo foi criado por Rosenblatt (1958) e o modelo matemático de saída do neurônio artificial é dado por:

$$S_{i,n} = g(u) = g\left(\sum_{i=1}^{m} w_i \cdot E_i + b\right)$$
 (3.6)

onde  $i=1,2,\cdots,m$  representa o i-ésimo neurônio de determinada camada.

O Perceptron admite valores ou parâmetros específicos para cada componente que o compõe. Os sinais de entrada devem ser reais ou binários e os pesos sinápticos e limiar de ativação são reais e inicializados aleatoriamente (HAYKIN et al., 2009; SILVA et al., 2010).

A partir do modelo Perceptron de uma camada, pode-se implementar a configuração Perceptron múltiplas camadas (*Multi-Layer Perceptron* - MLP). A Figura 3.11 ilustra a topologia da MLP na presença de várias camadas intermediárias de neurônios (SILVA et al., 2010; HAYKIN et al., 2009).

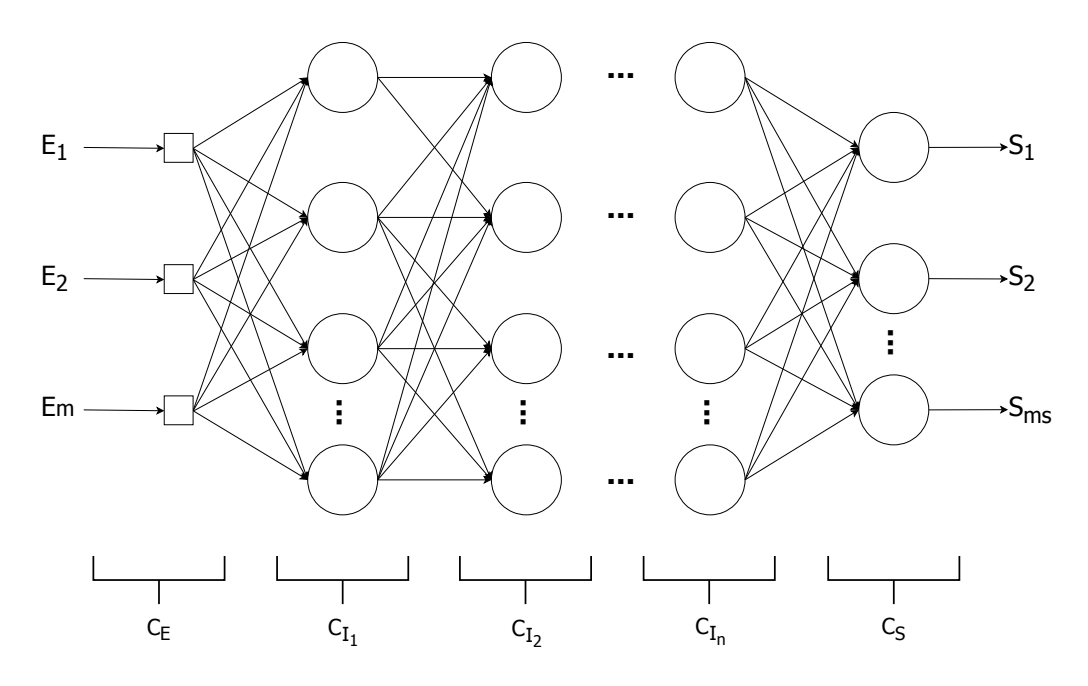


Figura 3.11 - Perceptron múltiplas camadas

A rede MLP ilustrada na Figura 3.11 apresenta número finito de neurônios nas

camadas intermediárias  $C_I$  e nas camadas de saída  $C_S$ . O número de camadas intermediárias  $m_i$  e seus respectivos neurônios dependem da complexidade do problema a ser solucionado, dos valores escolhidos para a camada de entrada e dos parâmetros atribuídos inicialmente (CUNHA et al., 2007; SCHALKOFF, 1997). Como ilustrado na Figura 3.11, a quantidade dos sinais de saída é igual ao número de neurônios da camada de saída  $S_{m_s}$ , quanto mais complexo o problema de reconhecimento, maior a quantidade de sinais e neurônios na camada de saída.

A definição da quantidade de camadas intermediárias da rede e o número de neurônios em cada camada são de extrema importância para seu desempenho, principalmente no que se refere à sua capacidade de generalização. Segundo Cybenko et al. (1988), a utilização de duas ou mais camadas intermediárias somente é necessária quando o problema a ser resolvido apresenta descontinuidades. Ao utilizar elevado número de camadas, geram-se problemas de convergência da rede, já que as camadas intermediárias trabalham com estimativas de erro. Nem sempre é possível conhecer a topologia necessária para cada aplicação (SCHALKOFF, 1997; HAYKIN et al., 2009; ANDRADE, 2011; BEBIS; GEORGIOPOULOS, 1994).

O algoritmo MLP possui fluxo de dados diferentes em duas etapas: i) a etapa forward, propagação positiva do sinal funcional, onde os pesos da rede são mantidos fixos e a rede recebe estímulos na entrada e apresenta os resultados na saída e ii) a etapa backward, retropropagação do erro, onde os pesos da rede são ajustados tendo por base a medida de erro na camada de saída, efetuando ajustes dos pesos sinápticos em relação a direção oposta do gradiente da função erro quadrática. Na etapa foward, os resultados são os valores encontrados por (3.6) para cada neurônio na saída da camada intermediária. Nesta etapa, as saídas da primeira camada intermediária serão as próximas entradas para a segunda camada intermediária, assim, sucessivamente, até a última camada, a camada de saída.

A Figura 3.12 ilustra a propagação e a retropropagação, onde o sinal de erro é propagado em sentido oposto ao de propagação do sinal funcional. Com a ocorrência sucessiva das fases forward e backward, os pesos sinápticos dos neurônios são modificados a cada iteração. Os pesos sinápticos são responsáveis por reduzir os erros produzidos nas iterações da rede neural.

Quando a solução atual de pesos estiver longe de minimizar a função erro, a variação na direção oposta ao gradiente da função erro quadrático entre duas iterações será elevada. Isto implica em aplicar passos maiores de incremento nos pesos em direção ao mínimo da função erro. Para isto, é calculado o gradiente da função erro em

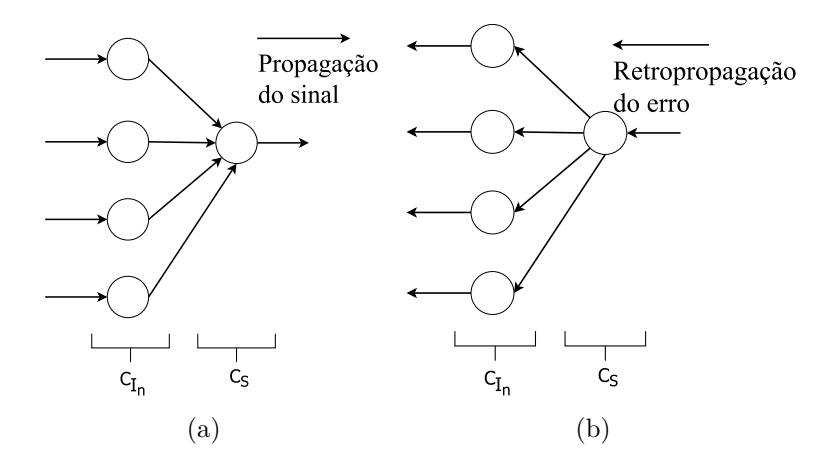


Figura 3.12 - Algoritmo backpropagation: (a) etapa forward e (b) etapa backward.

relação aos pesos e bias, pois atualizando os pesos e bias na direção oposta ao gradiente, minimiza-se o erro. Quando a solução atual está próxima da solução desejada, todos os ajustes de peso conduzem apenas ao termo de aprendizagem da rede (SILVA et al., 2010). Como o erro é calculado apenas na camada de saída, o algoritmo backpropagation consegue determinar a influência do erro nas camadas intermediárias da rede.

A Figura 3.13 ilustra o funcionamento do algoritmo backpropagation, onde cada neurônio i refere-se a camada j, onde j=1 é a camada de entrada  $C_E$  e é a fonte de dados da rede neural, j=n é a camada de saída  $C_S$  da rede.

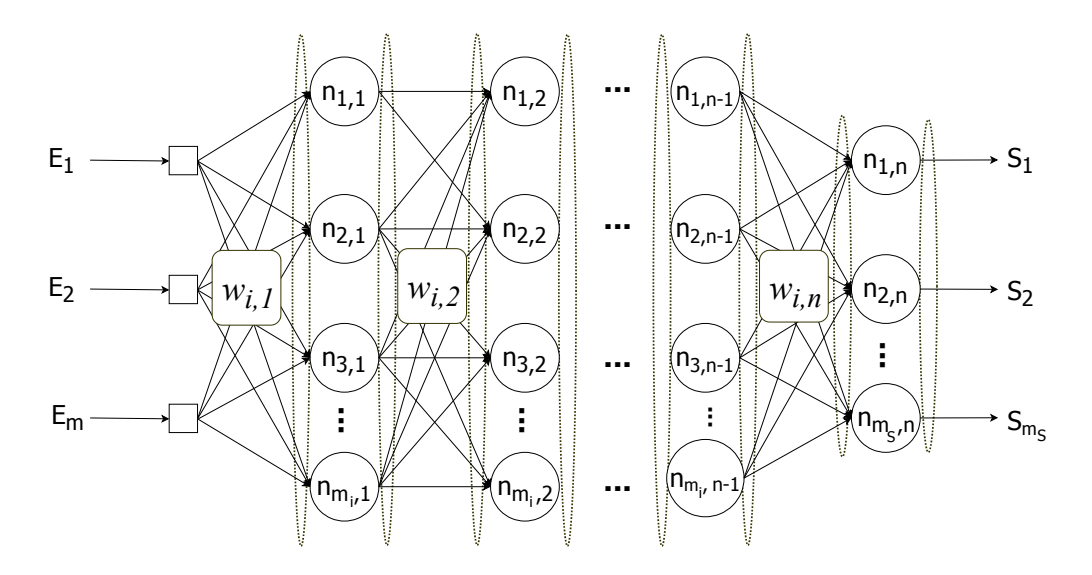


Figura 3.13 - Topologia do Perceptron múltiplas camadas.

Os pesos sinápticos  $w_{i,j}$  formam a matriz de pesos referente as conexões do i-ésimo neurônio da j-ésima camada. A Figura 3.13 ilustra o fluxo na etapa forward das conexões direcionadas e compostas por nós. A conexão do neurônio i da camada j serve para propagar a ativação do neurônio i em outros neurônios da camada j+1. Cada conexão possui o peso numérico  $w_{i,j}$  associado a ela, o que determina a força e o sinal da conexão. Cada nó tem uma entrada fictícia com o peso associado  $w_0$  escolhido aleatoriamente para inicialização da rede e cada nó realiza os cálculos de entrada  $E_{i,j}$  e saída  $S_{i,j}$ , dados por:

$$E_{i,j} = \sum_{i=1}^{n} w_{i,j} \cdot S_i \tag{3.7}$$

$$S_{i,(j+1)} = g\left(w_{i,(j+1)} \cdot S_{i,n} + b_{i,(j+1)}\right)$$
(3.8)

onde n é o número de camadas da rede e para (3.8),  $j=1,2,\cdots,n-1$ .

O sinal de erro e no i-ésimo neurônio da camada de saída  $C_S$ , com j=n na rede MLP é calculado a partir da diferença entre a saída desejada  $S_{d_{i,n}}$  e o valor obtido pela saída atual  $S_{i,n}$  em (3.6) e dado por (BEBIS; GEORGIOPOULOS, 1994):

$$e_{i,n} = S_{d_{i,n}} - S_{i,n} (3.9)$$

O valor instantâneo do erro é dado pela soma dos erros quadráticos de todos os neurônios da camada  $C_S$ , por serem os únicos neurônios visíveis, nos quais os erros podem ser calculados diretamente. Desta forma, o valor instantâneo do erro é dado por:

$$\epsilon(n) = \frac{1}{2} \sum_{i=1}^{m} e_{i,n}^2 \tag{3.10}$$

Considerando k o número total de padrões a serem reconhecidos no conjunto de treinamento e p o contador de iterações, o erro médio quadrático (MSE) é obtido da normalização do conjunto de treinamento, dado por:

$$\overline{\epsilon_m} = \frac{1}{k} \cdot \sum_{p=1}^k \epsilon(n) \tag{3.11}$$

A MLP é capaz de aprender por meio de exemplos e padrões apresentados a ela. A etapa de aprendizado da RNA consiste de processo iterativo de ajuste de parâmetros da rede, através dos pesos das conexões. A partir dos ajustes, a RNA guarda os melhores valores obtidos para os pesos sinápticos a partir do treinamento (DEMUTH et al., 2014). Por padrão, o treinamento da MLP é do tipo supervisionado, que tem a função de encontrar as derivadas da função erro e modificar os valores dos pesos e bias da RNA (SILVA et al., 2010). Para o aprendizado é importante que haja recursos suficientes para que a rede generalize, ou seja, que ela consiga reconhecer tipos diferentes de padrões aplicados a ela (GARDNER; DORLING, 1998).

Para ajustar os pesos sinápticos da camada de saída  $w_{i,n}$  utiliza-se (3.12), relacionando o erro obtido  $e_{i,n}^{(p)}$ , onde  $e_{i,n}^{(p)}$  indica a iteração corrente, com a taxa de aprendizagem  $\eta$  e a saída anterior da rede  $S_{i,n}^{(p-1)}$ .fs

$$w_{i,j}^{(p)} \longleftarrow w_{i,j}^{(p)} + \eta \cdot e_{i,n}^{(p)} \cdot S_{i,j}^{(p-1)}$$
 (3.12)

O ajuste dos pesos referentes às camadas intermediárias seguem a regra de formação dada por:

$$w_{i,j}^{(p-1)} \longleftarrow w_{i,j}^{(p-1)} + \eta \cdot e_{i,n}^{(p-1)} \cdot S_{i,j}^{(p-2)}$$
(3.13)

O ajuste dos pesos referentes à camada de entrada e a primeira camada intermediária, utiliza-se da entrada da rede para o ajuste fino, dado por:

$$w_{i,j}^{(1)} \longleftarrow w_{i,j}^{(1)} + \eta \cdot e_{i,n}^{(1)} \cdot E_{i,1}$$
 (3.14)

#### 3.3.4 Termo Momentum

Para tornar o processo de convergência da RNA mais eficiente, pode-se utilizar o método de inserção do momentum. Para inserção do termo momentum, basta inserir único parâmetro visando ponderar o quão as matrizes sinápticas foram alteradas entre duas interações sucessivas (GARDNER; DORLING, 1998). Quando o valor da taxa de momentum for igual a zero, a expressão se torna equivalente àquela do backpropagation convencional. Por outro lado, para valores diferentes de zero, o termo passa a ser relevante, sendo que tal contribuição afetará positivamente no processo de convergência da RNA (HAYKIN et al., 2009). A adição do momentum  $\alpha_m$ 

no processo de atualização dos pesos sinápticos é dada por:

$$\Delta w_{i,j}^{(p)} = \alpha_m \Delta w_{i,j}^{(p-1)} + \eta \cdot e_{i,n}^{(p)} \cdot S_{i,j}^{(p)}$$
(3.15)

Reed e Marks (1999) e Rumelhart et al. (1986) admitem que a taxa de aprendizagem  $\eta$  deve estar entre os valores  $(0,05 \le \eta \le 0,75)$  e a taxa de momentum entre os valores  $(0 \le \eta \le 0,9)$ .

Os dados coletados e preparados para serem inseridos na rede neural devem ser separados em duas categorias: i) dados de treinamento, que são utilizados para o treinamento da rede e ii) dados de teste, que são utilizados para verificar o desempenho da rede sob condições reais de utilização (SUYKENS et al., 2002). Além desta divisão, pode-se usar também a subdivisão do conjunto de treinamento, criando o conjunto de validação, utilizado para verificar a eficiência da rede quanto a sua capacidade de generalização durante o treinamento, podendo ser empregado como critério de parada do treinamento (GARDNER; DORLING, 1998).

O número de **época** é definido em RNA como a quantidade de vezes necessária de apresentação da amostra para ajuste dos pesos sinápticos, ou seja, quantidade de vezes que o treinamento é interrompido e a RNA é testada com os dados de validação. Este processo deve ocorrer até que o desempenho da RNA com os dados de validação se estabilize no valor desejado do erro (KRIZHEVSKY et al., 2012).

A validação é de extrema importância, cujo propósito é avaliar a aptidão de cada estrutura da rede (SILVA et al., 2010). O método mais utilizado é a validação cruzada que é técnica da estatística clássica útil em determinar, durante o treinamento, a capacidade de generalização da rede neural. No método de validação cruzada, o conjunto total de amostras é aleatoriamente dividido em duas partes, treinamento e validação. O conjunto de treinamento é responsável por treinar todas as topologias candidatas ao problema e o conjunto de validação é aplicado para aquelas topologias que apresentarem melhores resultados. Para todo efeito, a validação pode ser repetida inúmeras vezes, garantindo seu processo de validar a rede (VINCENT et al., 2010).

A validação também é importante na prevenção de overfitting e underfitting. O over-fitting ocorre quando há número excessivo de neurônios ou camadas na RNA para o problema que está sendo resolvido (SAMARASINGHE, 2016). Pode também ocorrer overfitting no treinamento, quando a rede neural é treinada com quantidades de épo-

cas além do necessário. O treinamento excessivo deixa superajustado o subconjunto de dados e o classificador tende a se adaptar a detalhes específicos da base de dados de treinamento, o que pode causar redução da taxa de acerto (ABDEL-HAMID et al., 2014).

O underfitting ocorre quando a rede não é treinada suficientemente para se tornar capaz de produzir resultados satisfatórios, ou seja, quando há número baixo de neurônios ou de camadas na RNA para o problema que está sendo resolvido, ficando subajustada (SRIVASTAVA et al., 2014). Pode também ocorrer underfitting no treinamento, quando a rede neural é treinada com quantidades de épocas abaixo do necessário.

Quando ocorre o treinamento, o conjunto de validação é apresentado de forma a ser um dos critérios de parada. Para melhor resposta do sistema, as redes devem ser testadas em funções de ativação diferentes para cada camada (PRECHELT, 1998). Nos processos da MLP, os dados de entrada são separados para treinamento, validação e teste. A configuração da rede, como número de camadas, número de neurônios em cada camada, parâmetros do algoritmo de treinamento e funções de ativação normalmente são escolhas realizadas empiricamente (KULIK, 2015).

A essência do aprendizado da rede neural através do algoritmo de retropropagação do erro consiste em realizar o mapeamento, através dos ajustes dos pesos sinápticos dos pares entrada/saída de vetores. A rede aprende o suficiente com esta associação para ser capaz de encontrar associações válidas para vetores de entradas desconhecidos (DEMUTH et al., 2014). A rede deve, portanto, ter capacidade de generalizar o conhecimento aprendido aplicando-o em novas situações. A Figura 3.14 ilustra o fluxograma de funcionamento da rede neural MLP.

#### 3.4 Codificação de classes

A camada de saída é responsável por classificar os padrões estipulados pela MLP. Em suma, qualquer problema de classificação pode ser resolvido por combinações lógicas, do tipo and ou or, em relação as regiões que foram definidas pelos neurônios (GRITSENKO et al., 2016). As combinações lógicas quando mapeadas conjuntamente, formam regiões (ou classes) distintas.

Um dos métodos de classificação é o de codificação sequencial, que utiliza combinação binária. A Tabela 3.1 apresenta a matriz de saída deste método, onde  $V_{S_1}$  a  $V_{S_4}$  são os valores de saídas,  $N_1$  e  $N_2$  são os neurônios da camada de saída e em cada linha

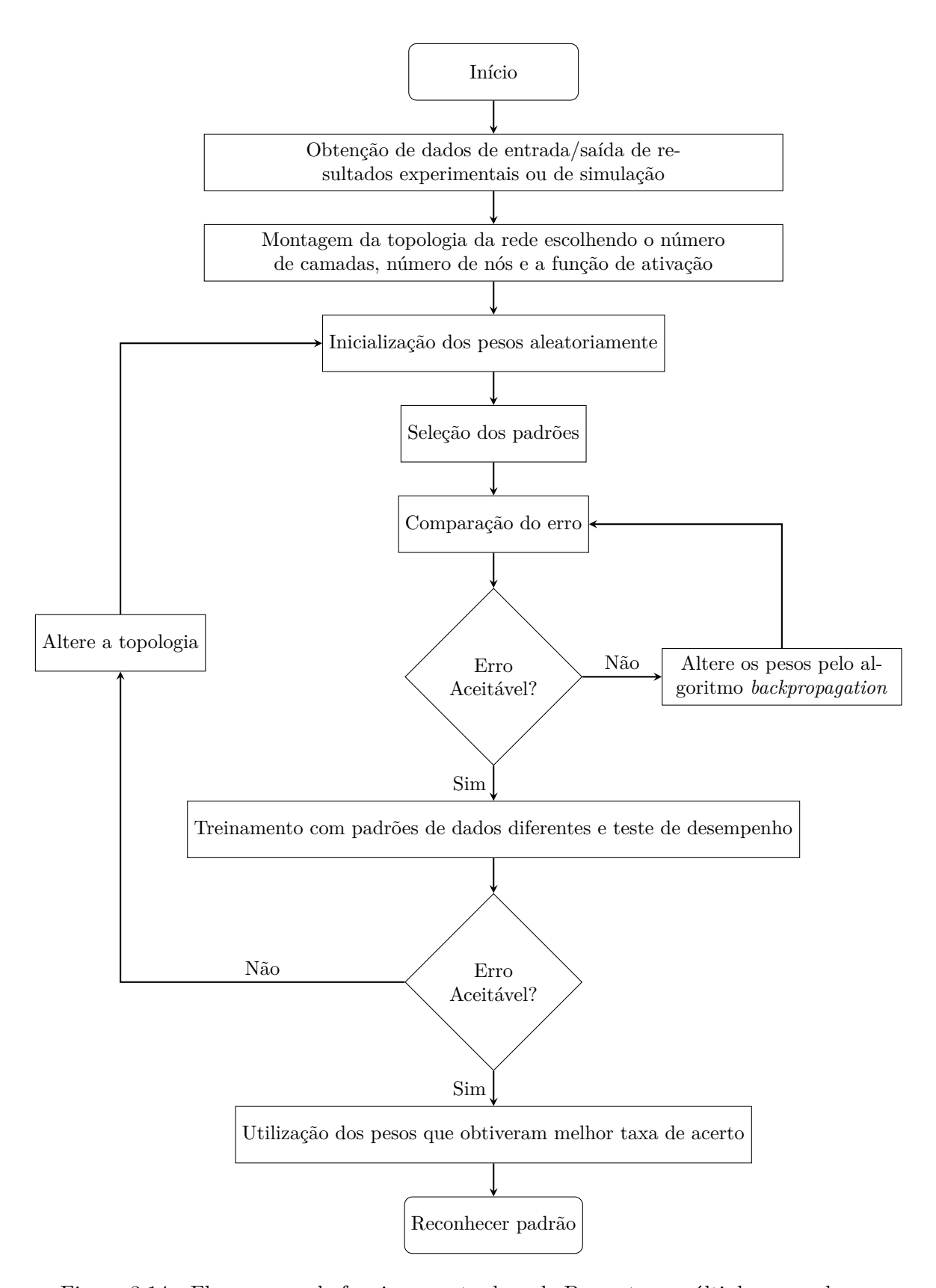


Figura 3.14 - Fluxograma de funcionamento da rede Perceptron múltiplas camadas.

são apresentadas classes distintas.

Tabela 3.1 - Codificação sequencial.

	$N_1$	$N_2$	Classe
$\overline{V_{S_1}}$	0	0	A
$\overline{V_{S_2}}$	0	1	В
$\overline{V_{S_3}}$	1	0	С
$\overline{V_{S_4}}$	1	1	D

A quantidade de classes  $Q_{c_s}$  proveniente deste método é dado por:

$$Q_{c_s} = 2^{(Q_{n_s})} (3.16)$$

onde  $Q_{n_s}$  representa o quantidade de neurônios da camada de saída.

O método de codificação sequencial é aplicado com a justificativa de reduzir a quantidade de neurônios na camada de saída. A Tabela 3.1 e a expressão (3.16) informam que para dois neurônios podem ser construídas até quatro classes distintas. Hampshire e Pearlmutter (1991) afirmam que este método aumenta a necessidade de recursos computacionais.

Outro método utilizado é o **codificação** c-classes, que associa a saída de cada neurônio diretamente com sua classe correspondente (SILVA et al., 2010). A Tabela 3.2 apresenta quatro classes pela codificação c-classes, onde  $V_{S_1}$  a  $V_{S_4}$  são os vetores de saídas,  $N_1$  a  $N_4$  são os neurônios da camada de saída e em cada linha são apresentadas classes distintas.

Tabela 3.2 - Codificação c-classes.

	$N_1$	$N_2$	$N_3$	$N_4$	Classe
$\overline{V_{S_1}}$	1	0	0	0	A
$\overline{V_{S_2}}$	0	1	0	0	В
$\overline{V_{S_3}}$	0	0	1	0	С
$\overline{V_{S_4}}$	0	0	0	1	D

Na codificação c-classes, a quantidade de classes reconhecidas é igual a de neurônios na camada de saída e, por consequência, apresenta número maior de neurônios na camada de saída, quando comparado com o método de codificação sequencial. Quando se utiliza o método c-classes, os valores de saída  $S_{i,n}$  dado por (3.6) podem

ser pós-processados como:

$$S_{pp} = \begin{cases} 1, se \ S_{i,n} \ge lim^{sup} \\ 0, se \ S_{i,n} < lim^{sup} \end{cases}$$
 (3.17)

onde  $S_{pp}$  representa a saída pós-processada e  $\lim^{sup}$  representa o limite superior que a função de ativação pode assumir.

## 3.5 Considerações

O conceito de aquisição e processamento de sinais pode ser utilizado para dispositivos e aplicações em diversos contextos. O principal objetivo ao adquirir e processar dados é usufruir dos melhores dados dentro do arranjo de informações e chegar ao resultado final com eficiência e otimização do uso de recursos. O conceito de redes neurais artificiais é primordial para usufruir de cálculos e desenvolvimento de programação capaz de reconhecer padrões em melhor taxa de acertos. Após discutir sobre língua de sinais, aquisição, processamento e redes neurais artificiais, o próximo capítulo descreverá a metodologia a ser utilizada.

## CAPÍTULO 4

#### **METODOLOGIA**

É apresentado neste capítulo a metodologia para projetar e desenvolver quatro dispositivos capazes de identificar configuração e movimento das mãos, com o propósito de verificar qual possui melhor desempenho para reconhecimento da língua de sinais e tradição para a linguagem escrita. Descreve o sistema embarcado, a distribuição e arranjo dos sensores no dispositivo e os diagramas de conexão e esquemas elétricos. Apresenta ainda a aplicação da rede neural com o tratamento de dados, teste e validação.

## 4.1 Leiaute do dispositivo

Para o desenvolvimento do trabalho é necessário encontrar/construir a luva com o melhor leiaute para receber os sensores, de forma a não prejudicar a produção dos movimentos dos dedos. São necessários testes para encontrar a melhor disposição dos sensores na luva, a fim de compreender todos os dedos, dorso e punho. Desenvolve-se a programação do microcontrolador para realizar a aquisição dos dados nos sensores e constrói-se a rede neural para reconhecimento dos padrões que foram adquiridos dos dados coletados dos sensores. Na sequência, realiza-se a validação dos resultados, validando o dispositivo proposto.

Para construção do dispositivo, existe a necessidade de definir o leiaute. Este leiaute deve partir de luva flexível com tamanho a definir. Esta luva deve vestir à mão de forma que não atrapalhe a realização das configurações e movimentos. O leiaute ainda deve levar em conta a disposição de sensores e cabos de conexão.

O material para construção do dispositivo deve ser leve, não espesso, consistente e ajustável a mão. É desejável que os sensores e cabos de conexão sejam acoplados fora das articulações, diminuindo as possibilidades de quebra e, consequentemente a interrupção na comunicação entre o dispositivo e o computador. Os cabos de conexão devem ser flexíveis o suficiente para não atrapalhar na gesticulação. Os sensores devem ficar o mais distante um do outro, pois o amontoamento pode atrapalhar nos movimentos.

O leiaute não deve ser personalizado, ou seja, o dispositivo deve ser vestido em qualquer mão que tenha o mesmo tamanho. Os sensores devem ser localizados sobre o dispositivo de tal forma que fiquem firmes e estáveis, não se deslocando na ocorrência de movimentos bruscos. Caso o dispositivo proporcione alguma dificuldade na produção dos movimentos, isto acarretará ruídos nos sinais coletados nos sensores, produzindo padrões indesejáveis e não realizando o correto reconhecimento dos movimentos. A Figura 4.1 apresenta o fluxograma do processo de desenvolvimento dos dispositivos para reconhecimento de gestos da língua de sinais.

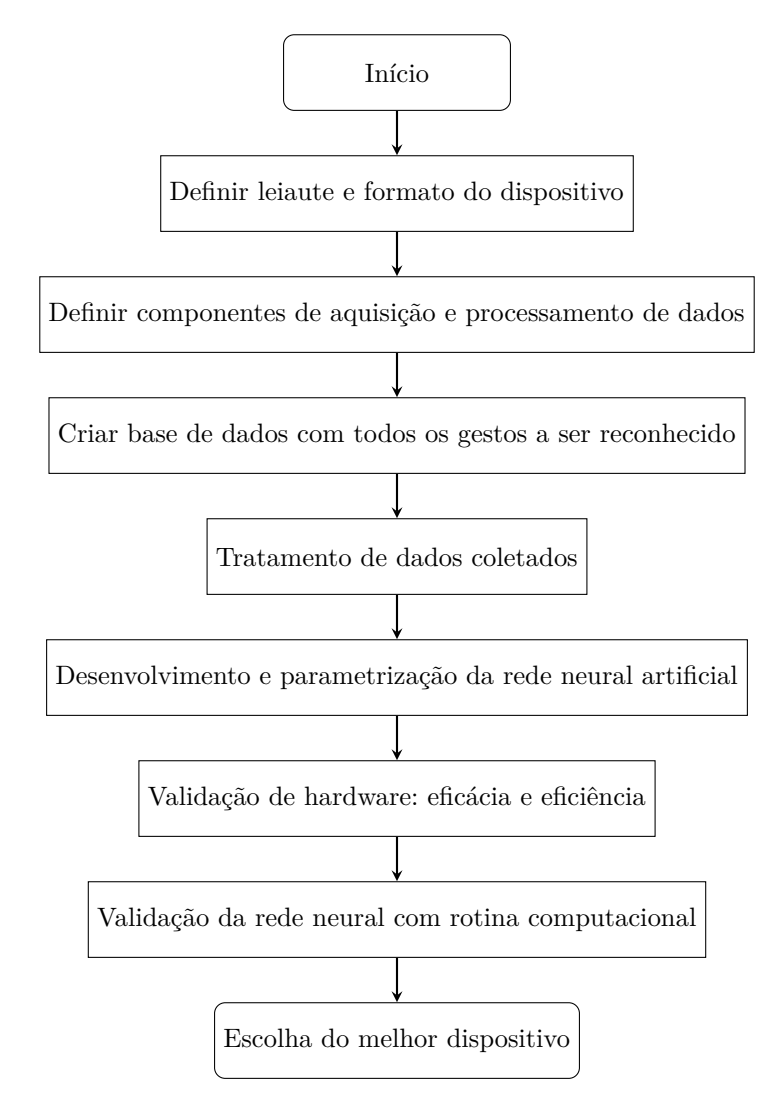


Figura 4.1 - Fluxograma para desenvolvimento de tecnologia para reconhecimento de gestos das língua de sinais.

# 4.2 Construção dos dispositivos

Para testes de desempenhos entre os sensores, são desenvolvidos quatro protótipos: Protótipo  $P_1$ , Protótipo  $P_2$ , Protótipo  $P_3$  e Protótipo  $P_4$ . Na construção destes protótipos, leva-se em consideração os principais parâmetros fonológicos para o reconhecimento da língua de sinais: i) ponto de articulação, ii) configuração da mão, iii) orientação e iv) movimentos. A Figura 4.2 e Figura 4.3 ilustram os parâmetros fonológicos da língua de sinais.

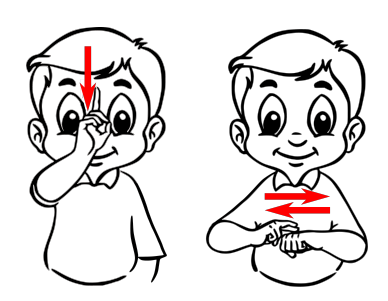


Figura 4.2 - Parâmetro fonológico da língua de sinais: ponto de articulação.

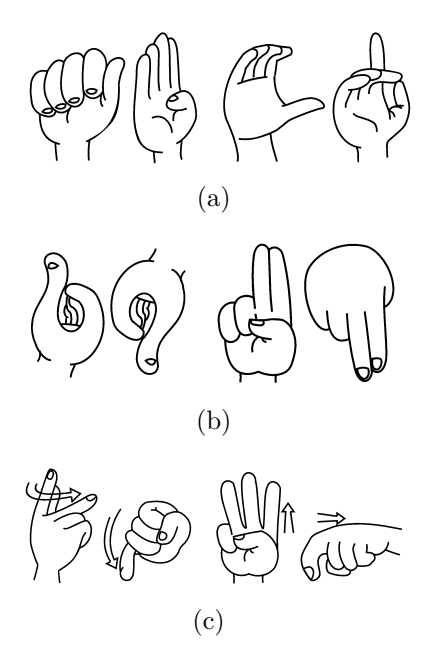


Figura 4.3 - Parâmetros fonológicos da língua de sinais: (a) configuração de mão, (b) orientação e (c) movimento.

A Figura 4.2 ilustra o ponto de articulação, que é a área onde incide o gesto e na Figura 4.3(a) é ilustrada a configuração da mão, que trata do formato da mão no gesto e permite verificar o alinhamento do punho e a variação da configuração ao longo da execução do gesto. Na Figura 4.3(b) é ilustrada a orientação da mão, que designa a direção em que a mão produz o movimento do gesto e por fim, na Figura 4.3(c) é ilustrado o movimento referente ao trajeto das mãos durante o gesto.

O conhecimento dos parâmetros fonológicos auxilia no posicionamento dos sensores

sobre o leiaute dos protótipos. Na construção dos protótipos são utilizados os sensores de flexão para verificar a abertura e curvatura dos dedos, acelerômetros para identificar o movimento e o direcionamento da mão e giroscópios para mapear a rotação e direção do movimento.

Com o propósito de comparar a resposta encontrada pelos sensores nos dispositivos, são desenvolvidos os protótipos com diferentes sensores em diferentes quantidades. Todos os protótipos desenvolvidos são capazes de averiguar gestos estáticos e os Protótipo  $P_2$ , Protótipo  $P_3$  e Protótipo  $P_4$  averiguam movimento e orientação. O Protótipo  $P_4$  verifica movimento e orientação do dorso da mão e punho. O Protótipo  $P_3$  contempla movimento e orientação do dorso e dos dedos da mão e o Protótipo  $P_4$  verifica movimento e orientação dos dedos e do punho.

O Protótipo  $P_1$  contém cinco sensores de flexão distribuídos sobre o seu leiaute, como ilustra a Figura 4.4(a). A Figura 4.4(b) ilustra o diagrama de conexão do Protótipo  $P_1$ , onde de  $S_{f_1}$  a  $S_{f_5}$  são sensores de flexão e  $M_c$  é o microcontrolador. O Protótipo  $P_1$  é encontrado no mercado trocando o sensor de flexão por sensores baseados em fibra óptica, tornando-o oneroso.

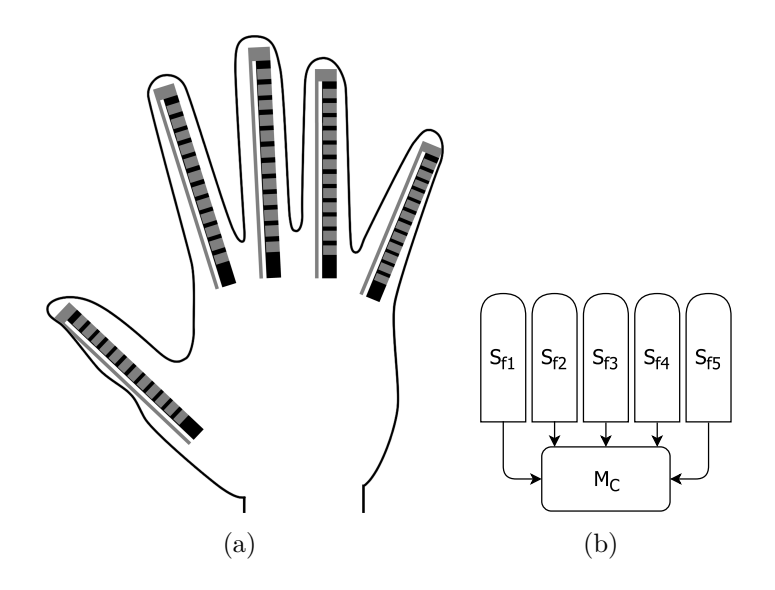


Figura 4.4 - Protótipo  $P_1$ : (a) leiaute e (b) diagrama de conexão.

O Protótipo  $P_2$  contêm cinco sensores de flexão e dois módulos com acelerômetro e giroscópio (MEMS), como ilustra a Figura 4.5(a). A Figura 4.5(b) ilustra o diagrama de conexão de  $P_2$ , onde de  $S_{f_1}$  a  $S_{f_5}$  são sensores de flexão,  $M_c$  é o microcontrolador,  $A_{g_1}$  e  $A_{g_2}$  são os MEMS. O posicionamento dos MEMS considera o

deslocamento do dorso da mão em relação ao punho.

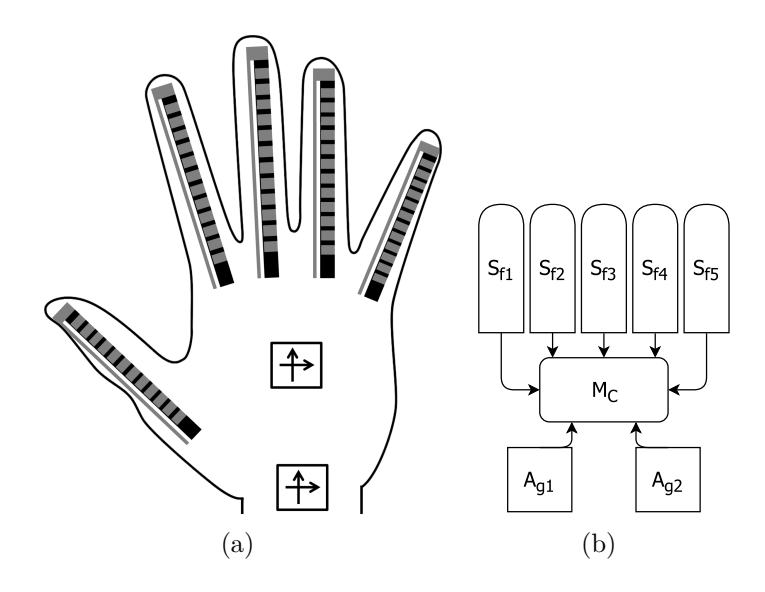


Figura 4.5 - Protótipo  $P_2$ : (a) leiaute e (b) diagrama de conexão.

O Protótipo  $P_3$  contêm cinco sensores de flexão e oito MEMS. Os MEMS estão distribuídos sobre as pontas dos dedos, base dos dedos indicador e anelar e dorso da mão, como ilustrado na Figura 4.6(a). A Figura 4.6(b) ilustra o diagrama de conexão de  $P_3$ , onde de  $S_{f_1}$  a  $S_{f_5}$  são sensores de flexão,  $M_c$  é o microcontrolador e de  $A_{g_1}$  a  $A_{g_8}$  são os MEMS. O posicionamento dos MEMS considera o deslocamento do dorso da mão e o deslocamento das pontas dos dedos em relação ao punho.

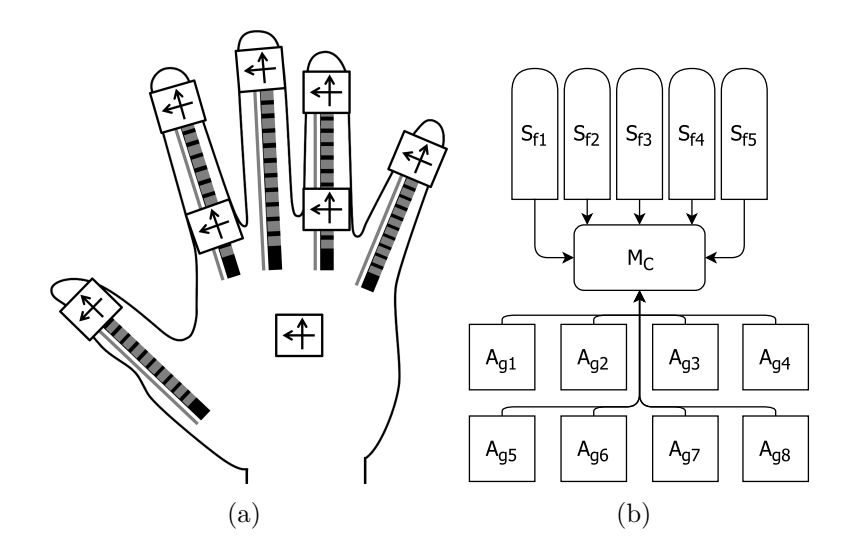


Figura 4.6 - Protótipo  $P_3$ : (a) leiaute e (b) diagrama de conexão.

O Protótipo  $P_4$  é semelhante ao Protótipo  $P_3$ , no entanto, ele contém oito MEMS e nenhum sensor de flexão. A Figura 4.7(a) ilustra o Protótipo  $P_4$  e a Figura 4.7(b) ilustra o diagrama de conexão do Protótipo  $P_4$ , onde  $M_c$  é o microcontrolador e de  $A_{g_1}$  a  $A_{g_8}$  são os MEMS. Os sensores de flexão são retirados no intuito de mensurar sua contribuição para o dispositivo.

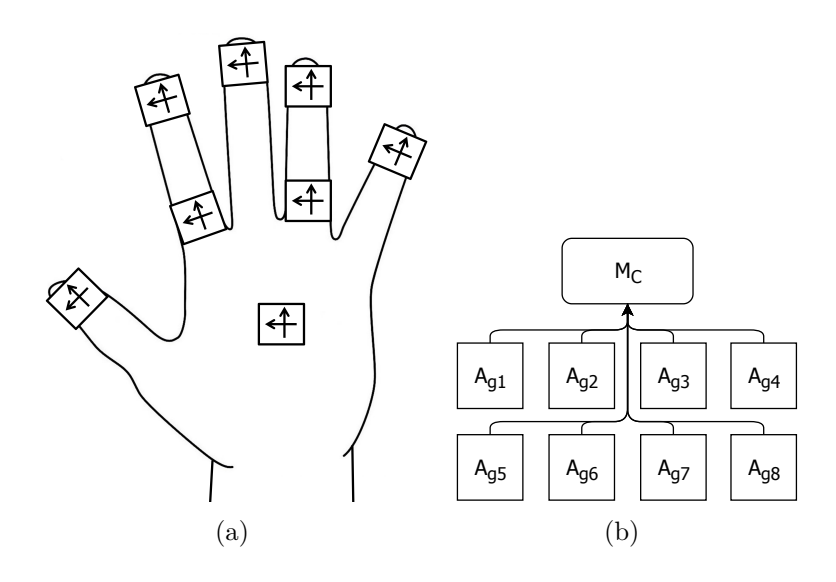


Figura 4.7 - Protótipo  $P_4$ : (a) leiaute e (b) diagrama de conexão.

# 4.3 Aquisição dos dados

Após os protótipos prontos e testados a conexão, inicia-se a coleta de dados e construção da base de dados necessária para treinamento da rede neural. Os indivíduos que utilizam os protótipos e gesticulam para a construção da base de dados devem conhecer a língua de sinais, de forma a realizar corretamente os gestos. Ao vestir o protótipo, este indivíduo deve colocá-lo adequadamente, ajustando-o até o final dos dedos.

Cada gesto faz com que cada sensor produza valor de saída diferente. Cada valor de saída produzido por cada sensor forma o vetor contendo o gesto. Os sensores de flexão produzem sinais analógicos nos seus resistores variáveis e para obter os valores referentes a variação resistiva deve-se implementar divisores de tensão. A Figura 4.8 ilustra o esquema elétrico para coleta do sinal de saída dos sensores de flexão, onde  $V_{in}$  é a tensão de alimentação,  $R_{S_f}$  é a resistência do sensor de flexão e R é o resistor responsável por gerar a tensão de saída  $V_{out}$  proporcional a tensão  $V_{in}$ . A tensão de saída  $V_{out}$  é dada por (4.1) e é registrada na entrada analógica  $E_{da_1}$ 

do microcontrolador  $M_c$ .

$$V_{out} = \frac{R}{R + R_{S_f}} \cdot V_{in} \tag{4.1}$$

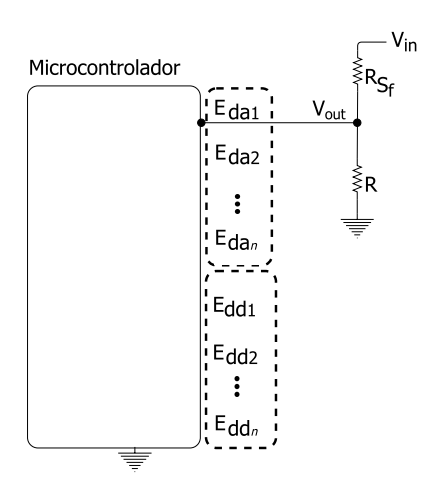


Figura 4.8 - Esquema elétrico para coleta de dados nos sensores de flexão.

O microcontrolador recebe os sinais analógicos e converte em sinais digitais. A resolução do conversor  $R_p$  é expressa pela relação entre a tensão de referência do microcontrolador  $V_{ref}$  e a quantidade de bits  $n_b$  do conversor, dado por:

$$R_p = \frac{V_{ref}}{2^{n_b}} \tag{4.2}$$

Para realizar a leitura dos sinais dos MEMS é necessária comunicação I2C entre microcontrolador e MEMS. Os MEMS possuem recurso de processamento digital de movimento que é capaz de adquirir e processar os movimentos nos eixos x, y e z do acelerômetro e do giroscópio no próprio sensor. Além disto, possuem internamente conversores analógico/digital de 16 bits de resolução para cada canal e memória de  $1024\ bytes$  para armazenamento temporário dos sinais enquanto faz a comunicação.

A Figura 4.9 ilustra o esquema elétrico para coleta do sinal de saída dos MEMS. Para enviar os dados para o microcontrolador é necessário estabelecer qual dos MEMS fará a comunicação. Para isto, o microcontrolador envia sinais digitais de controle para as entradas  $S_{C_1}$  e  $S_{C_2}$  do demultiplexador que, por conseguinte, envia sinais para as portas  $AD_0$  dos MEMS. A porta  $AD_0$  define o endereçamento I2C dos

MEMS, desta forma, o demultiplexador manda sinal zero para o  $AD_0$  do MEMS que fará a comunicação e envia 1 para os demais MEMS.

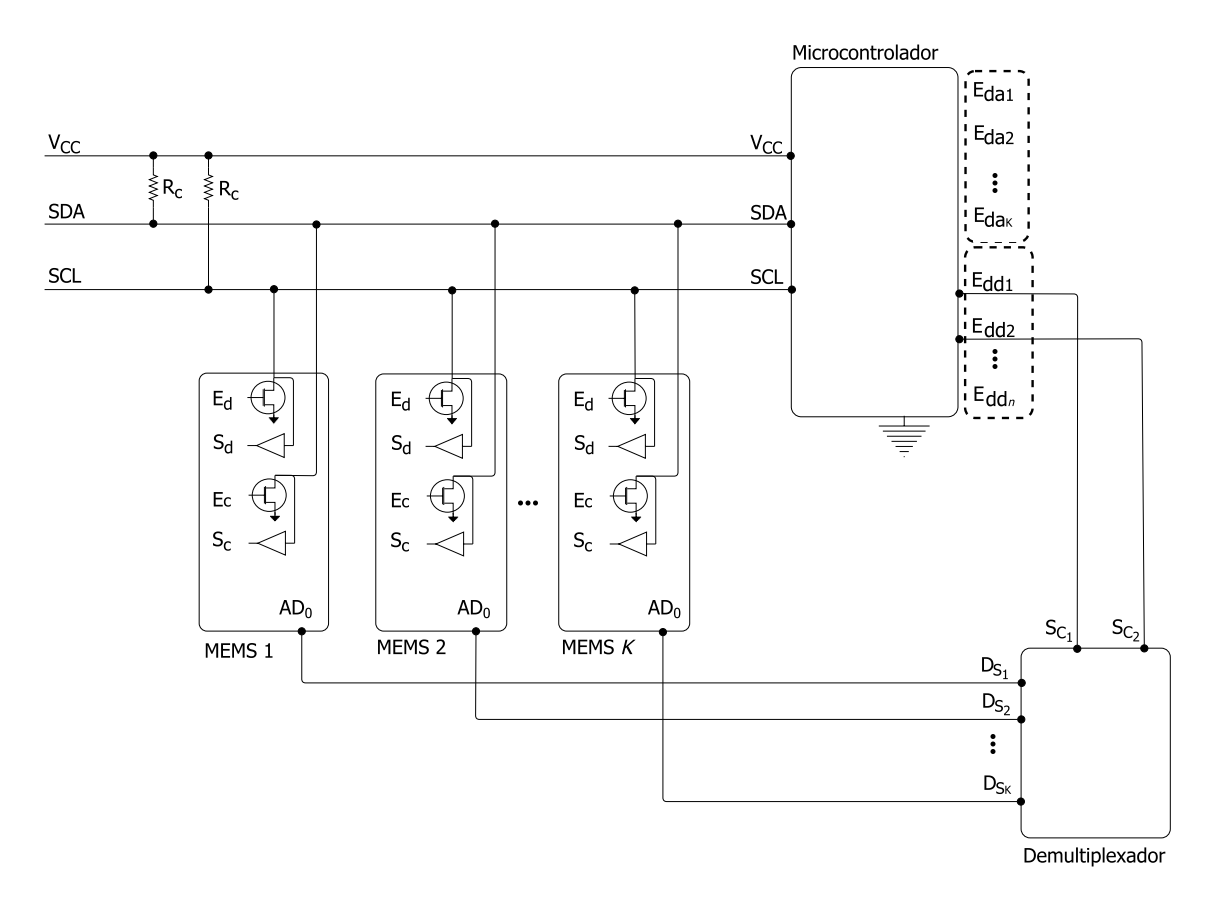


Figura 4.9 - Esquema elétrico para coleta de dados dos MEMS.

Os dados do sensor de flexão, recebidos pela porta analógica do microcontrolador, são normalizados. Além disto, é desenvolvida rotina para estabelecer os valores iniciais (offset) dos MEMS, de forma a estabelecer estado de inicialização e, a partir dos dados coletados dos MEMS, calcula-se: a) os ângulos de aceleração dos eixos x, y e z dos acelerômetros e b) o valor do giro em graus por segundo para os eixos x, y e z dos giroscópios.

Os sensores captam os gestos produzidos nos protótipos e cada gesto atua diferentemente sobre cada sensor. Após a coleta dos valores produzidos pelos sensores, constrói-se o vetor  $V_g$ , que representa cada gesto, dado pela concatenação dos vetores  $S_s$ ,  $A_s$ .

$$S_s = [S_{f_1}, \cdots, S_{f_5}] \tag{4.3}$$

$$A_{s} = [(A_{x_{1}}, A_{y_{1}}, A_{z_{1}}, \cdots, A_{x_{K}}, A_{y_{K}}, A_{z_{K}}), \quad (G_{x_{1}}, G_{y_{1}}, G_{z_{1}}, \cdots, G_{x_{K}}, G_{y_{K}}, G_{z_{K}})]$$

$$(4.4)$$

$$V_g = [S_s, A_s] \tag{4.5}$$

onde K é o número de sensores,  $S_s$  é o vetor com os valores obtidos dos sensores de flexão  $S_f$ ,  $A_s$  é o vetor com os valores obtidos dos MEMS  $A_g$ . As variáveis  $A_x$ ,  $A_y$  e  $A_z$  e  $G_x$ ,  $G_y$  e  $G_z$  são os valores nas posições x, y, e z dos acelerômetros e giroscópio, respectivamente. No caso do Protótipo  $P_1$  que não têm os MEMS, o vetor  $A_s$  é suprimido de  $V_g$  e no caso do Protótipo  $P_4$ , que não têm os sensores de flexão, o vetor  $S_s$  é suprimido.

A partir do vetor  $V_g$  é possível construir a matriz contendo as configurações, que é utilizada na rede neural artificial. Cada linha da matriz de configuração contém a repetição do mesmo gesto. Logo, se o gesto for repetido  $\tau$  vezes, a matriz de configuração terá  $\tau$  linhas. A matriz de configurações é dada por:

$$Q_{i,j} = \begin{bmatrix} V_{g_{1,j}} \\ V_{g_{2,j}} \\ \vdots \\ V_{g_{\tau,i}} \end{bmatrix}$$

$$(4.6)$$

onde i é o contador das linhas,  $i = 1, 2, \dots, \tau$  e  $\tau$  é o número de vezes que o mesmo gesto é reproduzido e j é o contador relacionado as colunas da matriz  $Q_{i,j}$  e refere-se a quantidade de sensores (sinais coletados) no vetor  $V_q$ .

A partir da matriz  $Q_{i,j}$  é possível construir a matriz  $M_{E_{i,j}}$  que é a entrada da RNA. A matriz  $M_{E_{i,j}}$  dada por (4.7) é produzida a partir da concatenação de todos os possíveis gestos armazenados nas matrizes de configuração  $Q_{i,j}$ . O valor T é: a multiplicação da quantidade de vezes que determinado gesto foi repetido pelo número de gestos, e indica a quantidade de linhas da matriz  $M_{E_{i,j}}$ .

$$M_{E_{i,j}} = \begin{bmatrix} Q_{1,j} \\ Q_{2,j} \\ \vdots \\ Q_{T,j} \end{bmatrix}$$

$$(4.7)$$

Quando o protótipo é conectado à porta serial do computador e a rotina para aquisição de dados é inicializada, são realizados testes para verificar a comunicação. Se há comunicação, a rotina computacional apresenta mensagem de confirmação e os gestos devem ser produzidos. Se não, o processo será reinicializado até que ocorra a comunicação do protótipo com o computador.

A rotina computacional reconhece o início e término do gesto quando há variação dos sinais entregues. Caso o sinal de entrada esteja estático e em seguida ocorre variação, é verificado o início do gesto. Por conseguinte, aguarda a nova variação dos sinais de entrada e finaliza o gesto. Novos gestos podem ser produzidos após a inserção do gesto anterior na matriz  $Q_{i,j}$ .

A matriz  $M_{E_{i,j}}$  que armazena os sinais estáticos, pode armazenar a dinâmica de cada gesto. Assim, para realizar a coleta de forma dinâmica, após a identificação do movimento, guarda-se os primeiros valores medidos nos sensores no tempo  $t_0$ . A segunda coleta é realizada no tempo  $t_{Ag}$ , que é o tempo de aquisição do MEMS. Após as duas primeiras coletas, é realizada a última coleta quando não ocorrer mais variações nos valores obtidos dos MEMS. Esta terceira e última coleta é realizada no tempo  $t_{\delta}$ . Desta forma, a matriz  $M_{E_{i,j}}$  pode ser reescrita considerando a dinâmica dos gestos, dada por:

$$M_{E}(i,j,\delta) = \begin{bmatrix} Q_{1,j,\delta} \\ Q_{2,j,\delta} \\ \vdots \\ Q_{T,j,\delta} \end{bmatrix}$$

$$(4.8)$$

onde a nova matriz  $M_E(i, j, \delta)$  é a matriz tridimensional, contendo a dinâmica dos gestos no tempo, como ilustrado na Figura 4.10.

Na Figura 4.10,  $t_0$  é o tempo da primeira coleta,  $t_{Ag}$  é o tempo da segunda coleta e  $t_{\delta}$  o tempo da terceira coleta, i representa o contador de linhas, que é a quantidade de vezes que o gesto é realizado, j representa o contator de colunas da matriz  $Q_{i,j}$ ,

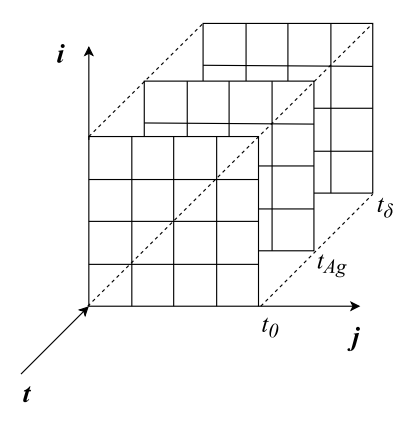


Figura 4.10 - Matriz tridimensional para coleta da dinâmica dos gestos.

que é a quantidade de sinais coletados no vetor  $V_q$ .

#### 4.4 Processamento dos dados

Após a aquisição dos dados, é necessário realizar a normalização da matriz  $M_{E_{i,j}}$ , na tentativa de diminuir os problemas referentes ao processamento e melhorar a eficiência da RNA. No processo de normalização, dado por (4.9), as variáveis devem ser pré-processadas de modo que o valor médio calculado sobre todo o conjunto de treinamento seja próximo a zero e que todo conjunto de dados seja limitado aos valores  $(O_{min}, O_{max})$ .

$$O_n = \frac{(O_{max} - O_{min}) \cdot (I - I_{min})}{(I_{max} - I_{min}) + O_{min}}$$
(4.9)

onde  $O_n$  é o dado normalizado, I é o dado a ser normalizado,  $O_{max}$  é o valor máximo de saída,  $O_{min}$  é o valor mínimo de saída,  $I_{max}$  é o valor máximo de entrada e  $I_{min}$  é o valor mínimo de entrada.

Os erros obtidos no treinamento da MLP são calculados pela diferença entre valor desejado para saída  $S_{d_{i,n}}$  e valor obtido pela saída atual  $S_{i,n}$ , dado por (3.9). Para obter os vetores de valor desejado para saída é utilizado o método de codificação c-classes.

Para cada classe a ser reconhecida é gerado o vetor binário de saída desejado  $S_{d_{i,n}}$ , que é construído utilizando o método c-classes. O vetor de saída  $S_{i,n}$  da RNA é composto dos valores obtidos nos neurônios da camada de saída  $C_S$ . Nas etapas de treinamento e validação da rede, o vetor  $S_{i,n}$  é normalizado utilizando (3.17) e comparado com  $S_{d_{i,n}}$ , produzindo o erro  $e_{i,n}$  em (3.9).

Para a construção da MLP, a matriz de configuração deve ser dividida em três partes referentes as etapas: i) treinamento, ii) validação e iii) testes. A literatura indica que o conjunto de dados para a etapa de treinamento deve apresentar maior porcentagem dos dados coletados, de forma a agregar características de cada gesto, enquanto o conjunto de dados para as etapas de validação e testes devem conter a mesma quantidade. Após a escolha do percentual de cada parcela, as amostras (vetor  $V_g$ ) que serão utilizadas para treinamento e validação são escolhidas randomicamente entre as linhas da matriz  $Q_{i,j}$ .

Para determinar a topologia da MLP, são realizados ensaios que modificam: i) as funções de ativação  $g(\cdot)$  para cada camada, ii) a taxa de aprendizagem  $\eta_{C_{EI}}$  entre as camadas de entrada  $C_E$  e intermediária  $C_I$ , iii) a taxa de aprendizagem  $\eta_{C_{IS}}$  entre as camadas intermediária  $C_I$  e de saída  $C_S$ , iv) a quantidade de neurônios m na camada intermediária e v) a quantidade de amostras t na camada de entrada para etapa de treinamento. Os ensaios são executados sequencialmente e o melhor resultado apresentado pelo experimento é utilizado, sendo que o melhor resultado está relacionado a maior média de acertos da RNA.

Os ensaios são realizados empiricamente e divididos em duas etapas. Na primeira etapa dos ensaios, utiliza-se o conjunto de teste coletados nas matrizes  $Q_{i,j}$  e são definidos os limites máximos e mínimos para os parâmetros  $\eta_{C_{EI}}$ ,  $\eta_{C_{IS}}$ , m na camada intermediária e o valor de t. Na segunda etapa, após verificar os melhores resultados obtidos, são realizados testes com o usuário vestindo o protótipo e conectando-o ao computador.

#### 4.5 Validação

A etapa de validação consiste em qualificar e quantificar os resultados e é dividida em duas partes: i) validação dos protótipos e ii) validação da rotina computacional e RNA. Na validação do protótipo é verificada a **eficácia**, que mensura o quão próximo do objetivo proposto o protótipo está e a **eficiência**, que mede a quantidade de acerto que ele produz dentro do proposto para o protótipo.

A eficácia é medida através de testes realizados sem a conexão do protótipo à rotina computacional, apenas analisando os gestos e verificando se as respostas são diferentes para cada gesto. A eficiência é medida validando a rotina computacional e a RNA. Quanto maior for a quantidade de acerto do protótipo em determinado gesto, maior será a sua eficiência.

Ao vestir o protótipo na mão e conectá-lo ao computador, a rotina computacional deve validar se está recebendo todos os sinais enviados pelo protótipo. Para isto, identifica e abre a porta serial na qual o protótipo está conectado e, se confirmado, inicia a comunicação.

Para validar a MLP é necessário verificar e comparar resultados obtidos para diferentes topologias assumidas para treinamento e validação. Verifica-se a média da taxa de acertos utilizando diferentes parâmetros separadamente e sequencialmente. Ao final, a topologia da MLP que assumir maior média de acertos para o conjunto de teste é utilizada.

A validação do protótipo encerra-se quando: i) reconhecer separadamente caracteres específicos, estáticos e dinâmicos, ii) treinar novos gestos/palavras com mesma topologia da MLP e iii) reconhecer separadamente cada palavra nova treinada.

# 4.6 Considerações

Este capítulo descreve sobre a construção, aquisição e processamento de dados para a criação dos protótipos de reconhecimento de caracteres da língua de sinais. Apresenta os procedimentos para validação dos dispositivos construídos e com base na descrição metodológica, realiza-se a coleta de dados, produzindo o próximo capítulo com os resultados obtidos.

# CAPÍTULO 5

#### RESULTADOS

Neste capítulo são apresentados os resultados obtidos utilizando a metodologia proposta. Cada dispositivo é testado e os resultados são analisados e comparados. Para isto, o capítulo foi dividido em quatro partes: i) leiaute, componentes e construção dos dispositivos, ii) construção da base de dados, iii) tratamento dos dados para a rede neural artificial e iv) validação do dispositivo e da rede neural artificial.

#### 5.1 Leiaute, construção dos dispositivos e componentes

Os Protótipo  $P_1$ , Protótipo  $P_2$ , Protótipo  $P_3$  e Protótipo  $P_4$  foram idealizados para obtenção de respostas mais precisas na ordem de construção, ou seja, a resposta do Protótipo  $P_2$  mais precisa que a resposta do Protótipo  $P_1$ , a resposta do Protótipo  $P_3$  mais precisa que a resposta do Protótipo  $P_2$  e a resposta do Protótipo  $P_4$  mais precisa que a respostas dos protótipos anteriores. Para montagem dos protótipos foram adquiridas luvas com tamanho médio, maleáveis e com ajuste na palma da mão.

Os Protótipo  $P_1$ , Protótipo  $P_2$  e Protótipo  $P_3$  são construídos com luvas finas de tecido composto por poliéster e elastano. Utilizou-se velcro para acoplar os MEMS e fiação, proporcionando ajuste e firmeza do dispositivo na mão. Para o Protótipo  $P_4$ , foi fabricada luva em neoprene e adaptado bolsos específicos para alocação dos MEMS e fios. A Figura 5.1 e a Figura 5.2 apresentam os quatro protótipos construídos e a Figura 5.3 apresenta a adaptação dos bolsos para alocar os sensores e passagem dos fio no Protótipo  $P_4$ .

Na Figura 5.1(a) é apresentado o Protótipo  $P_1$  com a indicação dos cinco sensores de flexão representados por  $S_{f_1}$  a  $S_{f_5}$ . A mesma disposição dos sensores de flexão do Protótipo  $P_1$  é utilizada para os Protótipo  $P_2$  e Protótipo  $P_3$ . A Figura 5.1(b) apresenta o Protótipo  $P_2$  que possui cinco sensores de flexão e dois MEMS, onde os MEMS são indicados por  $A_{g_1}$  e  $A_{g_2}$ . Na Figura 5.2(a) é apresentado o Protótipo  $P_3$  que possui cinco sensores de flexão e oito MEMS indicados de  $A_{g_1}$  a  $A_{g_8}$ .

Por fim, na Figura 5.2(b) é apresentado o Protótipo  $P_4$ , que possui oito MEMS indicados por  $A_{g_1}$  a  $A_{g_8}$  e não possui sensores de flexão. A Figura 5.3 apresenta os bolsos e costuras realizadas no Protótipo  $P_4$  para alocação dos MEMS e passagem da fiação. Os bolsos possuem tamanho suficiente para os MEMS não se deslocarem, ficando fixo durante os movimentos e não prejudicando a gesticulação.



Figura 5.1 - Dispositivos construídos: (a) Protótipo  $P_1$  e (b) Protótipo  $P_2$ .

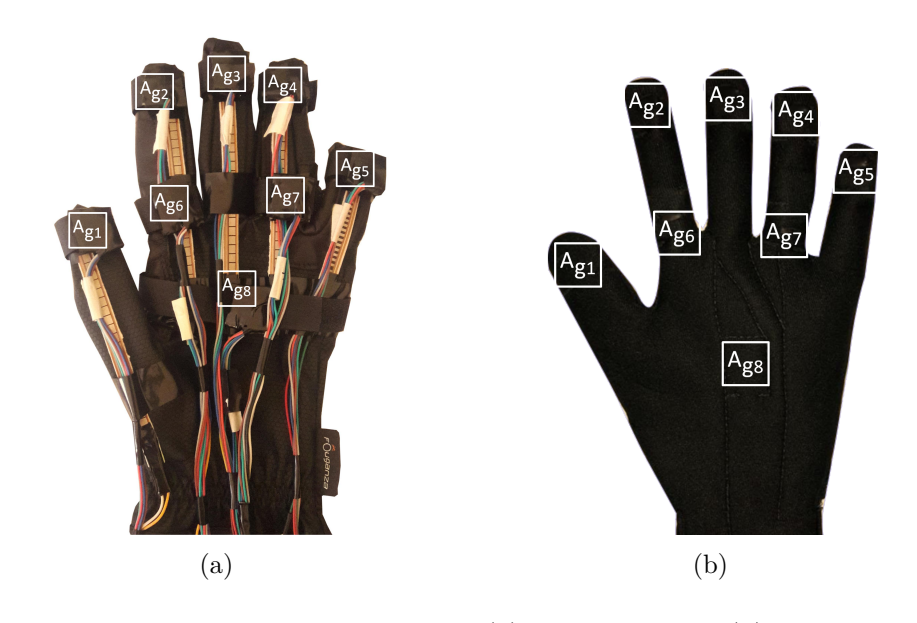


Figura 5.2 - Dispositivos construídos: (a) Protótipo  $P_3$  e (b) Protótipo  $P_4$ .

A disposição dos sensores para cada dispositivo foi estudada para obter maior precisão na captura dos sinais. Os sensores de flexão foram acoplados aos protótipos de forma que estes atinjam o comprimento total dos dedos, evitando esforços que romperiam os contatos do sensor. O tamanho do *chip* do MEMS foi escolhido de forma a não prejudicar os movimentos dos dedos, na gesticulação. Na Figura 5.3 observa-se os MEMS fora dos bolsos na parte superior da luva.

A placa de aquisição foi construída para acoplar o microcontrolador, demultiplexa-



Figura 5.3 - Bolsos de alocação dos MEMS e fios.

dor e fiação, que é interligada aos sensores de cada protótipo. Para a construção dos protótipos são utilizados: i) placa **Arduíno Nano**, que é plataforma de prototipagem eletrônica de *hardware* livre com placa única, projetada com microcontrolador Atmel Atmega 328 com suporte de entrada/saída embutido. É ferramenta acessível no mercado e de baixo custo, ii) **circuito integrado (CI) 74HC138**, que opera em total sincronia com os demais componentes do sistema, recebendo sinais eletrônicos e ordenando as ações, suas características principais são: demultiplexador, registrador de deslocamento, compacto, dezesseis terminais, acessível no mercado e baixo custo e iii) **cabos AWG 22** e conectores. A dimensão da placa foi determinada de forma que se acoplasse ao pulso. O CI 74HC138 foi conectado abaixo da placa Arduíno Nano, para melhor utilização de espaço.

Os sensores utilizados para a construção dos protótipos são: i) sensor de flexão, com 11,4cm de comprimento, e ii) módulo sensor GY-521, que possui um acelerômetro e um giroscópio de alta precisão em circuito integrado, MPU-6050. A comunicação do módulo GY-521 com o microcontrolador utiliza interface I2C, por meio dos pinos SCL e SDA do sensor. O sensor de flexão é conectado em 5V e o módulo GY-521 em 3,3V, estas tensões são disponibilizadas pela placa Arduíno Nano.

Utiliza-se resistores pull-down com valores de  $10k\Omega$  nos sensores de flexão e os MEMS são conectados nas saídas do demultiplexador. A Figura 5.4 apresenta o diagrama esquemático entre a placa Arduíno Nano, CI 74HC138, oito MEMS, referente ao Protótipo  $P_3$ .

A conexão com maior quantidade de MEMS deve ser realizada interligando o pino  $AD_0$  às respectivas saídas do demultiplexador (NEXPERIA, 2015). A configuração do GY-521 é realizada por meio da escrita em registradores e a velocidade de comunicação é de até 400Hz por meio da interface I2C (INVENSENSE, 2016).

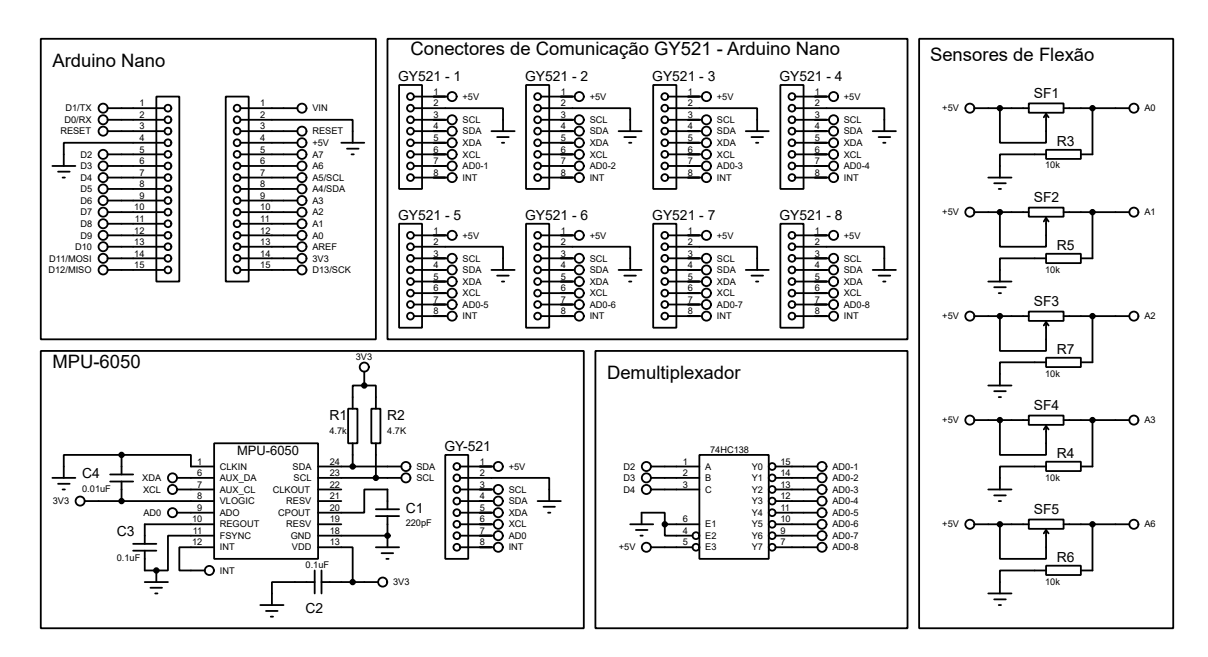


Figura 5.4 - Diagrama esquemático das conexões dos componentes na construção do Protótipo  $P_3$ .

O processamento digital de movimento (DMP), disponível no módulo GY-521, possui algoritmos de detecção dos movimentos nos eixos dos sensores que enviam sinais digitais para o microcontrolador. A partir destes sinais, são calculados os ângulos de aceleração dos eixos x, y e z do acelerômetro e o valor do giro em graus por segundo do giroscópio. Os sinais coletados pelo sensor de flexão são enviados às portas analógicas do microcontrolador, que possuem conversor A/D. Assim, os sinais de tensão são convertidos em sinais digitais e mapeados no range escolhido para cada sensor.

# 5.2 Construção da base de dados

Para a construção da base de dados, os protótipos foram conectados ao computador por porta universal ( $Universal\ Serial\ Bus$  – USB), como ilustra a Figura 5.5. Após conectado o cabo na porta USB, a comunicação é confirmada através de mensagem para inicialização da aquisição. A base de dados foi construída por dois indivíduos com conhecimento em Libras. Repetiu-se 500 vezes o mesmo gesto, coletando 500 vetores  $V_g$  para cada gesto realizado. A Figura 5.6 ilustra alguns dos parâmetros estáticos que foram gesticulados para a construção da base de dados.

A Tabela 5.1 e a Tabela 5.2 dispõem os dados coletados dos sensores (vetores  $V_g$ ) para os gestos estáticos apresentados na Figura 5.6 pelos Protótipo  $P_1$  e Protótipo  $P_3$ . São apresentados apenas os dados obtidos dos Protótipo  $P_1$  e Protótipo  $P_3$  por serem os que contém a menor e a maior quantidade de sensores, respectivamente.



Figura 5.5 - Protótipo  $P_4$  conectado ao computador.

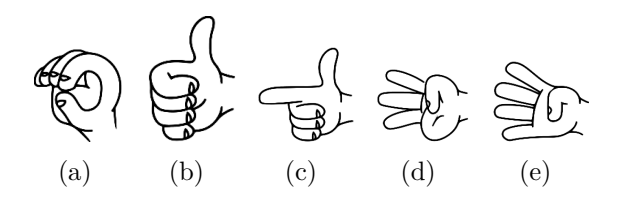


Figura 5.6 - Gestos: (a) número **zero**, (b) número **1**, (c) número **2**, (d) número **3** e (e) número **4**.

Tabela 5.1 - Sinais de saída do Protótipo  $P_1$  para os gestos estáticos **zero**, 1, 2, 3 e 4.

Sinal		Gesto				
sensor	zero	1	2	3	4	
$S_{f_1}$	448	596	609	416	473	
$\overline{S_{f_2}}$	352	350	532	539	531	
$\overline{S_{f_3}}$	232	196	226	401	387	
$S_{f_4}$	280	270	290	453	440	
$\overline{S_{f_5}}$	59	51	67	80	123	

Observa-se na Figura 5.6 e na Tabela 5.1 que os dados obtidos para cada gesto são distintos, validando a eficácia do Protótipo  $P_1$ . Verifica-se que o sinal do sensor de flexão  $S_{f_5}$  apresenta valores diferentes para o gesto 4 quando comparado aos outros gestos. Isto se justifica por ser o único gesto da Figura 5.6 em que o dedo mínimo está estendido. A Tabela 5.2 corrobora a eficácia do Protótipo  $P_3$  para diferentes gestos e neste caso, a avaliação é precisa pois, há sinais que variam com os eixos x, y e z para os acelerômetros e giroscópios.

Na Tabela 5.2, verifica-se que os dados obtidos para cada gesto são distintos, ao observar os sinais do sensor  $A_{x_1}$ , acoplado a extremidade do dedo polegar, é verificado que para os gestos  $\mathbf{1}$  e  $\mathbf{2}$  os valores são semelhantes. Isto ocorre por serem os dois

Tabela 5.2 - Sinais de saída do Protótipo  $P_3$  para os gestos **zero**, 1, 2, 3 e 4.

Sinal			Gesto		
sensor	zero	1	2	3	4
$S_{f_1}$	453	593	608	419	476
$S_{f_2}$	355	347	532	538	537
$S_{f_2}$	228	197	221	399	392
$S_{f_A}$	283	266	291	453	446
$S_{f_5}$	61	53	65	83	125
$A_{x_1}$	43	-143	-151	0	41
$A_{y_1}$	5	7	97	-142	-119
$A_{z_1}$	88	0	30	42	21
$A_{x_2}$	127	-81	-125	-108	-102
$A_{y_2}$	-112	-155	-49	-43	-37
$A_{z_2}$	89	-19	36	71	73
$A_{x_3}$	0	-133	-163	-163	-158
$A_{y_3}$	-161	-157	-81	0	0
$A_{z_3}$	83	-58	40	54	62
$A_{x_4}$	2	-148	-162	-122	-152
$A_{y_4}$	-162	-162	-55	3	0
$A_{z_A}$	83	1	35	64	20
$A_{x_5}$	-56	-152	-153	-148	-148
$A_{y_5}$	43	-4	27	20	24
$A_{z_5}$	138	-60	-64	-63	-57
$A_{x_6}$	68	-101	-145	-108	-116
$A_{y_6}$	132	-11	41	47	57
$A_{z_6}$	79	130	54	118	95
$A_{x_7}$	-32	-140	-154	-148	-159
$A_{y_7}$	139	-22	-16	-47	-18
$A_{z7}$	91	66	42	-6	-6
$A_{x_8}$	-18	-142	-144	-135	-152
$A_{y_8}$	157	49	50	25	21
$A_{z_8}$	-35	57	49	73	43
$G_{x_1}$	-1	0	-4	0	-2
$G_{y_1}$	0	5	0	2	2
$G_{y_1}$	-4	-10	0	3	0
$G_{x_2}$	-1	-1	-1	0	-3
$G_{y_2}$	0	-3	0	1	4
$G_{z_2}$	0	-7	-1	2	-3
$G_{x_3}$	-10	0	-7	0	-5
$G_{y_3}$	0	0	0	0	5
$G_{z_3}$	0	0	-1	1	-8
$G_{x_4}$	0	-1	0	0	0
$G_{y_4}$	0	-2	0	-25	0
$G_{z_4}$	-1	0	-2	4	-5
$G_{x_5}$	5	-3	25	15	0
$G_{y_5}$	0	2	35	10	2
$G_{z_5}$	1	0	-11	-18	-9
$G_{x_6}$	-1	-2	-13	-7	-13
$G_{y_6}$	-2	-2	-24	-22	-1
$G_{z_6}$	-4	0	-12	2	-7
$G_{x_7}$	-3	-5	6	8	-3
$G_{y_7}$	5	4	3	3	4
$G_{z_7}$	2	0	-15	-7	-14
$G_{x_8}$	-7	-6	2	9	-11
$G_{y_8}$	15	3	-5	2	0
$G_{z_8}$	1	-3	-2	-8	-8

gestos realizados com o dedo polegar estendido. Este é apenas um padrão reconhecido de um sensor, no entanto, isto ocorre para cada sensor em cada diferente gesto. Ainda na Tabela 5.2 é possível observar que os sinais G relativos aos giroscópios possuem variações em seus valores no intervalo de -30 a 30 para os gestos estáti-

cos. Esta informação é relevante uma vez que a maioria dos gestos em Libras são dinâmicos. Desta forma, se a variação em todos os valores de todos os G estiverem fora do intervalo -30 e 30, o gesto é dinâmico.

A Tabela 5.3 dispõe as médias  $\overline{X}$  e o desvio padrão  $\sigma$  dos sinais obtidos nos sensores para a produção dos gestos **zero**, **3** e **4**, dispostos na Tabela 5.2. Na tentativa de averiguar os sinais obtidos dos gestos dinâmicos (com movimento como rotação), utilizou-se o Protótipo  $P_3$ . Foram analisados dois gestos distintos, **i** e **j** que possuem mesma configuração de mão, porém a letra **j** possui gesticulação dinâmica. Para a coleta de dados dos gestos dinâmicos, foi considerado o tempo  $t_0$  para o início da leitura do sinal. Se após o tempo  $t_0$  os valores de G sofrerem variações no intervalo  $-30 \le G \le 30$ , o gesto é estático e coleta-se a primeira leitura. Se houver variações e estas estiverem além do intervalo  $-30 \le G \le 30$ , o gesto é dinâmico e coleta-se a leitura intermediária.

Na Figura 5.7, são apresentados os gestos  $\mathbf{i}$  e  $\mathbf{j}$  e na Tabela 5.4 estão dispostos os valores obtidos dos dois sinais  $\mathbf{i}$  e  $\mathbf{j}$  para duas repetições (coletas do mesmo gesto). Observa-se na Tabela 5.4 que os valores de G estão no intervalo  $-14 \le G \le 15$  para o gesto  $\mathbf{i}$ . Para o gesto  $\mathbf{j}$ , o intervalo de variação é de  $-286 \le G \le 286$ . Desta forma, é possível reconhecer os gestos  $\mathbf{i}$  e  $\mathbf{j}$ , mesmo sendo o gesto  $\mathbf{j}$  dinâmico. Observa-se ainda na Tabela 5.4 que os valores dos sinais coletados dos sensores  $S_{f_1}$  até  $A_{y_5}$  são semelhantes em ambos os gestos  $\mathbf{i}$  e  $\mathbf{j}$ , por apresentarem mesma configuração de mão.

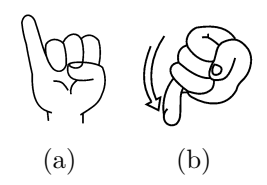


Figura 5.7 - Gestos: (a) letra  $\mathbf{i}$  e (b) letra  $\mathbf{j}$ .

#### 5.3 Tratamento dos dados para a rede Perceptron múltiplas camadas

Para auxiliar o processamento de dados e melhorar a eficiência da MLP é necessário normalizar os sinais coletados dos sensores. Desta forma, todas as matrizes de configuração  $Q_{i,j}$  foram normalizadas utilizando a normalização tangente hiperbólica no intervalo (-1, 1). A Tabela 5.5 dispõe os valores dos sinais de saída e dos dados normalizados para o gesto **zero** utilizando o Protótipo  $P_1$ . A Tabela 5.5 é

Tabela 5.3 - Média e desvio padrão dos sinais de saída do Protótipo  $P_3$  para os gestos **zero**, **3** e **4**.

Sinal	Gesto					
sensor	ze	ero		3	4	
	$\overline{X}$	σ	X	σ	$\overline{X}$	$\sigma$
$S_{f_1}$	456	4,30	422	5,97	479	17,27
$S_{f_2}$	357	8,16	541	11,70	542	11,51
$S_{f_2}$	230	1,61	402	21,62	393	25,92
$S_{f_A}$	285	6,02	456	5,42	447	11,51
$S_{f_5}$	61	6,28	83	2,35	126	5,33
$A_{x_1}$	43	8,14	0	4,06	41	11,18
$A_{y_1}$	5	10,08	-142	4,97	-119	6,20
$A_{z_1}$	89	8,25	42	15,36	21	11,91
$A_{x_2}$	127	7,94	-108	7,66	-103	10,88
$A_{y_2}$	-112	7,04	-43	3,75	-37	6,60
$A_{z_2}$	89	12,12	71	1,66	73	7,72
$A_{x_3}$	0	2,72	-164	3,96	-159	7,34
$A_{y_3}$	-162	3,26	0	9,64	0	5,50
$A_{z_3}$	84	7,49	54	15,54	62	12,15
$A_{x_4}$	2	7,30	-122	17,62	-153	9,49
$A_{y_4}$	-163	5,76	3	6,11	0	16,90
$A_{z_4}$	84	14,61	64	2,46	20	5,18
$A_{x_5}$	-56	2,38	-149	4,12	-149	5,98
$A_{y_5}$	43	12,07	20	4,50	24	16,83
$A_{z_5}$	139	7,90	-63	8,96	-58	8,28
$A_{x_6}$	68	6,25	-108	19,24	-116	13,98
$A_{y_6}$	132	12,24	47	4,56	57	7,11
$A_{z_6}$	80	5,80	119	0,45	96	3,26
$A_{x_7}$	-32	6,37	-148	1,38	-160	8,00
$A_{y_7}$	140	7,26	-47	4,96	-18	9,19
$A_{z_7}$	91	18,61	-6	10,64	-6	14,98
$A_{x_8}$	-18	16,31	-135	10,00	-152	15,16
$A_{y_8}$	158	17,26	25	4,40	21	22,51
$A_{z_8}$	-35	4,36	73	6,20	43	3,08
$G_{x_1}$	-1 0	4,10	0 2	5,70	-2 2	18,41
$G_{y_1}$	-4	16,59 9,81	3	6,29 9,94	0	8,50 16,47
$G_{y_1}$	-4	18,60	0	7,34	-3	17,43
$G_{x_2}$	0	11,54	1	6,64	-3 4	9,81
$\frac{G_{y_2}}{G_{z_2}}$	0	4,72	2	13,12	-3	7,73
$\frac{G_{z_2}}{C}$	-10	9,82	0	2,45	-5 -5	15,03
$G_{x_3}$ $G_{y_3}$	0	8,22	0	5,24	5	11,10
$\frac{G_{y_3}}{G_{z_3}}$	0	18,16	1	7,59	-8	12,13
$G_{x_4}$	0	11,06	0	6,65	0	13,30
$G_{x_4}$ $G_{y_4}$	0	15,77	-25	7,10	0	23,46
$G_{z_4}$	-1	17,19	4	4,71	-5	13,10
$G_{x_5}$	5	12,00	15	3,57	0	14,64
$G_{y_5}$	0	15,13	10	3,75	2	8,64
$G_{z_5}$	1	9,28	-18	6,74	-9	17,03
$G_{x_6}$	-1	19,13	-7	6,88	-13	11,26
$G_{y_6}$	-2	13,66	-22	6,73	-1	8,85
$G_{z_6}$	-4	15,84	2	3,68	-7	14,98
$G_{x_7}$	-3	7,77	8	2,94	-3	11,18
$G_{y_7}$	5	12,25	3	7,06	4	16,92
$G_{z_7}$	2	18,17	-7	12,01	-14	10,82
$G_{xs}$	-7	5,82	9	12,08	-11	20,75
$G_{u_8}$	15	9,88	2	3,56	0	11,19
$G_{z_8}$	1	9,87	-8	2,87	-8	8,04
0	1	· ·		· ·	1	

a representação da matriz de configuração  $Q_{i,j}$ , que neste caso representa o gesto **zero**,  $Q(\mathbf{zero})$  repetido 15 vezes. A Tabela 5.5(a) apresenta os sinais coletados e a

Tabela 5.4 - Sinais de saída do Protótipo  $P_3$  para os gestos  ${\bf i}$  e  ${\bf j}.$ 

	<b>~</b> .		(1.)	~	
	Gesto			Gesto	
Sinal	Repe	etição	Sinal	Repe	tição
sensor	1 <sup>a</sup>	$2^a$	sensor	$1^a$	$2^a$
$S_{f_1}$	-19	-21	$S_{f_1}$	-21	-20
$\frac{S_{f_1}}{S_{f_2}}$	70	65	$S_{f_2}$	68	67
$\mathfrak{S}_{f_2}$	-3	12	$S_{f_2}$	-2	6
$S_{f_4}$	-19	-20	$S_{f_4}$	-22	-32
$S_{f_5}$	70	66	$S_{f_5}$	63	31
$A_{x_1}$	-2	11	$A_{x_1}$	-12	-21
$A_{y_1}$	-18	-20	$A_{y_1}$	-4	-1
$A_{z_1}$	71	66	$A_{z_1}$	60	44
$A_{x_2}$	-2	10	$A_{x_2}$	-29	-25
$A_{y_2}$	-18	-22	$A_{y_2}$	-13	-18
$A_{z_2}$	71	64	$A_{z_2}$	42	39
$A_{x_2}$	-2	10	$A_{x_3}$	-44	-69
$A_{y_3}$	30	27	$A_{y_3}$	27	20
$A_{z_3}$	18	32	$A_{z_3}$	17	24
$A_{x_A}$	52	44	$A_{x_4}$	56	57
$A_{y_4}$	31	27	$A_{y_4}$	28	-13
$A_{z_A}$	19	31	$A_{z_4}$	-23	-69
$A_{x_5}$	51	45	$A_{x_5}$	51	14
$A_{y_5}$	31	28	$A_{y_5}$	24	22
$A_{z_5}$	18	33	$A_{z_5}$	-40	-66
$A_{x_6}$	51	43	$A_{x_6}$	39	36
$A_{y_6}$	32	24	$A_{y_6}$	14	35
$A_{z_6}$	18	34	$A_{z_6}$	-51	-54
$A_{x_7}$	50	45	$A_{x_7}$	34	0
$A_{y_7}$	-7	-3	$A_{y_7}$	190	286
$A_{z_7}$	0	-3	$A_{z_7}$	12	-5
$A_{x_8}$	-7	-3	$A_{x_8}$	190	286
$A_{y_8}$	-7	-3	$A_{y_8}$	196	286
$A_{z_8}$	2	0	$A_{z_8}$	11	48
$G_{x_1}$	-7	-3	$G_{x_1}$	196	286
$G_{y_1}$	-6	-4	$G_{y_1}$	271	286
$G_{y_1}$	0	-1	$G_{y_1}$	44	164
$G_{x_2}$	-6	-4	$G_{x_2}$	271	286
$G_{y_2}$	-7	0	$G_{y_2}$	194	222
$G_{z_2}$	0	-2	$G_{z_2}$	66	282
$G_{x_3}$	-7	0	$G_{x_3}$	194	222
$\frac{G_{x_3}}{C}$	-2	0	$\frac{G_{x_3}}{C}$	-286	-261
$G_{y_3}$	0	-9	$G_{y_3}$	-31	-13
$G_{z_3}$	-2		$G_{z_3}$		
$G_{x_4}$	-2 -2	0	$G_{x_4}$	-286 -252	-261 -176
$G_{y_4}$		0	$G_{y_4}$		
$G_{z_4}$	0		$G_{z_4}$	34	-74
$G_{x_5}$	-2	0	$G_{x_5}$	-252	-176
$G_{y_5}$	0	0	$G_{y_5}$	-180	-80
$G_{z_5}$	0	2	$G_{z_5}$	29	-159
$G_{x_6}$	0	0	$G_{x_6}$	-180	-80
$G_{y_6}$	-2	-1	$G_{y_6}$	-186	-60
$G_{z_6}$	0	3	$G_{z_6}$	-7	-260
$G_{x_7}$	-2	-1	$G_{x_7}$	-186	-60
$G_{y_7}$	5	4	$G_{y_7}$	5	4
$G_{z_7}$	2	-14	$G_{z_7}$	2	-14
$G_{x_8}$	-7	-11	$G_{x_8}$	-7	-11
$G_{us}$	15	0	$G_{us}$	15	0
$G_{z_8}$	1	-8	$G_{z_8}$	1	-8
		_		· ·	_

Tabela  $5.5(\mathrm{b})$  apresenta os dados normalizados.

Tabela 5.5 - Matriz de configuração  $Q(\mathbf{zero})$  adquirida pelo Protótipo  $P_1$ .

(a) Sinais de saída

(b) Dados normalizados

Repetição		Sina	is do Se	ensor	
Repetição	$S_{f_1}$	$S_{f_2}$	$S_{f_3}$	$S_{f_4}$	$S_{f_5}$
$1^a$	448	352	232	280	59
$2^a$	453	350	226	277	56
$3^a$	453	355	228	283	61
$4^a$	452	352	228	282	60
$5^a$	452	357	229	282	58
$6^a$	456	357	230	280	57
$7^a$	455	356	231	281	59
$8^a$	455	356	228	280	55
$9^a$	457	358	230	282	59
$10^{a}$	458	360	231	283	60
$11^{a}$	456	361	231	283	62
$12^{a}$	458	359	228	281	58
$13^{a}$	458	361	229	283	63
$14^a$	459	359	226	284	62
$15^{a}$	460	362	228	281	58

Repetição	Sinais do Sensor				
Hepenção	$S_{f_1}$	$S_{f_2}$	$S_{f_3}$	$S_{f_4}$	$S_{f_5}$
$1^a$	1,000	0,506	-0,111	0,136	-1,000
$2^a$	1,000	0,481	-0,144	0,113	-1,000
$3^a$	1,000	0,500	-0,148	0,133	-1,000
$4^a$	1,000	0,490	-0,143	0,133	-1,000
$5^a$	1,000	0,518	-0,132	0,137	-1,000
$6^a$	1,000	0,504	-0,133	0,118	-1,000
$7^a$	1,000	0,500	-0,131	0,121	-1,000
8 <sup>a</sup>	1,000	0,505	-0,135	0,125	-1,000
$9^a$	1,000	0,503	-0,141	0,121	-1,000
$10^{a}$	1,000	0,508	-0,141	0,121	-1,000
$11^a$	1,000	0,518	-0,142	0,122	-1,000
$12^a$	1,000	0,505	-0,150	0,115	-1,000
$13^a$	1,000	0,509	-0,159	0,114	-1,000
$14^a$	1,000	0,496	-0,174	0,118	-1,000
$15^a$	1,000	0,512	-0,154	0,109	-1,000

#### 5.3.1 Parâmetros iniciais da rede Perceptron múltiplas camadas

Após a normalização das matrizes  $Q_{i,j}$ , foram realizados os ensaios para escolha dos parâmetros da MLP, para isto, foi necessário apresentar os parâmetros iniciais para a RNA. Na rotina computacional, a matriz de configuração  $Q_{i,j}$  foi dividida randomicamente em 70% para treinamento, 15% para validação e 15% para testes. Utilizou-se o método de validação cruzada e o erro máximo desejado como critério de parada do processo foi de  $10^{-5}$ .

Após avaliações empíricas, foram aplicadas função de ativação tangente hiperbólica para camada intermediária e função de ativação linear para camada de saída. Estas funções fizeram a RNA convergir com maior eficiência (tempo × precisão) quando comparadas com outros arranjos de funções. Após a etapa de treinamento e validação, a topologia da MLP que resultar em melhor taxa de acertos é escolhida para treinar os pesos que serão utilizados na etapa de teste.

#### 5.3.2 Taxas de aprendizagem

Observa-se que diferentes taxas de aprendizagem aplicadas entre a camada de entrada e as camadas intermediárias  $\eta_{C_{EI}}$  e, as camadas intermediária e a camada de saída  $\eta_{C_{IS}}$  geram influências significativas no desempenho da MLP. Isto justifica-se pelo erro obtido na camada de saída ser a comparação do valor da saída atual e o valor desejado para saída e o erro obtido na camada intermediária é o erro gerado a partir do produto da somatória dos pesos para última camada. Por consequência, a taxa de aprendizagem pode variar para diferentes aplicações.

Para validar esta afirmativa, testou-se os quatro protótipos desenvolvidos com diferentes taxas de aprendizagem  $\eta_{C_{EI}}$  e  $\eta_{C_{IS}}$  com 100 neurônios na camada intermediária. As médias de acertos da taxa de aprendizagem para 100 repetições do mesmo gesto são dispostas na Tabela 5.6. Após análise dos resultados obtidos, adota-se as taxas de aprendizados  $\eta_{C_{EI}} = 10^{-5}$  e  $\eta_{C_{IS}} = 10^{-3}$ , por ser a opção que melhor se adequá aos protótipos.

Tabela 5.6 - Média de acertos da taxa de aprendizagem para 100 ensaios.

Protótipo	$\eta_{C_{EI}}$	$\eta_{C_{IS}}$	Média [%]	Eficiência [%]
	$10^{-3}$	$10^{-3}$	23,6	
	$10^{-4}$	$10^{-4}$	23,8	
$P_1$	$10^{-5}$	$10^{-5}$	28,1	$26,\!36$
	$10^{-4}$	$10^{-3}$	25,9	
	$10^{-5}$	$10^{-3}$	30,4	
	$10^{-3}$	$10^{-3}$	60,3	
	$10^{-4}$	$10^{-4}$	74,1	
$P_2$	$10^{-5}$	$10^{-5}$	79,9	74,34
	$10^{-4}$	$10^{-3}$	75,8	
	$10^{-5}$	$10^{-3}$	81,6	
	$10^{-3}$	$10^{-3}$	79,4	
	$10^{-4}$	$10^{-4}$	79,1	
$P_3$	$10^{-5}$	$10^{-5}$	90,1	85,40
	$10^{-4}$	$10^{-3}$	86,0	
	$10^{-5}$	$10^{-3}$	92,4	
	$10^{-3}$	$10^{-3}$	80,1	
	$10^{-4}$	$10^{-4}$	78,5	
$P_4$	$10^{-5}$	$10^{-5}$	94,5	$86,\!52$
	$10^{-4}$	$10^{-3}$	85,2	
	$10^{-5}$	$10^{-3}$	94,3	

Na Tabela 5.6 ainda é possível analisar a eficiência de cada protótipo utilizando média de acertos da taxa de aprendizagem. Para o cálculo desta eficiência utilizouse a média dos valores contidos na Tabela 5.6 onde: i) o Protótipo  $P_1$  obteve em média eficiência de 26,36%, ii) o Protótipo  $P_2$  obteve em média eficiência de 74,34%, iii) o Protótipo  $P_3$  obteve em média eficiência de 85,40% e v) o Protótipo  $P_4$  obteve em média eficiência de 86,52%. De posse destes dados é possível realizar a avaliação entre os quatro protótipos construídos utilizando a taxa de aprendizado, onde o protótipo apenas com sensores de flexão (Protótipo  $P_1$ ) obtém a menor eficiência e o protótipo apenas com MEMS (Protótipo  $P_4$ ) obtém a melhor eficiência.

### 5.3.3 Topologia da rede Perceptron múltiplas camadas

Para verificar a quantidade de neurônios  $m_i$  necessários para camada intermediária, a MLP foi testada variando a quantidade de neurônios entre um e 500. Observou-se que na maioria das vezes quando  $m_i \leq 80$  ocorria o efeito de underfitting e quando  $m_i \geq 100$  ocorria o efeito de overfitting. Desta forma, realiza-se novos testes com

 $82 \le m_i \le 100$ . A Tabela 5.7 dispõe a média de acertos para 100 repetições do mesmo gesto utilizando os quatro protótipos.

Tabela 5.7 - Média de acertos para variações do número de neurônios nas camadas intermediárias com 100 repetições.

$m_i$	Média de Acerto [%]				
	$P_1$	$P_2$	$P_3$	$P_4$	
82	49,6	69,2	89,8	89,1	
86	50,0	57,4	83,2	87,1	
91	20,2	89,6	95,8	96,0	
95	62,0	82,6	88,8	95,7	
100	30,4	81,6	92,4	94,3	

Observa-se que o Protótipo  $P_1$  obtém a melhor média de acerto de 62,00% com 95 neurônios nas camadas intermediárias, enquanto os Protótipo  $P_2$ , Protótipo  $P_3$  e Protótipo  $P_4$  obtêm as melhores médias de acertos de 89,60%, 95,80% e 96,00%, respectivamente, com 91 neurônios nas camadas intermediárias. Verifica-se diferença de 33,80% entre o Protótipo  $P_1$  e o Protótipo  $P_3$  e 40,00% entre o Protótipo  $P_1$  e o Protótipo  $P_4$ . Portanto, assim como a eficiência calculada utilizando média de acertos da taxa de aprendizagem na Tabela 5.6, o Protótipo  $P_4$  apresenta eficiência superior quando comparados aos demais protótipos. Com o intuito de avaliar a RNA e os protótipos com relação ao tamanho da base de dados, foram realizados novos ensaios com 500 repetições de mesmo gesto (500 vetores  $V_g$ ). A Tabela 5.8 dispõe os resultados obtidos para esta análise.

Tabela 5.8 - Média de acertos para variações do número de neurônios nas camadas intermediárias com 500 repetições.

$m_i$	M	Média de Acerto [%]				
	$P_1$	$P_2$	$P_3$	$P_4$		
82	50,4	69,3	91,2	88,5		
86	48,7	63,9	85,6	86,7		
91	34,6	91,2	96,1	94,9		
95	67,8	81,4	88,9	96,8		
100	30,2	82,2	90,7	91,8		

Na Tabela 5.8, nos ensaios contendo 500 repetições de cada gesto, houve aumento de 5 vezes no tamanho da base de dados e a melhoria nas médias dos acertos foi de  $\approx 1\%$ , não compensando o esforço computacional. De qualquer forma, neste trabalho, a quantidade de repetições não foi padronizada em todos os estudos. Apenas neste estudo de caso e na validação foram utilizadas exatamente 500 repetições para análise do tamanho da base de dados e dos sinais dos protótipos.

Para o melhor desempenho do Protótipo  $P_1$  a RNA deve ser treinada exaustivamente, além dele apresentar desvantagens quando os gestos são dinâmicos. O Protótipo  $P_4$  foi melhor avaliado tanto pelo desempenho da RNA quanto pelo custo, pois possui menor quantidade de sensores. Pode-se abstrair que o desempenho da RNA está ligada ao modelo do protótipo utilizado. Se o protótipo consegue disponibilizar mais sinais e se estes sinais são representações precisas dos gestos, a RNA identificará os gestos com menor esforço computacional.

A topologia para teste da rede MLP contém 95 neurônios na camada intermediária, taxas de aprendizado  $\eta_{C_{EI}}=10^{-5}$  e  $\eta_{C_{IS}}=10^{-3}$ . A base de dados contém 500 repetições de mesmo gesto (500 linhas na matriz de configuração) e foi utilizado somente o Protótipo  $P_4$ .

### 5.4 Validação dos resultados

Com o intuito de validar o Protótipo  $P_4$  que obteve o melhor resultado e a topologia da MLP, selecionou-se seis gestos entre os 36 gestos treinados. Na escolha dos gestos foram levados em consideração as semelhanças entre as configurações de mão e as diferenças de orientação e de movimento. Os gestos selecionados foram:  $\mathbf{a}$ ,  $\mathbf{e}$ ,  $\mathbf{i}$ ,  $\mathbf{j}$ ,  $\mathbf{x}$  e  $\mathbf{5}$ . A Figura 5.8 apresenta os gestos e a Tabela 5.9 dispõe as médias de acertos dos gestos utilizando a MLP com a topologia proposta.

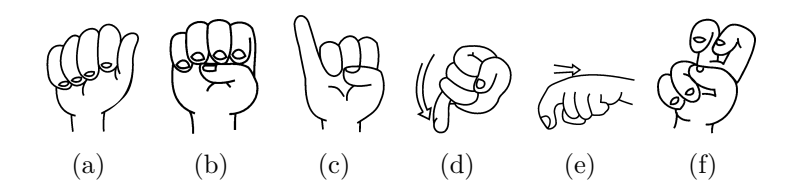


Figura 5.8 - Gestos: (a) letra **a**, (b) letra **e**, (c) letra **i**, (d) letra **j**, (e) letra **x** e (f) número **5**.

Tabela 5.9 - Média de acertos do Protótipo  $P_4$  para os gestos  $\mathbf{a}$ ,  $\mathbf{e}$ ,  $\mathbf{i}$ ,  $\mathbf{j}$ ,  $\mathbf{x}$  e 5.

Gesto	Média de Acerto [%]
a	100
e	100
i	100
j	96,5
x	97,1
5	98,4

A partir da análise da Tabela 5.9 observou-se que os gestos estáticos apresentam

média de acerto acima de 98%, enquanto os gestos dinâmicos apresentam média de acerto de aproximadamente 96%. A Figura 5.9 apresenta a disposição dos valores obtidos nos oito sensores conectados ao Protótipo  $P_4$  para os gestos da Tabela 5.9. Na Figura 5.9 o eixo das abcissas representa a sequência de sensores de  $A_{x_1}, A_{y_1}, A_{z_1}, \cdots, A_{x_8}, A_{y_8}, A_{z_8}$  e de  $G_{x_1}, G_{y_1}, G_{z_1}, \cdots, G_{x_8}, G_{y_8}, G_{z_8}$ , formando 48 pontos e o eixo das ordenadas representa os valores obtidos em cada sensor. Portanto, os sinais de um a 24 são relativos aos sensores acelerômetros e os sinais de 25 a 48 são relativos aos sensores giroscópios.

Na Figura 5.9(a) os gestos **a** e **e** são gestos estáticos e seus sinais são semelhantes, na Figura 5.9(b) e Figura 5.9(c), os gestos **j** e **x** são gestos dinâmicos e os sinais medidos são diferentes dos sinais medidos dos gestos **i** e **5**, a partir do sensor oito, ponto 24 no eixo das abcissas. A Figura 5.10 apresenta o mapeamento dos sinais medidos do gesto **a** repetido 30 vezes.

Para verificar a eficiência do Protótipo  $P_4$  e da MLP com relação as palavras, foram escolhidas cinco palavras da língua brasileira: **telefone**, **gato**, **leão**, **pipa** e **amarelo**. Estas palavras são apresentadas na forma de gestos na Figura 5.11.

Os valores das médias dos acertos obtidos para as palavras são dispostos na Tabela 5.10. Na Figura 5.11 observa-se que a palavra **telefone** é estática e por este motivo apresenta 100% de acerto. Nas demais palavras exitem movimentos, ocasionando média de acerto entre 96,30% e 98,8%.

Tabela 5.10 - Média de acertos do Protótipo  $P_4$  para as palavras.

Gesto	Média de Acerto [%]
telefone	100
gato	97,5
leão	98,8
pipa	98,7
amarelo	96,3

A topologia da MLP em conjunto com o Protótipo  $P_4$  é capaz de oferecer eficiência acima de 96% para novos gestos treinados. A partir dos sinais coletados do Protótipo  $P_4$ , a rede MLP foi capaz de reconhecer gestos estáticos e dinâmicos, referentes aos caracteres e palavras da Libras.

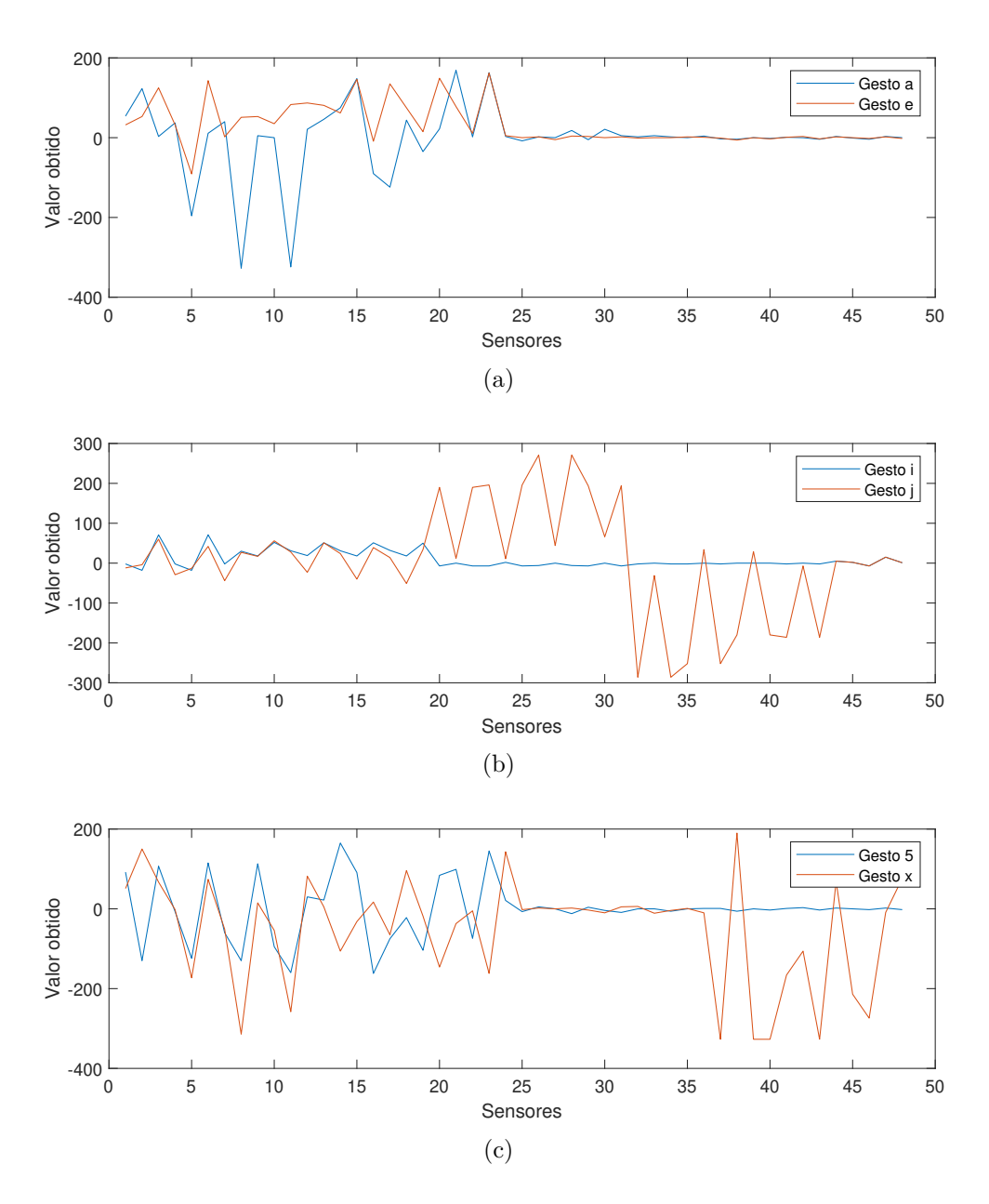


Figura 5.9 - Relação dos valores obtidos nos sensores para gestos semelhantes: (a) gestos  $\mathbf{a}$  e  $\mathbf{e}$ , (b) gestos  $\mathbf{i}$  e  $\mathbf{j}$  e (c) gestos  $\mathbf{5}$  e  $\mathbf{x}$ .

#### 5.5 Gestos dinâmico com mais de uma coleta no tempo

Para capturar a dinâmica dos gestos, levando em conta os movimentos, pode-se coletar os dados no tempo, como exemplificado na Figura 4.10. Os sinais produzidos pelos sensores podem ser coletados em três tempos distintos: i)  $t_0$  que é o tempo para gerar o primeiro conjunto de sinais, ii)  $t_{A_g}$  que é o tempo de aquisição dos MEMS, neste caso  $t_{A_g} = 2, 5 \cdot 10^{-3} s$  e iii)  $t_{\delta}$  que é o tempo de coleta quando os sinais coletados dos giroscópios estabilizaram-se.

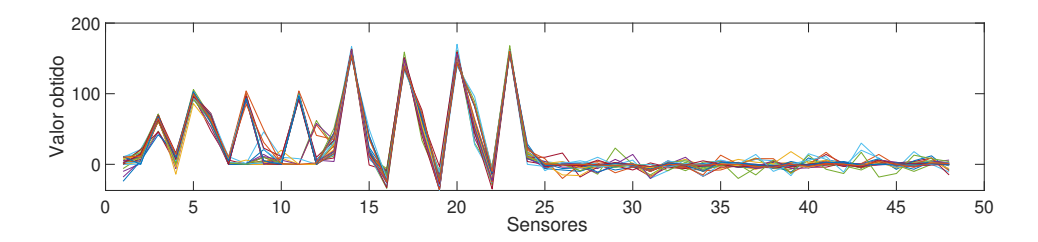


Figura 5.10 - Sinais obtidos pela repetição do gesto a por 30 vezes.

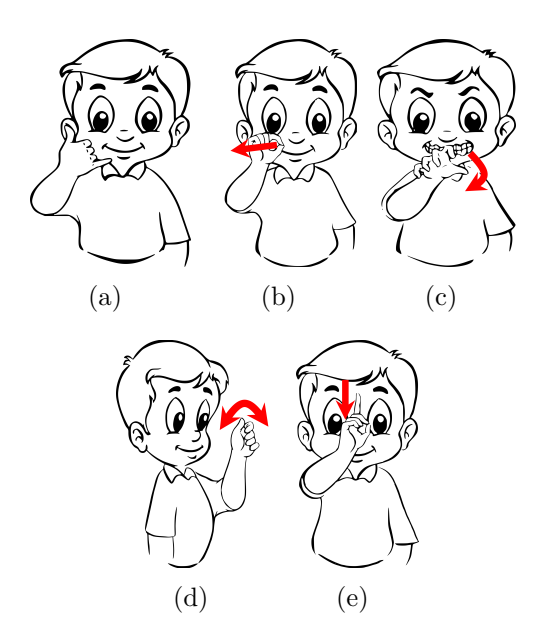


Figura 5.11 - Gestos: (a) telefone, (b) gato, (c) leão, (d) pipa e (e) amarelo.

A Tabela 5.11 apresenta os dados coletados pelo Protótipo  $P_4$  quando é produzido o gesto que identifica a palavra **leão**. Observa-se que as variações nos valores dos sinais do giroscópio são maiores em  $t_0$  e  $t_{A_g}$ , sendo relevantes para verificar a configuração e orientação inicial da mão. A coleta em  $t_\delta$  independe do tempo gasto na produção do gesto e é necessária para verificar a última configuração e orientação da mão.

A Tabela 5.12 dispõe as médias  $\overline{X}$  e o desvio padrão  $\sigma$  dos sinais obtidos nos sensores para a produção do gesto leão dispostos na Tabela 5.11. A metodologia desenvolvida não limita tempo máximo para produção do gesto. A metodologia desenvolvida não limita tempo máximo para produção do gesto. Isto facilita a utilização do protótipo pelo usuário, pois cada usuário terá seu tempo de produção para o mesmo gesto. O exemplo apresentado foi para coleta de sinais em três tempos distintos, no entanto, esta metodologia pode ser aplicada para qualquer intervalo de tempo, bastando definir a quantidade de intervalos e os tempos entre uma coleta e outra. A Figura 5.12

Tabela 5.11 - Sinais coletados no tempo com o Protótipo  $P_4$ .

(a) A	Aceler	$\hat{ ext{ometr}}$	os.	(b)	Giros	cópios	<b>.</b>
Sinal	Tem	po de c	oleta	Sinal	Temp	oo de co	leta
sensor	$t_0$	$t_{A_g}$	$t_{\delta}$	sensor	$t_0$	$t_{A_g}$	$t_{\delta}$
$A_{x_1}$	-14	22	-3	$G_{x_1}$	286	-147	-16
$A_{y_1}$	71	-53	-18	$G_{y_1}$	-35	77	15
$A_{z_1}$	-11	-26	-71	$G_{y_1}$	286	-147	-16
$A_{x_2}$	-9	-21	14	$G_{x_2}$	286	-41	-11
$A_{y_2}$	25	-8	5	$G_{y_2}$	136	58	23
$A_{z_2}$	62	-67	-75	$G_{z_2}$	286	-41	-11
$A_{x_3}$	22	-3	16	$G_{x_3}$	286	-20	-7
$A_{y_3}$	-53	-18	4	$G_{y_3}$	121	28	16
$A_{z_3}$	-26	-71	-72	$G_{z_3}$	286	-20	-7
$A_{x_4}$	10	6	16	$G_{x_4}$	246	-24	-4
$A_{y_4}$	-66	-19	2	$G_{y_4}$	30	-13	4
$A_{z_4}$	-20	-69	-73	$G_{z_4}$	246	-24	-4
$A_{x_5}$	2	32	14	$G_{x_5}$	-286	-88	-13
$A_{y_5}$	70	-37	-37	$G_{y_5}$	-72	53	3
$A_{z_5}$	19	35	49	$G_{z_5}$	-286	-88	-13
$A_{x_6}$	18	20	21	$G_{x_6}$	-157	-55	-14
$A_{y_6}$	-56	-38	-28	$G_{y_6}$	-66	35	0
Α	27	44	53	G	-157	-55	-14

apresenta fluxograma para coleta de gestos dinâmicos.

32

-37

35

28

-31

45

44

14

-37

49

15

-28

57

53

20

-30

51

20

-30

52

-157

4

23

4

31

25

31

 $\overline{G}_{\underline{z_6}}$ 

 $\overline{G_{x_7}}$ 

 $\overline{G}_{\underline{y_7}}$ 

 $G_{y_8}$ 

-55

-4

33

-4

-58

48

-58

-15

3

-8

2

 $\overline{A}_{\underline{z_6}}$ 

 $\overline{A}_{\underline{x_7}}$ 

 $\overline{A}_{\underline{y_7}}$ 

 $\overline{A}_{\underline{z_7}}$ 

 $\overline{A}_{x_{\underline{8}}}$ 

 $A_{y_8}$ 

 $\overline{A_{z}}_{8}$ 

#### 5.6 Comentários

No desenvolvimento do trabalho, foram observados problemas com relação a posição do sensor de flexão. Este sensor é frágil e seus condutores partem com facilidade. Desta forma, estes sensores foram alocados o mais distante possível das articulações da mão. No entanto, ficando longe das articulações, ele não captura os movimentos dos dedos corretamente. Para a conexão dos sensores de flexão com a luva, utilizou-se fita dupla face, na tentativa de evitar a movimentação do sensor.

Os módulos GY-521 possuem tamanho maior que o desejado para luva de tamanho médio e velocidade de aquisição de até 400Hz. A taxa de amostragem limitouse a velocidade de aquisição dividida pela quantidade de módulos GY-521 que foi utilizada no protótipo. Sugere-se confeccionar novos encapsulamentos com mesma funcionalidade, com tamanho menor e com maior velocidade de aquisição. Para que usuários com diferentes tamanhos de mão possam usar os protótipos, faz-se necessário a utilização de material mais flexível na construção das luvas ou a produção de protótipo que não utilize a luva, somente os sensores.

Tabela 5.12 - Média e desvio padrão dos sinais obtidos no Protótipo  $P_4$  para o gesto leão.

#### (a) Acelerômetros.

(b) Giroscópios.

	(a) Hecterometros.						Sinal Tompo de coleta						
Sinal	Tempo de coleta				Sinal	Tempo de coleta							
sensor	$t_0$		$t_{A_g}$		$t_{\delta}$		sensor	$t_0$		$t_{A_g}$		$t_{\delta}$	
5011501	$\overline{X}$	$\sigma$	$\overline{X}$	σ	$\overline{X}$	$\sigma$	SCHSOL	$\overline{X}$	σ	$\overline{X}$	σ	$\overline{X}$	$\sigma$
$A_{x_1}$	-15	1,50	30	10,79	8	14,40	$G_{x_1}$	288	2,41	-140	8,59	-5	14,24
$A_{y_1}$	64	9,58	-62	11,19	-5	16,84	$G_{y_1}$	-43	10,96	70	9,50	28	17,26
$A_{z_1}$	-11	0,14	-27	1,65	-53	24,02	$G_{y_1}$	289	3,72	-149	3,22	3	24,74
$A_{x_2}$	4	16,95	-22	1,59	14	0,18	$G_{x_2}$	302	20,79	-42	1,85	-11	0,14
$A_{y_2}$	11	18,06	-26	23,74	-12	22,26	$G_{y_2}$	123	16,61	40	22,88	6	22,02
$A_{z_2}$	75	16,56	-78	14,00	-81	7,54	$G_{z_2}$	301	19,47	-52	13,66	-16	6,71
$A_{x_3}$	2	25,97	-5	2,67	20	5,46	$G_{x_3}$	269	22,54	-22	2,89	-3	5,16
$A_{y_3}$	-38	19,01	-18	0,23	10	7,93	$G_{y_3}$	137	21,27	28	0,36	22	8,09
$A_{z_3}$	-8	23,30	-82	14,05	-67	6,94	$G_{z_3}$	307	27,35	-30	13,39	-1	7,79
$A_{x_4}$	25	19,83	24	23,71	29	17,28	$G_{x_4}$	264	22,89	-6	23,32	9	17,02
$A_{y_4}$	-69	3,48	-5	18,14	6	5,28	$G_{y_4}$	28	2,24	1	18,21	8	5,30
$A_{z_4}$	0	26,00	-58	14,86	-80	8,83	$G_{z_4}$	269	29,46	-12	15,44	-10	7,93
$A_{x_5}$	15	17,10	45	17,49	-4	23,45	$G_{x_5}$	-276	13,35	-76	15,93	-31	23,80
$A_{y_5}$	57	17,47	-39	3,11	-36	0,83	$G_{y_5}$	-87	19,32	52	1,94	4	1,35
$A_{z_5}$	19	0,25	28	8,74	60	13,77	$G_{z_5}$	-289	3,72	-96	10,34	-3	12,96
$A_{x_6}$	26	10,74	9	14,18	14	8,92	$G_{x_6}$	-150	8,46	-67	15,16	-21	9,37
$A_{y_6}$	-76	25,68	-19	24,45	-36	10,87	$G_{y_6}$	-86	25,81	55	25,40	-8	10,50
$A_{z_6}$	36	12,17	53	11,08	53	0,62	$G_{z_6}$	-149	9,78	-47	9,79	-15	1,50
$A_{x_7}$	14	23,22	31	22,50	8	15,50	$G_{x_7}$	-14	23,58	13	22,27	-27	15,95
$A_{y_7}$	-51	17,55	-30	8,71	-38	10,89	$G_{y_7}$	10	16,77	40	9,62	-5	10,47
$A_{z_7}$	52	21,46	45	4,62	40	13,78	$G_{z_7}$	20	21,06	-8	5,30	-26	14,64
$A_{x_8}$	40	16,12	-4	24,75	3	22,06	$G_{x_8}$	43	16,16	-78	25,70	-25	22,43
$A_{y_8}$	-45	18,79	-25	3,58	-31	1,70	$G_{y_8}$	11	18,06	52	4,56	1	1,29
$A_{z_8}$	48	4,52	38	24,21	46	7,20	$G_{z_8}$	34	4,34	-78	25,70	-14	7,98

Os sensores acelerômetro e giroscópio são sensíveis a pequenas variações na posição, produzindo ruídos. Neste trabalho, os ruídos foram tratados apenas nos filtros digitais que existem no microcontrolador (INVENSENSE, 2016). Para melhorar desempenho do conjunto protótipo/RNA, quando coletando vários sinais no tempo, pode-se projetar reconhecimento de padrões em cascata. Os protótipos propostos utilizam cabeamento para enviar os dados para o computador. É possível implementar a comunicação sem fio para melhorar o movimento das mãos na produção dos gestos.

O Protótipo  $P_1$  é dispositivo comercial e são utilizados sensores de flexão, com tecnologia de flexores de fibra óptica. Cada protótipo desenvolvido neste trabalho foi avaliado pela quantidade de sensores. Como cada sensor pode produzir tipos de sinais diferentes, tem-se: i) o Protótipo  $P_1$  com cinco sensores e cinco sinais, ii) o Protótipo  $P_2$  com sete sensores e dezessete sinais, iii) o Protótipo  $P_3$  com treze sensores e 53 sinais e iv) o Protótipo  $P_4$  com oito sensores e 48 sinais. Os sensores de flexão custam em média \$33,00 e os MEMS custam em média \$6,00. Sem levar em consideração a luva e considerando apenas os sensores, o Protótipo  $P_1$  fica aproximadamente 300% mais oneroso que o Protótipo  $P_4$ , que obteve a melhor

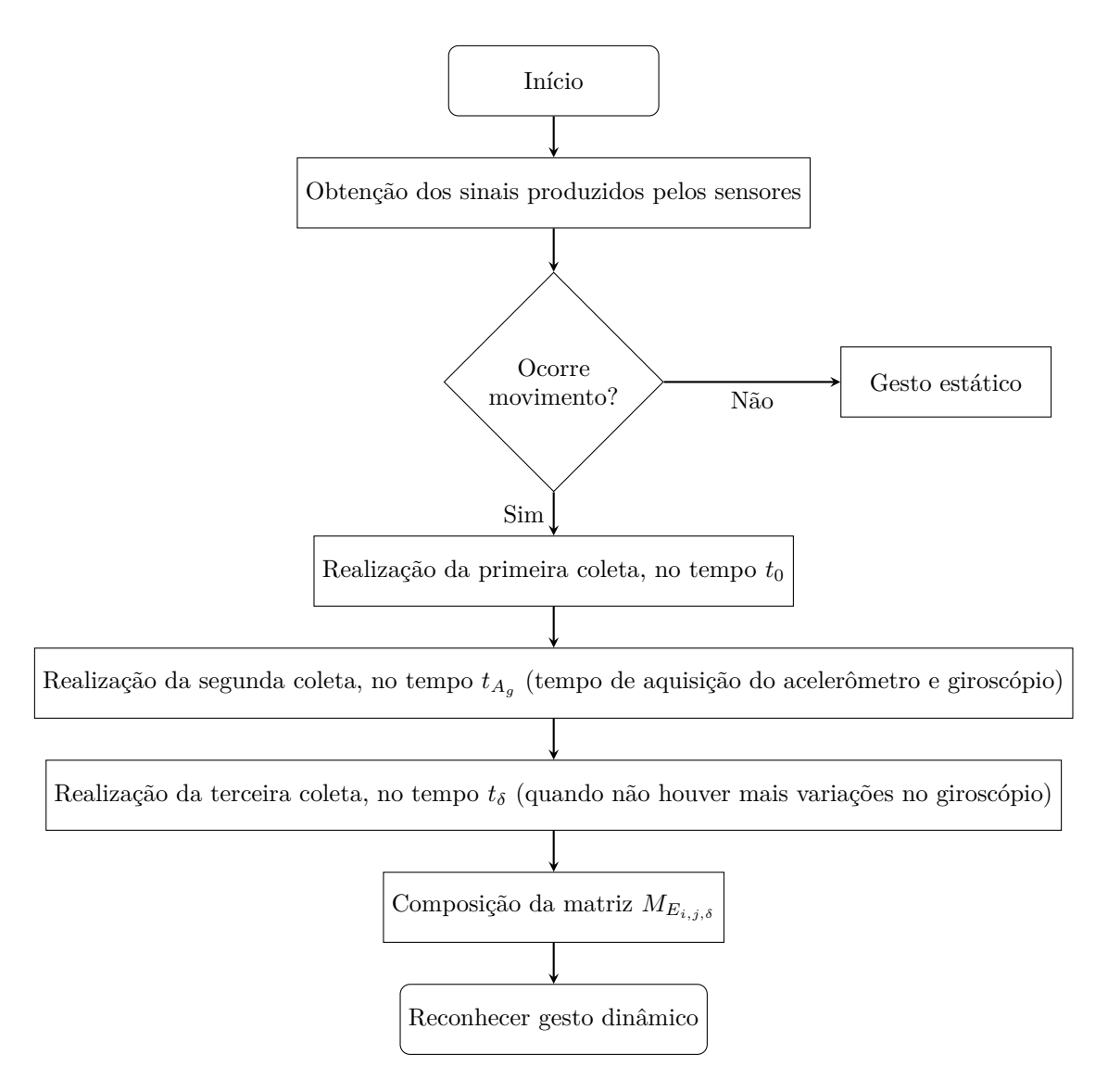


Figura 5.12 - Fluxograma para coleta de gestos dinâmicos.

eficiência.

# CAPÍTULO 6

# CONCLUSÃO

Durante a execução deste trabalho, buscou-se projetar, desenvolver e analisar o desempenho de protótipos com abordagem sensorial e tecnologia baseada em redes neurais artificiais, do tipo Perceptron múltiplas camadas. Nesta busca, foram projetados dispositivos para reconhecer configuração, orientação e movimento das mãos, utilizadas na língua brasileira de sinais, e traduzir para a linguagem escrita. O trabalho surgiu da problemática do grupo de pesquisa do Instituto Politécnico do Porto (IPPorto/Portugal) que, ao desenvolver sistema bidirecional para língua de sinais, utilizou luvas comerciais para reconhecer gestos estáticos. O dispositivo utilizado pelo grupo de pesquisa possui alto custo e sofrem rupturas devida a utilização contínua. O trabalho se destaca por desenvolver dispositivo para reconhecer gestos estáticos e dinâmicos, com arranjo de sensores de baixo custo e precisão.

Para obter precisão na captura dos sinais, a disposição dos sensores deve verificar o comprimento total dos dedos e da mão, evitando o rompimento dos contatos dos sensores e do microcontrolador. Além disto, o tamanho dos sensores deve ser compatível ao tamanho da mão do usuário. Deve-se projetar e desenvolver dispositivos com materiais leves e flexíveis para construção das luvas ou que não utilize luvas, somente acoplando os sensores a mão.

Para o desenvolvimento do trabalho, construiu-se a base de dados dos gestos propostos para reconhecimento, análise, qualificação e quantificação dos resultados dos quatro protótipos propostos, a etapa de validação foi dividida em duas partes: i) validação de protótipos e ii) validação da rotina computacional e RNA. A validação do protótipo é obtida por sua eficácia e eficiência, enquanto a validação da rotina computacional e RNA analisa os resultados obtidos para as diferentes topologias assumidas. Por fim, o Protótipo  $P_4$  obteve os melhores resultados de avaliação, reconhecendo gestos estáticos, dinâmicos e novos gestos utilizando a mesma topologia da MLP treinada.

Ao validar os protótipos, os sinais coletados e o posicionamento dos sensores nos protótipos apresentaram eficácia e eficiência de 86,52% utilizando 100 neurônios na camada intermediária. Ao validar a topologia da MLP, os protótipos apresentaram as melhores taxas de acerto: i) Protótipo  $P_1$  com 67,8%, ii) Protótipo  $P_2$  com 91,2%, iii) Protótipo  $P_3$  com 96,1% e iv) Protótipo  $P_4$  com 96,8%.

Portanto, conclui-se que a utilização de sensores do tipo acelerômetro e giroscópio é promissor e viável para o presente projeto contendo vantagem pela ausência de interferências externas. O protótipo desenvolvido e validado apresenta resultados relevantes nas tecnologias para comunicação em língua brasileira de sinais. Além disto, destaca-se por se destinar a inclusão social, auxiliar e aprimorar o ensino da língua de sinais.

## 6.1 Contribuições do Trabalho

As contribuições podem ser assim descritas:

- Desenvolvimento de protótipo capaz de reconhecer gesticulações estáticas e dinâmicas e reconhecer língua de sinais.
- Redução de custos para dispositivos que reconhecem gestos.
- Auxiliar na inclusão social e comunicação assertiva entre surdos e ouvintes, entre língua oral e língua de sinais.
- Desenvolvimento do leiaute da Luva do Protótipo  $P_4$  em conjunto com a Empresa NC Neoprene.

Artigos publicados em anais de eventos nacionais e internacionais:

- SILVA, B. C. R., FURRIEL, G. P., CALIXTO, W. P., BULHOES, J. S. Methodology and comparison of devices for recognition of sign language characters. In Electric Power Engineering (EPE), 18th International Scientific Conference on (pp. 1-6). IEEE. Czech Republic. 2017.
- SILVA, B. C. R., FURRIEL, G. P., CALIXTO, W. P., BULHOES, J. S. Devices analysis and artificial neural network parameters for sign language recognition. Conference on Electrical, Electronics Engineering, Information and Communication Technologies (CHILECON). Pucon Chile. 2017.
- LINO, A. L. S.; ROCHA, D. P. C.; SILVA, B. C. R.; CALIXTO, W. P.; FURRIEL, G. P. Performance of haar and LBP features in cascade classifiers to whiteflies detection and counting. In: Conference on Electrical, Electronics Engineering, Information and Communication Technologies (CHILECON). Pucon Chile. 2017.

- BULHOES, JUNIO SANTOS; ASSIS, A. O.; MARTINS, C. L.; FURRIEL, G. P.; SILVA, B. C. R.; RODRIGUES, L.; REIS, M. R. C.; CALHEIROS, D. F.; OLIVEIRA, M. D.; CALIXTO, W. P. Gap filling in time series: A new methodology applying spectral analysis and system identification. In: Conference on Electrical, Electronics Engineering, Information and Communication Technologies (CHILECON). Pucon Chile. 2017.
- SILVA, L. F. A.; SILVA, M. C.; ALVES, A. J.; REIS, M. R. C.; BU-LHOES, J. S.; SILVA, B. C. R.; COSTA, R. E.; ALEIXO, E. L.; GOMES, V. M.; CALIXTO, W. P. . Socioeconomic, scientific and technological indicators as parameters for prediction model. In: Conference on Electrical, Electronics Engineering, Information and Communication Technologies (CHILECON). Pucon Chile. 2017.
- SILVA, B. C. R., FURRIEL, G. P., CALIXTO, W. P., REIS, M. R. C. Desenvolvimento de luva para reconhecimento de caracteres em linguagem de sinais 14<sup>a</sup> Congresso de Pesquisa, Ensino e Extensão (Conpeex) Universidade Federal de Goiás. 2016.

Artigo aceito para publicação em Periódico Internacional:

• SILVA, B. C. R., FURRIEL, G. P., CALIXTO, W. P., BULHOES, J. S. Methodology and comparison of devices for recognition of sign language characters. In Advances in Science, Technology and Engineering Systems Journal (ASTESJ).

#### Patentes e Registros:

• SILVA, B. C. R.; FURRIEL, G. P.; REIS, M. R. C.; CALIXTO, W. P.. Dispositivo Eletrônico Tradutor de Gestos para a Língua de Sinais 2018, Brasil. Patente: Privilégio de Inovação.

#### 6.2 Sugestões para Trabalhos Futuros

- Comparar e unir respostas referentes a abordagens sensoriais do trabalho proposto com abordagens visuais.
- Desenvolver tradutor bidirecional da língua de sinais.

- Reconhecimento de frases completas na língua de sinais.
- Avaliar outros algoritmos para reconhecimento de padrões.
- Criar matriz de confusão referente ao sistema de reconhecimento.
- Generalização para outras línguas de sinais.
- Tradução da língua de sinais para a forma escrita da própria língua de sinais.

# REFERÊNCIAS BIBLIOGRÁFICAS

ABDEL-HAMID, O.; MOHAMED, A.-r.; JIANG, H.; DENG, L.; PENN, G.; YU, D. Convolutional neural networks for speech recognition. **IEEE/ACM Transactions on audio, speech, and language processing**, IEEE, v. 22, n. 10, p. 1533–1545, 2014. 53

AHMED, A. M.; ALEZ, R. A.; TAHA, M.; THARWAT, G. Automatic translation of arabic sign to arabic text (atasat) system. **Computer Science & Information Technology**, p. 109, 2016. 32

ALMEIDA, S. G. M. Extração de características em reconhecimento de parâmetros fonológicos da língua brasileira de sinais utilizando sensores rgb-d. UFMG, 2014. 29

ANDRADE, L. N. Redes neurais artificiais aplicadas na identificação automação de áreas cafeeiras em imagens de satélite. UFMG, 2011. 44, 45, 48

ARCE, A. I. C.; SILVA, A. C. de S.; SCHALCH, F. J.; TITTO, E. A. L.; COSTA, E. J. X. Desenvolvimento de um sistema microcontrolado de monitoração da temperatura e avaliação do implante do elemento sensor digital em bovinos. Ciência Animal Brasileira, v. 8, n. 3, p. 417–424, 2007. 42

BALBINOT, A.; BRUSAMARELLO, V. J. Instrumentação E Fundamentos de Medidas. Volume 2 . [S.l.: s.n.], 2000. 37

BARCLAY, D.; SILVER, G.; VERSTEEGH, J.; LANOIL, B. Sensor glove. [S.l.]: Google Patents, 2011. US Patent 7,862,522. 37

BARSHAN, B.; DURRANT-WHYTE, H. F. Inertial navigation systems for mobile robots. **IEEE Transactions on Robotics and Automation**, IEEE, v. 11, n. 3, p. 328–342, 1995. 40

BEBIS, G.; GEORGIOPOULOS, M. Feed-forward neural networks. **IEEE Potentials**, IEEE, v. 13, n. 4, p. 27–31, 1994. 48, 50

BEEBY, S. MEMS mechanical sensors. [S.l.]: Artech House, 2004. 38

BORGHETTI, M.; SARDINI, E.; SERPELLONI, M. Sensorized glove for measuring hand finger flexion for rehabilitation purposes. **IEEE Transactions on Instrumentation and Measurement**, IEEE, v. 62, n. 12, p. 3308–3314, 2013. 23

- BRASIL, C. Decreto 5.626, de 22 de dezembro de 2005. **Diário Oficial da República Federativa do Brasil, Poder Executivo, Brasília, DF**, v. 23, 2005. 25
- BUI, T.; NGUYEN, L. T. Recognizing postures in vietnamese sign language with mems accelerometers. **IEEE sensors journal**, IEEE, v. 7, n. 5/6, p. 707, 2007. 22, 32
- CHEVALLIER, P. Aquisição e processamento de dados. **TUCCI**, **CEM** Hidrologia: ciência e aplicação. Porto Alegre: Ed. Universidade/UFRGS, p. 483–525, 2001. 36, 37
- COELHO, O.; CABRAL, E.; GOMES, M. do C. Formação de surdos: ao encontro da legitimidade perdida. 2004. 26
- COSTA, A. d. O. M. C. Reconhecimento de língua gestual. Tese (Doutorado) Instituto Superior de Engenharia de Lisboa, 2014. 26
- CUNHA, F. L.; FRANCA, J. E.; ORTOLAN, R. L.; CLIQUET, A. J. O uso de redes neurais artificiais para o reconhecimento de padrões em uma prótese mioelétrica de mão. In: **VIII Congresso Brasileiro de Redes Neurais**. [S.l.: s.n.], 2007. 35, 36, 48
- CYBENKO, G.; ALLEN, T.; POLITO, J. Practical parallel union-find algorithms for transitive closure and clustering. **International journal of parallel programming**, Springer, v. 17, n. 5, p. 403–423, 1988. 48
- DAS, P.; DE, R.; PAUL, S.; CHOWDHURY, M.; NEOGI, B. Analytical study and overview on glove based indian sign language interpretation technique. IET, 2015. 23, 32
- DEMUTH, H. B.; BEALE, M. H.; JESS, O. D.; HAGAN, M. T. Neural network design. [S.l.]: Martin Hagan, 2014. 51, 53
- DESHMUKH, A. V. Microcontrollers: theory and applications. [S.l.]: Tata McGraw-Hill Education, 2005. 41
- FANG, G.; GAO, W.; ZHAO, D. Large vocabulary sign language recognition based on hierarchical decision trees. In: ACM. **Proceedings of the 5th international conference on Multimodal interfaces**. [S.l.], 2003. p. 125–131. 22
- FARRELL, J. Aided navigation: GPS with high rate sensors. [S.l.]: McGraw-Hill, Inc., 2008. 40, 41

FERNANDES, C. C.; ROMEIRO, C. de A. A contribuição da datilologia como estratégia metodológica no processo de alfabetização. **Revista diálogos**, v. 4, n. 1, p. 170–185, 2017. 31

FERREIRA, A. L.; WECK, J.; SILVA, J. da; SOUSA, M. do Vale de; SANTOS, P. de A. Aprendendo libras: módulo 2. **Natal: EDUFRN**, 2011. 21

FERREIRA-BRITO, L. Por uma gramática Línguas de Sinais. [S.l.]: Tempo Brasileiro, 2010. 27

FORHAN, N. A. E.; SENNA, J. R. S. Giroscopios mems. **urlib. net/sid. inpe. br/mtc-m19**, v. 80, p. 01–25, 2010. 39

GALLO, M. A.; HANCOCK, W. S.; SILVA, F. S. C. da; CARNEIRO, M. R. de F.; MELO, A. C. V. de. Comunicação entre computadores e tecnologias de rede. [S.l.]: Pioneira Thomson Learning, 2003. 42

GARDNER, M. W.; DORLING, S. Artificial neural networks (the multilayer perceptron) a review of applications in the atmospheric sciences. **Atmospheric environment**, Elsevier, v. 32, n. 14-15, p. 2627–2636, 1998. 51, 52

GRITSENKO, A.; EIROLA, E.; SCHUPP, D.; RATNER, E.; LENDASSE, A. Probabilistic methods for multiclass classification problems. In: **Proceedings of ELM-2015 Volume 2**. [S.l.]: Springer, 2016. p. 385–397. 53

HAMPSHIRE, J. B.; PEARLMUTTER, B. Equivalence proofs for multi-layer perceptron classifiers and the bayesian discriminant function. In: **Connectionist Models**. [S.l.]: Elsevier, 1991. p. 159–172. 55

HAYKIN, S. S.; HAYKIN, S. S.; HAYKIN, S. S.; HAYKIN, S. S. Neural networks and learning machines. [S.l.]: Pearson Upper Saddle River, NJ, USA:, 2009. 43, 47, 48, 51

HICKOK, G.; BELLUGI, U.; KLIMA, E. A língua de sinais no césrebro. **Rev** Scientific Am Bras [sd], p. 50–7, 2004. 29

INVENSENSE, I. M. MPU-6000 and MPU-6050 Register Map and Description. [S.l.: s.n.], 2016. 40, 73, 88

JAKOBSON, R. Linguística e comunicação. [S.l.]: Editora Cultrix, 2008. 25

KHASHEI, M.; BIJARI, M. An artificial neural network (p, d, q) model for timeseries forecasting. **Expert Systems with applications**, Elsevier, v. 37, n. 1, p. 479–489, 2010. 44

- KNIGHT, J. F.; BRISTOW, H. W.; ANASTOPOULOU, S.; BABER, C.; SCHWIRTZ, A.; ARVANITIS, T. N. Uses of accelerometer data collected from a wearable system. **Personal and Ubiquitous Computing**, Springer, v. 11, n. 2, p. 117–132, 2007. 38
- KRIZHEVSKY, A.; SUTSKEVER, I.; HINTON, G. E. Imagenet classification with deep convolutional neural networks. In: **Advances in neural information** processing systems. [S.l.: s.n.], 2012. p. 1097–1105. 52
- KULIK, S. Neural network model of artificial intelligence for handwriting recognition. **Journal of Theoretical & Applied Information Technology**, v. 73, n. 2, 2015. 53
- KURODA, T.; TABATA, Y.; GOTO, A.; IKUTA, H.; MURAKAMI, M. et al. Consumer price data-glove for sign language recognition. In: **Proc. of 5th Intl Conf. Disability, Virtual Reality Assoc. Tech., Oxford, UK**. [S.l.: s.n.], 2004. p. 253–258. 22, 23
- LACERDA, C. B. de. Um pouco da história das diferentes abordagens na educação dos surdos. **Cadernos Cedes**, v. 19, p. 68–citation\_lastpage, 1998. 21, 26
- LEI, L.; DASHUN, Q. Design of data-glove and chinese sign language recognition system based on arm9. In: IEEE. **Electronic Measurement & Instruments** (ICEMI), 2015 12th IEEE International Conference on. [S.l.], 2015. v. 3, p. 1130–1134. 23
- LI, Y.; CHEN, X.; TIAN, J.; ZHANG, X.; WANG, K.; YANG, J. Automatic recognition of sign language subwords based on portable accelerometer and emg sensors. In: ACM. International Conference on Multimodal Interfaces and the Workshop on Machine Learning for Multimodal Interaction. [S.l.], 2010. p. 17. 22
- LIBONATI, P. A. O.; OLIVEIRA, A. Sistema de aquisição de dados para laboratórios. Tese (Doutorado) Universidade Federal da Bahia, 2002. 36
- LIMA, J. J.; MARTINS, M. R.; OKIDA, S.; JR, S. L. S.; SCHLEDER, J. C. Dispositivo para análise dinâmica da marcha humana utilizando sensores inerciais mems. **Revista de Engenharia e Tecnologia**, v. 5, n. 3, p. Páginas–122, 2013. 39

LODI, A. C. B. Educação bilíngue para surdos e inclusão segundo a política nacional de educação especial e o decreto nº 5.626/05. **Educação e Pesquisa**, SciELO Brasil, v. 39, n. 1, p. 49–63, 2013. 26

MAENAKA, K. Mems inertial sensors and their applications. In: IEEE. Networked Sensing Systems, 2008. INSS 2008. 5th International Conference on. [S.l.], 2008. p. 71–73. 38, 39

MASUTTI, M. L.; SANTOS, S. A. d. Intérpretes de língua de sinais: uma política em construção. Quadros RM, organizador. Estudos surdos III. Petrópolis: Arara Azul, p. 148–67, 2008. 27

MATTELART, A.; MATTELART, M. **História das teorias da comunicação**. [S.l.]: Edições Loyola, 2011. 25

MAYAGOITIA, R. E.; NENE, A. V.; VELTINK, P. H. Accelerometer and rate gyroscope measurement of kinematics: an inexpensive alternative to optical motion analysis systems. **Journal of biomechanics**, Elsevier, v. 35, n. 4, p. 537–542, 2002. 38

MENEZES, D. B. et al. Mitos sobre a língua de sinais e o surdo: percepção de professores da universidade federal de goiás. Relatório das atividades realizadas para a Prática como Componente Curricular. Goiânia, 2009. 29

MONTEIRO, S. S.; VIANA, D. S.; OLIVEIRA, T. M. de; GONÇALVES, A. R. C.; MORENO, E. D. Implementação do ip core i2c bus controller. **XV Simpósio em Sistemas Computacionais de Alto Desempenho**, 2014. 42

MORAES, G.; ARAUJO, G. M. D. Elementos do Sistema de Gestão de SMSQRS. [S.l.]: Gerenciamento Verde Editora, 2010. 25

NASCIMENTO, L.; FREITAS, M.; JúNIOR, J. M.; JR, S. S. **METODOLOGIA DE CARACTERIZAÇÃO DE UM SENSOR DE FLEXÃO**. [S.l.: s.n.], 2017. 37

NEXPERIA. Datasheet 74HC/HCT138 3-to-8 line decoder/demultiplexer. 2015. 73

NORGAARD, M.; RAVN, O.; POULSEN, N.; HANSEN, L. Neural networks for modelling and control of dynamic systems: a practitioners handbook. Advanced textbooks in control and signal processing. [S.l.]: Springer, Berlin, 2000. 45

NOVAES, E. C. Surdos: educação, direito e cidadania. **Rio de Janeiro: Wak Ed**, 2010. 26

OKADA, R. T. Avaliação experimental de medidas de aceleração. Universidade Estadual Paulista (UNESP), 2012. 38

ORDONEZ, E. D. M. **Projeto, desempenho e aplicações de sistemas** digitais em circuitos programáveis (FPGAs). [S.l.]: Cesar Giacomini Penteado, 2003. 42

PATHAK, V.; MONGIA, S.; CHITRANSHI, G. A framework for hand gesture recognition based on fusion of flex, contact and accelerometer sensor. In: IEEE. Image Information Processing (ICIIP), 2015 Third International Conference on. [S.l.], 2015. p. 312–319. 23

PHI, L. T.; NGUYEN, H. D.; BUI, T. Q.; VU, T. T. A glove-based gesture recognition system for vietnamese sign language. In: IEEE. Control, Automation and Systems (ICCAS), 2015 15th International Conference on. [S.l.], 2015. p. 1555–1559. 32

POKER, R. B. Abordagens de ensino na educação da pessoa com surdez. LIBRAS à Distância. UNESP., v. 15, n. 09, 2011. 26, 27

PRAVEEN, N.; KARANTH, N.; MEGHA, M. Sign language interpreter using a smart glove. In: IEEE. Advances in Electronics, Computers and Communications (ICAECC), 2014 International Conference on. [S.l.], 2014. p. 1–5. 22

PRECHELT, L. Automatic early stopping using cross validation: quantifying the criteria. **Neural Networks**, Elsevier, v. 11, n. 4, p. 761–767, 1998. 53

QUADROS, R. d.; PERLIN, G. Estudos surdos 2. [S.l.: s.n.], 2007. 26

QUADROS, R. M. Educação de surdos: a aquisição da linguagem. [S.l.]: Artmed Editora, 2009. 26

QUADROS, R. M.; CRUZ, C. R. **Língua de sinais**. [S.l.]: Artmed Editora, 2009. 21, 29, 30, 32

QUADROS, R. M. de; KARNOPP, L. B. Língua de sinais brasileira: estudos linguísticos. [S.l.]: Artmed Editora, 2009. 27, 30

RAMOS, C. R. História da datilologia. **História da datilologia**, 2005. 27, 31

- REED, R.; MARKS, R. J. Neural smithing: supervised learning in feedforward artificial neural networks. [S.l.]: Mit Press, 1999. 52
- RODRIGUES, C. S.; VALENTE, F. Aspectos linguísticos da libras. **Curitiba: IESDE Brasil SA**, 2010. 30
- ROSENBLATT, F. The perceptron: a probabilistic model for information storage and organization in the brain. **Psychological review**, American Psychological Association, v. 65, n. 6, p. 386, 1958. 47
- RUMELHART, D. E.; HINTON, G. E.; WILLIAMS, R. J. Learning representations by back-propagating errors. **nature**, Nature Publishing Group, v. 323, n. 6088, p. 533, 1986. 52
- SAGGIO, G.; RIILLO, F.; SBERNINI, L.; QUITADAMO, L. R. Resistive flex sensors: a survey. **Smart Materials and Structures**, IOP Publishing, v. 25, n. 1, p. 013001, 2015. 37
- SAMARASINGHE, S. Neural networks for applied sciences and engineering: from fundamentals to complex pattern recognition. [S.l.]: CRC Press, 2016. 52
- SARAWATE, N.; LEU, M. C.; OZ, C. A real-time american sign language word recognition system based on neural networks and a probabilistic model. **Turkish Journal of Electrical Engineering & Computer Sciences**, The Scientific and Technological Research Council of Turkey, v. 23, n. Sup. 1, p. 2017–2123, 2015. 32
- SCHALKOFF, R. J. **Artificial neural networks**. [S.l.]: McGraw-Hill New York, 1997. 43, 48
- SEGALA, R. R. et al. Tradução intermodal e intersemiótica/interlingual: português brasileiro escrito para língua brasileira de sinais. 2010. 27
- SILVA, A. B. N. d. Um modelo de unidade de medida inercial utilizando três acelerômetros triaxiais. Dissertação (Mestrado) Universidade Federal do Rio Grande do Norte, 2013. 38
- SILVA, G. M. da. Lendo e sinalizando textos. 2010. 25
- SILVA, I. N. D.; SPATTI, D. H.; FLAUZINO, R. A. Redes neurais artificiais para engenharia e ciências aplicadas curso prático. **São Paulo: Artliber**, 2010. 44, 45, 47, 49, 51, 52, 55

SOUSA, A. P. d. A. Interpretação da língua gestual portuguesa. Tese (Doutorado), 2012. 27, 29, 30

SOUZA, S. V. R. d. Calibração de acelerômetros mems com vistas a aplicação em uma plataforma euleriana. 2015. 39

SRIVASTAVA, N.; HINTON, G.; KRIZHEVSKY, A.; SUTSKEVER, I.; SALAKHUTDINOV, R. Dropout: A simple way to prevent neural networks from overfitting. **The Journal of Machine Learning Research**, JMLR. org, v. 15, n. 1, p. 1929–1958, 2014. 53

STOKOE, W. C. Sign and Culture: A Reader for Students of American Sign Language. [S.l.]: ERIC, 1980. 21, 30

STROBEL, K. L.; FERNANDES, S. Aspectos linguísticos da libras. **PR, SEC**, 1998. 29

SUYKENS, J. A.; BRABANTER, J. D.; LUKAS, L.; VANDEWALLE, J. Weighted least squares support vector machines: robustness and sparse approximation. **Neurocomputing**, Elsevier, v. 48, n. 1-4, p. 85–105, 2002. 52

TAVARES, J. E. d. R.; LEITHARDT, V.; GEYER, C. F.; SILVA, J. S. Uma aplicação para o ensino da língua portuguesa para surdos utilizando o sensorlibras. In: Brazilian Symposium on Computers in Education (Simpósio Brasileiro de Informática na Educação-SBIE). [S.l.: s.n.], 2009. v. 1, n. 1. 21, 30, 32

TORI, R.; KIRNER, C.; SISCOUTTO, R. A. Fundamentos e tecnologia de realidade virtual e aumentada. [S.l.]: Editora SBC, 2006. 23

TUBAIZ, N.; SHANABLEH, T.; ASSALEH, K. Glove-based continuous arabic sign language recognition in user-dependent mode. **IEEE Transactions on Human-Machine Systems**, IEEE, v. 45, n. 4, p. 526–533, 2015. 22

VERONESI, R. L. M. Rtrassoc51-móulo de comunicação i2c reconfigurável-i2c. 2006. 42

VINCENT, P.; LAROCHELLE, H.; LAJOIE, I.; BENGIO, Y.; MANZAGOL, P.-A. Stacked denoising autoencoders: Learning useful representations in a deep network with a local denoising criterion. **Journal of Machine Learning Research**, v. 11, n. Dec, p. 3371–3408, 2010. 52

WEBSTER, J. G.; EREN, H. Measurement, instrumentation, and sensors handbook: spatial, mechanical, thermal, and radiation measurement. [S.l.]: CRC press, 2014. 37

WIRTH, N. Digital circuit design for computer science students: an introductory textbook. [S.l.]: Springer Science & Business Media, 2012. 42

WOODMAN, O. J. **An introduction to inertial navigation**. [S.l.: s.n.], 2007.

YANG, Q. Chinese sign language recognition based on video sequence appearance modeling. In: IEEE. Industrial Electronics and Applications (ICIEA), 2010 the 5th IEEE Conference on. [S.l.], 2010. p. 1537–1542. 22, 23

ZHANG, L.-G.; CHEN, X.; WANG, C.; CHEN, Y.; GAO, W. Recognition of sign language subwords based on boosted hidden markov models. In: ACM.

Proceedings of the 7th international conference on Multimodal interfaces. [S.l.], 2005. p. 282–287. 22